

## ŘADA B PRO KONSTRUKTÉRY

### ČASOPIS PRO ELEKTRONIKU A AMATÉRSKÉ VYSÍLÁNÍ

ROČNÍK XXXI/1982 ČÍSLO 1

#### V TOMTO SEŠITĚ

Posláni a úloha AR ve společnosti . . . . .

#### YAGIHO SMĚROVÉ ANTÉNY PRO VKV A UKV

Úvod . . . . .	2
Směrové vlastnosti antén . . . . .	3
Reflektor, záříč, direktory . . . . .	4
Délka antény . . . . .	6
Impedanční vlastnosti Yagiho antén . . . . .	6
Konstrukční a mechanická hlediska stavby antén . . . . .	8
Praktická realizace Yagiho antén . . . . .	10
Rozměry prvků a jejich korekce . . . . .	12
Antenní soustavy . . . . .	14
Způsob napájení . . . . .	16
Vzájemná vzdálenost antén v soustavě . . . . .	18
Výpočet směrového diagramu . . . . .	18
Stanovení rozměrů soustav . . . . .	22
Praktické využívání soustav . . . . .	23
O homogenitě prostředí trochu jinak . . . . .	24
Yagihové antény se skupinovými direktory . . . . .	25
Úprava antény KC91-BL (X-COLOR) . . . . .	25
Antenní soustava pro K28 . . . . .	27
Antenní soustavy z X-COLOR a TVA („matrace“) . . . . .	28
Quagi-antény . . . . .	28
Praktická realizace smyčkových antén . . . . .	30
Seznam a mapa TV vysílačů . . . . .	30
Literatura . . . . .	31
Antény v podmínkách praktického příjmu . . . . .	34
Zvláštnosti rozložení elmag. pole v místě příjmu . . . . .	34
Praktické aplikace . . . . .	35
Ukázky praktických konstrukcí antén . . . . .	36
Výsledky 13. a podminky 14. ročníku konkursu AR . . . . .	39

#### AMATÉRSKÉ RÁDIO ŘADA B

Vydává ÚV Svatarmu ve vydavatelství NAŠE VOJSKO; Vladislavova 26, 133 66 Praha 1, tel. 26 06 51-7. Šéfredaktor ing. Jan Klábal, redaktor Luboš Kalousek, OKIFAC. Redakční rada: RNDr. V. Brunhofer, K. Donát, V. Gazda, A. Glanc, I. Harminc, M. Hláša, Z. Hradík, P. Horák, J. Hudec, ing. J. T. Hyanc, ing. J. Jaroslav, doc. ing. dr. M. Joachim, ing. F. Králík, RNDr. L. Kryška, J. Kroupa, ing. E. Móček, V. Němec, RNDr. L. Ondříš, CSc., J. Ponický, ing. E. Smutný, V. Teska, doc. ing. J. Vacálek, laureát st. ceny KG, J. Vorlíček, ing. J. Zima.

Redakce Jungmannova 24, 113 66 Praha 1, tel. 26 06 51-7, šéfredaktor linka 354, redaktor linka 353, sekretářka linka 355. Ročně vydeje 6 čísel. Cena výtisku 5 Kčs, pololetní předplatné 15 Kčs. Rozšířuje PNS, v jednotkách ozbrojených sil vydavatelství NAŠE VOJSKO, administrace Vladislavova 26, Praha 1. Objednávky přijímá každá pošta i doručovatel. Objednávky do zahraničí vyřizuje PNS, ústřední expedice a dovoz tisku, závod 01, Kafkova 9, 160 00 Praha 6. Tiskne NAŠE VOJSKO, n. p., závod 08, 162 00 Praha 6, Vlastina 710.

Za původnost a správnost příspěvku odpovídá autor. Návštěvy v redakci a telefonické dotazy pouze po 14. hodině. Číslo indexu 46 044.

Toto číslo má výjít podle plánu 20. ledna 1982.

© Vydavatelství NAŠE VOJSKO

# POSLÁNÍ A ÚLOHA AR VE SPOLEČNOSTI

Ing. Jan Klábal, šéfredaktor AR

Dnešní i budoucí poslání časopisu musí vycházet jak z jeho svazarmovských tradic, tak i z úkolů, které vyplývají ze současných potřeb společnosti. V hospodářské oblasti jsou to především úkoly vyplývající ze závěrů XVI. sjezdu KSČ o zvýšení efektivnosti a kvality veškeré práce, efektivních strukturálních změn především na základě maximálního využití výsledků vědy a techniky, a urychlený rozvoj elektrotechnického průmyslu, zejména mikroelektroniky a prostředků automatizace.

Ke zdánemu splnění vysoko náročných úkolů v rozvoji elektronizace, kybernetizace a automatizace v národním hospodářství, které byly uloženy XVI. sjezdem KSČ, je třeba vytvářet kádrové a věcné podmínky a dosáhnout výrazného zvýšení zájmu o tyto obory u širší odborné veřejnosti. Neméně důležité je, aby zejména vývojoví a konstrukční pracovníci jiných oborů (např. strojírenství, doprava, administrativa, zemědělství, potravinový průmysl aj.) měli hlubší znalosti o elektronice a mikroelektronice a mohli tak účinně prosazovat elektronizaci do nově vyvíjených zařízení. Tyto doplňující znalosti mohou získat buď profesionální (školským), nebo individuálním studiem. Pokud jde o profesionální úroveň vzdělávání, výuka této oboru se výrazněji rozšíří rozvojem nové výchovné vzdělávací soustavy, ve které se má, jak uvádí ministerstvo školství, značně zvýšit rozsah výuky informatiky, kybernetiky, elektroniky, automatizace a výpočetní techniky na všech stupních škol. Avšak i po absolvování školského studia je nutné další sebevzdělávání, neboť uvedené obory se stále bouřlivě rozvíjejí a je proto potřebný průběžný přísný informaci o směrech a rozsahu jejich rozvoje. Uvedené skutečnosti dávají tušit šíři profesionálního i amatérského zájmu o elektroniku a obory s ní úzce související.

Z hlediska minulého období (tj. před nástupem mikroelektroniky) se informovanost odborné veřejnosti i při soustavném rozvoji elektroniky jeví jako vyhovující. V dnešní době je však již „hlad a šáhka“ po odborných informacích vyšší než stačí pokrýt nabídka, neboť vydávaná odborná periodika jsou za současného rozvoje mikroelektroniky pro profesionální, ale i vyspělé amatérské zájemce obsahově méně uspokojivá (vzhledem k tematickému rozsahu) a počtem vydávaných výtisků nestáčí počítavce. Očekávaným nástupem mikroelektroniky do řady odvětví národního hospodářství se míra požadavků na informace a popisy konstrukčních řešení ještě výrazněji zvýší. Mezi v popisech konstrukčních zapojení z větší části dosud vyplňují svým obsahem obě řady časopisu Amatérského rádia.

Amatérské rádio vznikalo v době, kdy elektronika byla z valné části pouze radiotechnikou. Obsahová náplň vyhovovala tehdejším potřebám informovanosti a konstrukční činnosti. V průběhu let, kdy elektronika stále více pronikala prakticky do všech oborů lidské činnosti, snažil se časopis držet krok v obsahové náplni s tímto vývojem. Ze se mu to dařilo, o tom svědčí i stále stoupající náklad – za 30 let od svého vzniku se zvětšil desetinásobně.

Podle registrativní přihlášky je Amatérské rádio branně technický časopis Svazu pro spolupráci s armádou, určený širokému okruhu organizovaných i neorganizovaných zájemců o radiotechniku a elektroniku, zejména z řad mladé generace. Posláním časopisu a jeho přílohy je v duchu branné politiky KSČ, stanov Svazarmu a úkolů vytyčovaných nejvyššími orgány Svazarmu přispívat k branné připravenosti čtenářů zvyšováním jejich politické a odborně technické úrovně.

V oblasti politického jeho úkolem upevňovat marx-leninský světový názor a prohlubovat

internacionální čtení. Otázky ideologického působení nejsou sice řešeny „přímou cestou“, použitím politických materiálů, ale řeší se obsahovou náplní odborně zaměřených článků. Jde zejména o pravidelné informace čtenářům o práci s mládeží ve Svazarmu, o péči, kterou naše společnost venuje vědeckotechnickému rozvoji, ve zprávách o úspěších našich výrobků aj. Časopis také pozorně reaguje na všechna usnesení politických a státních i svazarmovských orgánů.

Časopis AR je však také jediným konstrukčním elektronickým časopisem V ČSSR, který se věnuje i aplikacím elektroniky do řady odvětví národního hospodářství. Tato skutečnost určuje kromě registrační vyhlášky i jeho odborné poslání – průběžně uspokojovat všechny zájemce o konstrukční elektronickou činnost, a to od úplných začátečníků až do úrovně profesionálních pracovníků z konstrukčních a vývojových kanceláří, kteří v něm hledají inspiraci a pomoc při řešení elektronických problémů na svých pracovištích.

Tím je politickovýchonné a odborné poslání časopisu (obou řad A i B) jednoznačně určeno a je ho nutno plně respektovat.

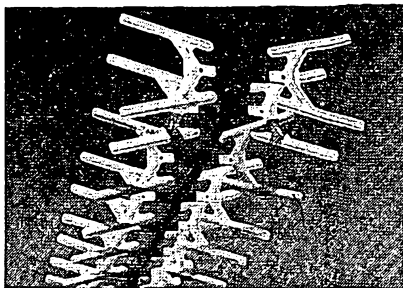
Bouřlivý rozvoj mikroelektroniky, výpočetní techniky, vývoj elektronických přístrojových systémů, řídicí a automatizační techniky, elektronické systémy sběru a vyhodnocování dat, radiolokace, naváděcích a zaměřovacích systémů, video systémů a řada dalších – to vše, kromě klasické radiotechniky, otevřelo nesmírně široké možnosti konstruktérské a tím i publicistické činnosti (v oblasti teorie i praxe). Rozsah časopisu se však v průběhu let změnil pouze jednou, není proto v jeho možnostech v současné době uspokojivě pokrýt všechny požadavky, jak ze strany potřeb rozvoje elektroniky v celé její šíři, tak i potřeb Svazarmu, v němž během let vzniklo několik nových radioamatérských i elektronických sportů a odborností jako jsou rádiový orientační běh, rychlotestrafie, radioamatérský viceboj, hifilobby, videotechnika, vznikající digikluby aj. Omezený rozsah časopisu nutně vede k tomu, že konstrukční i námětová informovanost nemůže dosahovat takového rozsahu a šíře, jaké současně potřebuje a úkoly v elektronice vyžadují a je proto třeba, aby si i laskavý čtenář tuto závažnou skutečnost plně uvědomil.

Závěrem je možno říci, že obě řady časopisu AR se tedy musí z výše uvedených důvodů i v blízké budoucnosti zabývat politicko-odbornou svazarmovskou a společensko-politickou problematikou a v odborné části se hlavně zaměří – řada A: na výchovu mládeže pro radiotechniku (stála rubrika R 15), na konstrukce z radiotechniky a běžné elektroniky, na zprávy ze svazarmovských klubů, výstav a veletrhů, na konstrukce pro méně pokročilé i vyspělé amatéry, na novinky v obvodové elektronice v zahraničí i na různé druhy elektroniky apod. Řada B bude obsahovat zejména monotematické systematické příspěvky z obecné radiotechniky, elektroniky a měřicí techniky pro vyspělejší radioamatéry i profesionální pracovníky, které budou vyčerpávajícím způsobem probírat zpracovávanou látku.

Tento obsahovou náplní se bude časopis i při současných značně omezených stránkových možnostech snažit uspokojovat celou šíři amatérské a z části i profesionální konstrukční činnosti tak, aby byly v AR plně realizovány závěry XVI. sjezdu KSČ o urychleném rozvoji elektroniky a jejich aplikací v ČSSR.

# YAGIHO SMĚROVÉ ANTÉNY PRO VKV A UKV

Jindra Macoun



Známe celou řadu antén, které mají vlastnosti vhodné pro použití na pásmech VKV a UKV, ať již jde o směrovou komunikaci nebo příjem TV. Yagihovo anténu je pro uvedené účely již tři desítky let anténou nejrozšířenější nejen pro své výborné vlastnosti elektrické, ale stejnou měrou i z hlediska konstrukčně mechanických. Yagihovo anténu je při shodných elektrických parametrech podstatně lehčí, konstrukčně jednodušší a mechanicky odolnější než ostatní druhy antén. Tyto výhody jsou zvláště zjevné a vitané při amatérské realizaci. Jistým paradoxem však je, že její principy i základní problematika návrhu, popř. vztahy mezi rozměrovými a elektrickými parametry stále nejsou příliš rozšířeny a nebo jsou mylně interpretovány. Proto je hlavním záměrem autora podat přístupným způsobem podstatné informace o těchto zajímavých i elegantních anténách tak, aby každý zájemce byl schopen se v této problematice orientovat, aby dokázal posoudit různé typy antén a uměl sám anténu realizovat i bez podrobného návodu.

## Úvod

První práce o nové anténě publikovali v roce 1926 japonští vědci Hidetsugu Yagi a Shintaro Uda [1] až [3]. Jejich jmény je také nazývána. Správně se tato anténa tedy nazývá anténa Yagi-Uda, přestože název „yagina“ je dnes již terminus technicus. Je to nevěk vůči panu Udoi, který prý byl skutečným původcem antény. Je neprávem opomíjen a zůstává utajen i našim čtenářům, protože pro ně máme k dispozici jen snímek pana Yagihova (obr. 1).

Yagihovo antény byly ve větším měřítku použity až ve II. světové válce jako antény prvních radiolokátorů na metrových a později i decimetrových vlnách. Dnes se používají zejména na VKV, kde jsou zcela převládajícím typem i v různých modifikovaných formách.

V posledních letech se však díky svým vynikajícím vlastnostem stále více prosazují i na KV při profesionálním provozu a rovněž na amatérských KV pásmech – počínaje pásmem 7 MHz (!). I když jde v obou případech v principu o stejnou anténu, je v použití podstatně rozdíl. Na VKV provozujeme, nebo lépe, měli bychom provozovat Yagihovo anténu v tzv. podmírkách volného prostoru (freé spa-

ce). Na KV je anténa vzhledem k vlnové délce těsně nad zemí (above ground), a proto je žádoucí s touto skutečností při návrhu a provozu počítat. Vliv země a jeho účelné využití pro vyzařování Yagihovo antény a jejich soustav pod optimálními elevačními úhly přispívá ke konjunktuře těchto antén na KV pásmech. Ze jde ovšem o antény mimořádných rozměrů, není třeba zdůrazňovat. Protože v tomto AR řady B budeme probírat antény pro VKV a UKV, jsou všechny další úvahy o vyzařovacích vlastnostech Yagihovo antén vedeny tak, že s vlivem země nepočítají.

Praktické použití Yagihovo antén bylo podnětem i k výzkumným pracem, které se rozvinuly až v poválečných letech. Vynikající práci je kniha autorů S. Uda a Y. Mushiake: Yagi-Uda Antenna z roku 1954 [4]. Další významnější teoretické práce uveřejnili: Kraus [5], King [6], Walkinshaw [7], Vysokovskij [8], Reid [9], Sengupta [10] a další [11] až [20]. Experimentálnímu výzkumu se věnovali Ehrenspeck a Poehler [21], Lindsay [22], Greenblum [23], Kmosko a Johnson [24], Orr [25], a v poslední době jsou to zvláště Viezbicke [26] a Lawson [27], jehož seriál článků dokumentuje velmi přístupným způsobem shodu mezi teorií a experimentem, když srovnává výsledky četných výpočtů s výsledky experimentálních prací. Zároveň ukazuje, že současná výpočetní technika zvládne i u několikaprvkových Yagihovo antén složitou souvislost rozměrových a elektrických parametrů.

**Všechny hlavní elektrické parametry Yagihovo antén** – směrovost, popř. zisk, činitel zpětného příjmu (záření), charakter vyzařovacího diagramu, popř. úhel příjmu v obou rovinách a úroveň postranních laloků a impedance – spolu navzájem souvisejí prostřednictvím základních rozměrů antény, za které je třeba považovat: délky, průměry a počty prvků, a jejich vzájemné vzdálenosti. (Viz obr. 2, kde jsou vyznačeny všechny podstatné rozměrové parametry).

Při návrhu Yagihovo antény tkví hlavní problém v určení základních rozměrů, nutných pro dosažení požadovaných elektrických vlastností v daném kmitočtovém pásmu. Z hlediska návrhu lze Yagihovo

antény v současné době rozdělit na dvě skupiny. Kritériem pro toto rozdělení je způsob výpočtu elektrických vlastností.

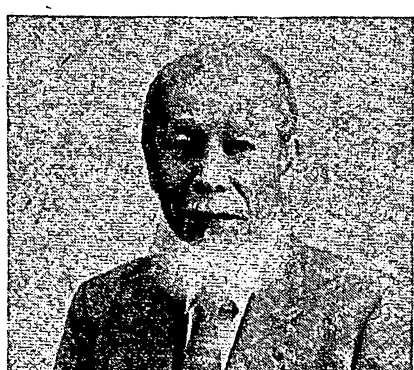
První skupinu antén tvoří tzv. **antény krátké**. Ty se řeší výpočtem proudů indukových ve všech pasivních prvcích. Diagram směrovosti pak vznikne superpozicí diagramů jednotlivých zářičů – prvků. Velikost a fáze indukových proudů (nebo napětí) je dána vzájemnou impedancí prvků. Její vypočet je však složitý. Právě pro tuto složitost bylo možné donehnout vypočítávat jen antény tří až čtyřprvkové, tedy krátké. Vzájemné vztahy mezi základními rozměry, ziskem a impedancemi u dvou a tříprvkových antén, vypočítané výše zmíněným způsobem, jsou pro praktické použití upraveny do grafů v dnes již klasické práci S. Udy [4]. Z grafů lze přímo zjistit jak zisk v dB, tak obě složky impedance v ohmech.

Použití počítačů přineslo v posledních letech značný pokrok i v této oblasti, takže výpočtem vzájemných impedancí se dnes řeší i mnohaprvkové antény [16], [17], [18], [19], [20], [27].

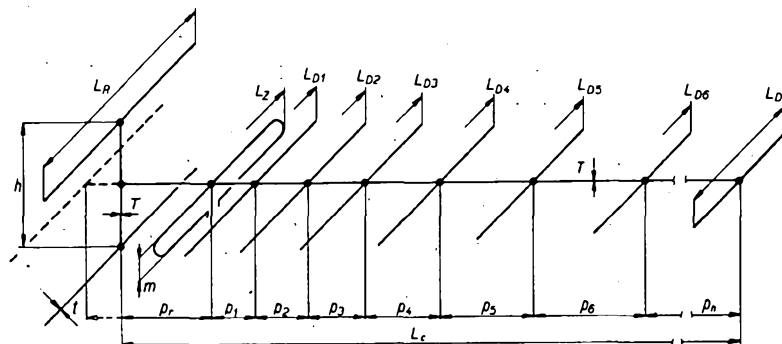
Druhou skupinu antén tvoří tzv. **dlouhé Yagihovo antény**, které lze teoreticky řešit jako antény s povrchovou vlnou. Řadu direktorů lze uvažovat jako úsek vedení, podél něhož se mohou šířit povrchové vlny. Při řešení se vychází z teorie šíření těchto povrchových vln, které jsou zvláštním případem elektromagnetických vln [10], [12], [13], [14], [28]. Jsou charakterizovány tím, že jejich fázová rychlosť šíření je vždy menší, než u elektromagnetické vlny homogenní (vyzařované např. anténou vysílače).

Na obr. 3 jsou schematicky znázorněny některé typy antén s podélným vyzařováním, které lze řešit jako antény s povrchovou vlnou. Je to anténa dielektrická a dále anténa s různými druhy tzv. periodických struktur, mezi které patří i dlouhá Yagihovo anténa. Ve skutečnosti jde u všech uvedených antén s povrchovou vlnou o antény dielektrické. Právě dielektrikum dielektrické tyče (trolitul, organické sklo apod.), obr. 3a, je u ostatních antén nahrazeno dielektrikem „umělým“, které tvorí řada vodičů, kotoučů, desek apod. Je vidět, že se tyto antény v podstatě skládají ze dvou částí – budiče a směrovače. Budičem je u Yagihovo antény soustava zářič-reflektor, směrovačem je periodická struktura cíli řada direktorů. U právě dielektrické antény (obr. 3a) je budičem ústí vlnovodu a směrovačem dielektrická tyč. Budičem se převede elektromagnetická energie v dané struktuře na povrchovou vlnu. Směrovost antény pak závisí na fázové rychlosti šíření povrchových vln podél struktury. Fázová rychlosť je dána základními parametry struktury – u Yagihovo antény průměrem a délkou direktorů, jejich počtem a roztečí, popř. délkou antény. Čím je anténa delší, tím více se shodují výsledky měření směrových vlastností s teoretickými předpoklady.

Prakticky používané Yagihovo antény, určené pro příjem na TV pásmech, či pro komunikaci na amatérských pásmech VKV a UKV, dosahují délek od 0,5 do 6 až



Obr. 1. Hidetsugu Yagi



Obr. 2. Základní rozměry antény Yagiho antény

$7\lambda$  leží tedy na rozhraní obou skupin, tj. v oblasti, v níž se zvětšuje složitost výpočtu antén krátkých a zmenšuje použitelnost a přesnost výpočtu antén dlouhých. Navíc jde o anténu (TV) do značné míry širokopásmové, které mají mít v širším pásmu nejen určitý zisk, ale i přiznivý směrový diagram, tj. malé nebo žádné postranní laloky, velmi dobrý činitel zpětného příjmu a samozřejmě i vyhovující přizpůsobení. Uvedené požadavky zatím nelze zvládnut pouze výpočtem, a tak většina antén tohoto druhu je výsledkem experimentálních prací, při nichž lze pro stanovení výchozích rozměrů využít i některých údajů, odvozených teoreticky.

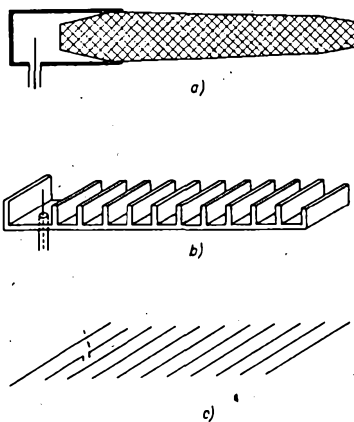
Výjimkou jsou krátké ( $L_c = 0,3$  až  $0,75\lambda$ ), až šestiprvkové úzkopásmové antény na pásmo KV. Počítač v tomto případě může dnes již nejen určit všechny rozměry včetně odstupňované šířnosti teleskopických prvků (na 14 a 7 MHz jsou takové prvky nezbytné), ale vyhodnotí i vliv země na vyzařovací vlastnosti. Experimentální optimalizace je v těchto případech téměř nerealizovatelná a modelové měření nezahrne vliv země. Bylo zjištěno, že vypočtené údaje jsou mnohem přesnější než naměřené [27].

Tolik tedy úvodem o Yagiho anténách. Nyní si probereme vliv jednotlivých prvků na směrové vlastnosti antény.

## Směrové vlastnosti antén

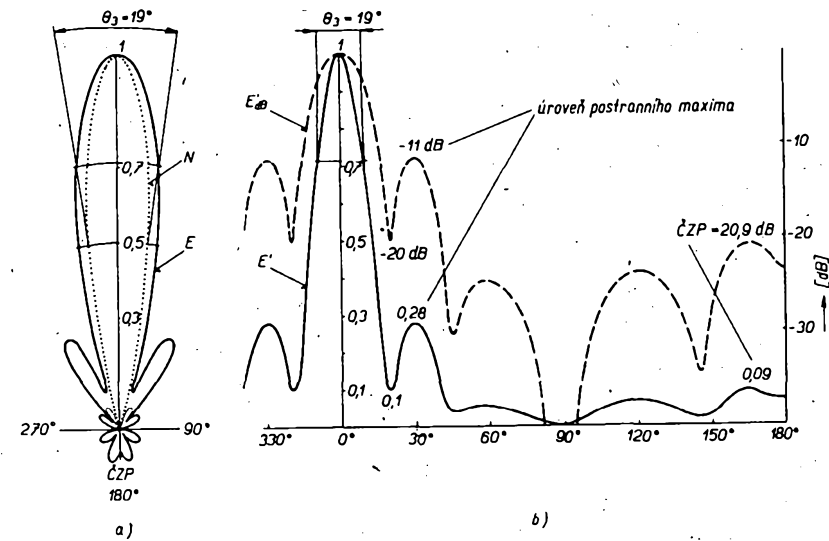
Pro lepší porozumění uvedu na toto téma nejprve několik obecných informací.

Grafické znázornění směrové charakteristiky ve dvou základních rovinách (hori-



Obr. 3. Několik antén s povrchovou vlnou; a) dielektrická anténa buzená vlnovodem, b) „hiebenová“ anténa buzená unipolem, c) Yagiho anténa buzená dipolem

izontální a vertikální) poskytuje názornou představu o směrových vlastnostech antény. Tyto směrové diagramy se kreslí buď v polárních nebo pravoúhlých souřadnicích. Polární souřadnice jsou snad názornější, jsou však méně přesné při znázorňování malých úrovní a členitých diagramů. Proto se při automatickém snímání diagramů zapisují křivky většinou v pravoúhlých souřadnicích. Pro lepší.



Obr. 4. Směrový diagram antény; a) v polárních souřadnicích, b) v pravoúhlých souřadnicích

přesnost při menších úrovních a tím i k získání většího rozsahu se na svislou osu vynáší poměr napěti (nebo proudů) v dB.

Na obr. 4a a 4b je jedna a táz směrová charakteristika znázorněná čtyřmi způsoby. V polárních souřadnicích je nakreslen výkonový (N) a napěťový (E) směrový diagram. V pravoúhlých souřadnicích je zakreslen stejný napěťový diagram (E') a tentýž diagram pro poměr napětí vyjádřený v dB (E<sub>ab</sub>).

Na první pohled je zřejmý rozdíl v informacích, které poskytuje diagram (N) a (E<sub>ab</sub>). V obou případech jde o tutéž anténu, laik by však považoval anténu s diagramem (N) za větší „bílé“. Proto lze navzájem objektivně porovnávat antény jen prostřednictvím stejně zapsaných diagramů. U velmi směrových antén dáváme rozchodné přednost pravoúhlému zápisu v dB. Výkonový diagram (N) je u většiny směrových antén téměř bezcenný. Používá se spíše u všešměrových vysílačských antén, neboť lépe znázorňuje malé nerovnoměrnosti ve vyzařování. Např. zmenšení výkonu o 3 dB je ve výkonovém diagramu znázorněno poloviční hodnotou.

Ze směrových diagramů můžeme zjistit hlavní parametry, které většinou do-

statečně charakterizují směrové vlastnosti antény. Pro úplnost si zopakujeme, jak je nazýváme a definujeme. Je to nutné, protože pro jednu veličinu nebo jeden jev jsou běžně používána různá pojmenování. Příčinou jsou vlivy zahraniční literatury, zvyky autorů, nebo pouhý záměr, vyjadřit použitým výrazem, zda jde o anténu vysílací nebo přijímací, případně jak uvažovanou anténu proměňujeme (většinou jako anténu přijímací). Z toho všeho pak pramení ona nejednotnost v názvosloví.

**Směrová vyzařovací charakteristika** nebo **směrový diagram, vyzařovací diagram, diagram záření nebo příjmu, relativní diagram směrovosti** – měřené antény (při určitém kmitočtu a v určené rovině) je grafické znázornění poměru mezi výstupním napětím této antény a maximálním výstupním napětím této antény. Poměr je sledován jako funkce úhlu natočení antény. Budeme-li uvažovat druhou mocninu tohoto poměru, dostáváme výkonový směrový diagram. **Směrové diagramy jsou nezávislé na impedančním přizpůsobení antény.**

Stručným vyjádřením směrových vlastností je **úhel příjmu**, nebo **úhel záření**, **vyzařovací úhel, šířka svazku, šířka č**

**úhel hlavního paprsku nebo laloku, úhel polovičního výkonu.** Vždy jde o úhlový rozdíl mezi směry, v nichž je úroveň vyzařování nebo příjmu menší o 3 dB proti maximu, tj. 0,71 maximální úrovni napěti nebo 0,5 maximálního výkonu. Úhel příjmu se zjišťuje v horizontální ( $\Theta_E$ ) a vertikální ( $\Theta_{E_\perp}$ ) rovině a průměr z obou údajů se označuje jako  $\Theta_3$ . Někdy se udává i úhel pro pokles o 10 dB ( $\Theta_{10}$  a  $\Theta_{10\perp}$ ).

**Činitel zpětného příjmu (CZP)** nebo **záření (CZZ)**, nebo velmi často **přeod zadní poměr (PZP)** – je poměr mezi napětím na výstupu antény, naměřeným ve směru maximálního signálu a maximálním napětím v opačném, nežádaném směru. Vzhledem ke kmitočtově závislé členitosti tvaru zadní části směrového diagramu se považuje za nežádáný směr v rozsahu úhlů  $180 \pm 90^\circ$  nebo  $180 \pm 45^\circ$ .

Někdy je účelně kvantifikovat i příjem z jiných směrů. Jde o úroveň **postranních maxim** nebo **laloků (paprsků)**, **činitel postranních laloků**, **činitel bočního (postranního) záření** nebo **příjmu**. V praxi nás většinou zajímá úroveň, případně i

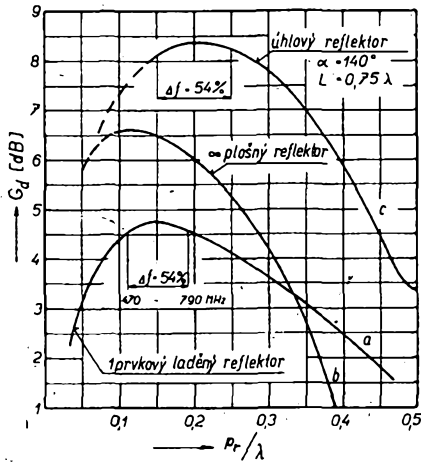
směr prvních postranních maxim po obou stranách hlavního pársku. Proto se směrové vlastnosti antény doplňují tímto údajem, který se udává v dB v poměru k maximu vyzařování.

Konečným vyjádřením směrových vlastností je **provozní zisk antény** ( $G_d$ ). Je to poměr napětí na výstupu antény, připojené k reálné zátěži, rovně charakteristické impedanci napájecí, pro který je anténa navržena, k napětí na výstupu dipolu  $\lambda/2$ , zakončeného přizpůsobenou zátěží pro každý měřený kmitočet. Obě antény musí být v homogenně elektromagnetickém poli orientovány na maximální příjem. Zisk se vyjadřuje v dB. *Provozní zisk zahrnuje jak účinnost antény, tak i vliv impedančního přizpůsobení k napájecí.*

**Směrovost antény, popř. činitel směrovosti** naproti tomu nezahrnuje účinnost antény, ani ztrátu nepřizpůsobení. Veličina je dána jen prostorovým tvarém směrového diagramu a lze ji přesně vypočítat. Vyjadřuje se zpravidla prostým poměrem výkonů, které jsou schopny měřená a referenční (vztažná) anténa v optimálním směru přijmout nebo vyzařit. Absolutní činitel směrovosti  $S_d$  se vztahuje k všešměrovému (izotropnímu) zářici. Relativní činitel směrovosti  $S_d$  se vztahuje k dipolu  $\lambda/2$ . Takže např. směrovost  $S_d = 50$  odpovídá (za předpokladu 100% účinnosti antény a dokonalého přizpůsobení) skutečný zisk  $G_d = 17$  dB, směrovost  $S_d = 16$  odpovídá za stejných podmínek zisk  $G_d = 12$  dB. Právě tyto údaje bývají často nesprávně interpretovány nebo zaměňovány, což vede k nesprávným informacím. Zdrojem nejasnosti bývá i údaj o zisku antény v dB. Zpravidla se zisk vztahuje k dipolu  $\lambda/2$ . Příliš vysoké údaje o zisku antén mohou znamenat, že se jedná o zisk vzhledem k izotopnímu zářici, který je o 2,15 dB vždy větší oproti zisku vzhledem k dipolu  $\lambda/2$ .

### Reflektor a jeho vliv

Jak již bylo řečeno, skládá se Yagiho anténa v podstatě ze dvou částí: ze soustavy zářic-reflektor a z řady direktorů. Úkolem reflektoru je soustředit elektromagnetickou energii (vyzařovanou dipolem) podél řady direktorů, kde se pak šíří jako povrchová elektromagnetická vlna. Délka reflektoru a jeho vzdálenost od dipolu musí být takové, aby se v reflektoru indukovaly vlny proudy v protifázi, tj. aby působil skutečně jako reflektor a elektromagnetickou energii odrázel zpět. Musí tedy být vzdálen asi 0,15 až 0,25λ od dipolu a jeho rezonanční délka musí být ≈ 0,5λ. Průběh zisku v závislosti na vzdálenosti  $\rho$  pro soustavu dipol-reflektor na obr. 5 ukazuje, že vzdálenost  $\rho$  není kritická. Poměrně malé změny zisku soustavy dipol-reflektor při různém  $\rho$  se na konečném zisku celé antény projevují zcela nepatrně, zejména u antén delších. Vzhledem k funkci reflektoru v dlouhé Yagiho anténě lze soustavu dipol-reflektor nastavit samostatně. Připojením řady direktorů se původní optimální nastavení nezmění. Platí to zejména u antén dlouhých a širokopásmových. V praxi nastavujeme konečnou délku reflektoru tak, abychom na nejnižším kmitočtu pracovního pásmá dosáhli vyhovujícího činitele zpětného příjmu. **Délka reflektoru tedy ovlivňuje dolní kmitočet pracovního pásmá.** I s jednoduchým, tzn. jednoprvkovým reflektorem lze dosáhnout značné



Obr. 5. Křivky zisku dipolu  $\lambda/2$  s různými reflektory.

velkých ČZP – ovšem jen u antén úzkopásmových.

Několikaprkový reflektor ovlivňuje velikost ČZP v širším pásmu, protože je v podstatě reflektorem širokopásmovým. Pro příjem TV, když požadujeme, aby ČZP = 20 až 23 dB, postačí dvou až tříprkový reflektory, uspořádané přibližně podle obr. 2. Extrémní případem širokopásmového reflektoru je mnohaprvková reflektora stěna, která však u Yagiho antény ČZP ani zisk již prakticky nezlepšuje.

Protože několikaprkový reflektor ztrácí charakter reflektoru laděného, přestává být délka jeho prvků kritickou. Prodloužení prvků nepůsobí ani patrné zmenšení zisku soustavy dipol-reflektor, ani nezhorší ČZP, příznivě však ovlivňuje impedanci antény. Proto se u několikaprkových reflektorů prodlužuje délka prvků  $L_d$  na 0,55 až 0,6λ, aniž se tím degradují směrové vlastnosti antény.

Širokopásmové Yagiho antény na IV. a V. pásmu bývají vybaveny reflektorem úhlovým. Ten přispívá ke zvětšení zisku v dolní části pásmá, v níž se postupně zmenšuje vliv direktorů a tím i zisk antény (viz obr. 55). Lze říci, že úhlový reflektor je

nositelem zisku na začátku pásmá a řada direktorů na konci. V principu jde již o anténní soustavu (zde poněkud předbiháme, o soustavách bude ještě referováno), sestavenou ze dvou principiálně odlišných antén. V kmitočtové oblasti, kde mají obě části této soustavy shodný zisk, je při optimálním uspořádání přírůstek zisku asi 2,5 dB. Přijatelné a vyvážené rozdíly může mít tento typ antény jen na IV. a V. pásmu.

Je tedy možné shrnout (viz obr. 5): vzdálenost  $p$ , není kritická u žádného typu reflektoru. Pro širokopásmovější ( $\Delta > 5\%$ ), nebo TV antény se používají reflektory několikaprkové, které ztrácejí charakter úzkopásmových laděných prvků.

### Zářič

Zářičem je u běžných Yagiho antén zpravidla dipol  $\lambda/2$ . Může být jednoduchý nebo skládaný, někdy míval i jiný tvar. Principiálně se však dipol  $\lambda/2$  svým tvarom a provedením na směrovém diagramu celé antény nepodílí, tzn. že anténa se skládaným nebo jednoduchým dipolem  $\lambda/2$  má shodný směrový diagram.

Výjimkou je celovlnný dipol (dipol  $\lambda$ ), používaný většinou s úhlovým nebo plošným reflektorem u některých širokopásmových antén na IV. a V. pásmu. Víme, že dipol  $\lambda$  má zisk  $G_d = 1,7$  dB. Má tedy vyjádřenější směrové účinky ( $\Theta_{90} = 60^\circ$ ) proti dipolu půlvlnnému ( $\Theta_{90} = 78^\circ$ ). Proto je možné budici soustavou reflektordipol  $\lambda$  u širokopásmových Yagiho antén zvětšit zisk na počátku pásmá asi o 1,5 dB. K velikosti maximálního zisku na konci pásmá však již prakticky nepřispívá.

Druh, tvar ani rozdíly zářiče-dipolu  $\lambda/2$ , tedy nemají vliv na tvar směrového diagramu celé Yagiho antény, ovlivňují však rozdružující způsobem její impedanci. O tom však později.

### Direktory – jejich rozdíly a počet

**Direktory mají rozhodující vliv na směrové vlastnosti antény.** Jejich nesprávné rozdíly bývají nejčastěji příčinou nevhodujících směrových vlastností. Proto si jejich působení vysvětlíme podrobněji, i když s jistým zjednodušením.

Víme, že dlouhou Yagiho anténu můžeme uvažovat jako anténu s povrchovou vlnou, popř. jako anténu dielektrickou. Pravé dielektrikum skutečných dielektrických antén je u Yagiho antén nahrazeno „dielektrikem umělým“, které tvorí prostor, jakýsi vlnový kanál, vytvořený (vybuzený) řadou pasivních prvků, jejichž elektrická délka musí být kratší než  $\lambda/2$ . Je to tedy řada direktorů, která je schopna toto dielektrické prostředí vytvořit a vést povrchové elektromagnetické vlny. Při této příležitosti je vhodné poznamenat, že v sovětské literatuře je Yagiho anténa výstižně nazývána „volnový kanál“.

Při šíření elektromagnetických vln v dielektrickém prostředí zavádime pojemy fázová rychlosť šíření. V prostředí s permittivitou (dielektrickou konstantou) větší než 1 ( $\epsilon > 1$ ) je fázová rychlosť šíření elektromagnetické energie menší než rychlosť světla ve volném prostoru. Vlnová délka se tedy zkracuje. Příkladem může být šíření vln v sousoších kabelech s polyethylénovým dielektrikem, jehož  $\epsilon = 2,3$  (plné dielektrikum) nebo  $\epsilon = 1,5$  (pěnové dielektrikum). Použité dielektrikum zkracuje vlnovou délku na kabelu tak, že „elektrická délka“ kablu je vždy větší, než jeho skutečná fyzikální délka. Zkracení vlnové délky ( $k = 1/\sqrt{\epsilon}$ , popř. fázová

Vážený čtenáři!  
Tímto číslem začínáme v řadě AR-B na vhodných místech v sešitě „pod čarou“ tisknout formu krátkých výrůstků informace a cítatý ze zasedání ústředních stranických a svazarmovských orgánů, které se svým zaměřením přímo dotýkají problematiky rozvoje elektroniky v národním hospodářství a v branných sportech. V tomto čísle to jsou výňatky ze závěru XVI. sjezdu KSC.

– V elektronickém průmyslu urychlovat rozvoj výrobních kapacit s maximálním využitím výzkumně vývojového potenciálu i spolupráce se socialistickými zeměmi. Zvýšením výroby o 40 až 50 % vytvářet podmínky pro elektronizaci národního hospodářství. Přednostním rozvojem elektroniky a zvláště mikroelektroniky soustavně zvyšovat užitnou hodnotu výrobků a technologií v rozhodujících odvětvích a oborech národního hospodářství. Urychlovat tím růst produktivity práce a snižovat spotřebu energie a materiálů.

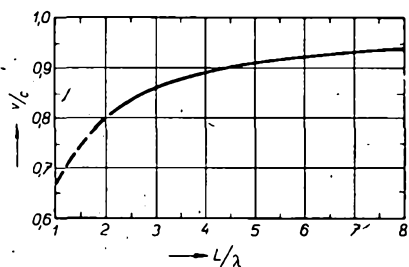
rychlosť šírenia elektromagnetických vln v souosém kabelu je tedy dáná vlastnosťmi dielektrika. Chová-li sa tedy prostor podél řady direktorov (vlnový kanál) ako dielektrikum, je jeho vlastnosťmi nutne ovlivnená fázová rychlosť šírenia povrchové elektromagnetické vlny a tím i směrové vlastnosti antény.

Cím větší je fázová rychlosť šírenia podél antény, tím větší je její zisk. Pro anténu dané délky lze vždy stanovit optimální velikost této fázové rychlosťi, které lze dosáhnout vhodnými rozměry direktorové řady. Jakákoli jiná fázová rychlosť šírenia způsobí změšení zisku. Pro úplnost dodejme, že matematické vyjádření tohoto vztahu je tzv. Hansen-Woodyardova podmínka [28]:

$$\frac{v}{c} = \frac{L/\lambda}{L/\lambda + 0,5}$$

kde  $v$  je fázová rychlosť šírenia podél dielektrické struktury (podél direktorov),  $c$  rychlosť šírenia ve volném prostoru, popř. rychlosť světla a  $L/\lambda$  celková délka antény, vyjádřená v příslušné vlnové délce.

Grafické znázornení tohoto vztahu je na obr. 6. Experimentátori si mohou fázovou rychlosť změřit. Vytvořime-li podél



Obr. 6. Optimalní zkrácení vlnové délky, podél Yagiho struktury. Grafické znázornění podmínky Hansen-Woodyardovy

Yagiho antény stojaté vlny pomocí dostatečně velké vodivé plochy umístěné před posledním direktorem, lze ze vzdálenosti minimu nebo maximu zjistit délku vlny a tudíž i fázovou rychlosť šírenia podél antény. Při měření se anténa napájí vhodným generátorem a stojaté vlny se indikují sondou – nepatrnným dipolem ( $L = 0,01$  až  $0,02\lambda$ ) těsně podél řady direktorů. Rozměry sondy musí být malé, aby se nenarušilo rozložení elektromagnetického pole.

Lze dokázat, že fázová rychlosť šírenia povrchové elektromagnetické vlny je menší než rychlosť ve volném prostoru, je-li rezonanční délka direktorů kratší než  $\lambda/2$ . To je první podmínka pro vznik směrového účinku.

Dále platí, že se fázová rychlosť

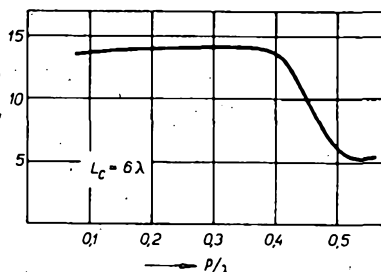
- zvětšuje se zkracováním direktorů, ale zmenšuje se jejich rostoucím průměrem,
- zvětšuje se s rostoucí roztečí direktorů,
- zmenšuje se zvyšujícím se kmotocem.

Je vidět, že všechny závislosti jsou ve vzájemném vztahu. Prakticky to znamená:

**Čím je anténa delší, tím kratší musí mít direktory** (aby bylo dosaženo optimální fázové rychlosťi, popř. optimálního zisku). Nahradíme-li direktory optimální délky jinými o větším průměru, zmenší se fázová rychlosť i zisk. Aby bylo znova dosaženo optimálních  $v/c$  a  $G_d$ , je nutno tlustší direktory zkrátit;

**Čím je anténa delší, tím mají být rozteče direktorů větší.** Z toho dále logicky vyplývá, že při užití většího počtu direktorů (čili s menšími roztečemi) lze zmenšení zisku

kompenzovat zkrácením direktorů. Takže **anténa určité délky bude mít ná daném kmotocu stejný zisk při „hustých“ a kratších direktorech, jako při „řidých“ a delších direktorech.** Jak je zřejmé, **může mít tedy anténa dané délky optimální zisk s různými kombinacemi délek, průměrů i roztečí direktorů.** Existuje však jistá maximální rozteč,  $p = 0,4\lambda$ , po jejímž překročení se vazba mezi direktory zmenší natolik, že zisk antény trvale klesá (viz obr. 7, na němž je vyznačen zisk Yagiho antény dlouhé  $6\lambda$  v závislosti na rozteči  $p$  direktor-



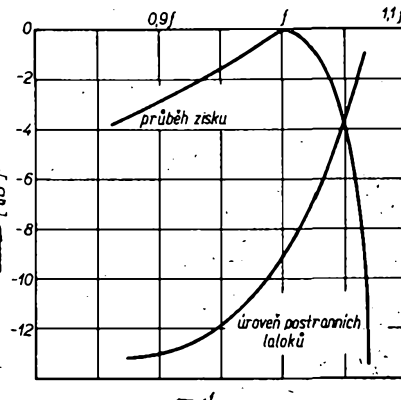
Obr. 7. Vliv roztečí ( $p$ ) mezi direktory na zisk Yagiho antény

rů). Je vidět, že pro  $p > 0,4\lambda$  se zisk zmenší výrazně. V praxi není příliš výhodné využívat maximálních roztečí mezi všemi direktory. Směrovost antény je kmotocově méně závislá při menším  $p$ , kritičnost nastavení klesá. U širokopásmových antén se většinou volí  $p = 0,3\lambda$ . U dlouhých jednokanálových TV antén nebo u antén pro úzká amatérská pásmá VKV lze využitím roztečí až  $p = 0,4\lambda$  zmenšit počet direktorů na minimum. Pro lepší vazbu na tak řídkou řadu direktorů je vhodné zmenšit rozteče mezi dipolem a prvními direktory, popř. přejít na maximální rozteč  $0,4\lambda$  postupně.

Maximální zisk antény určité délky je tedy dán optimální fázovou rychlosťí, cíli vhodnými rozměry direktorů. Pokud jsou délky, průměry a rozteče direktorů konstantní, je konstantní i fázová rychlosť povrchové elektromagnetické vlny podél antény. Typickým znakem takové antény (se stejnými direktory ve stejných vzájemných vzdálenostech) jsou poměrně výrazné postranní laloky v obou rovinách. Na kmotocu maximálního zisku jsou tyto postranní laloky necelých 10 dB pod úrovní maxima směrového diagramu, což odpovídá zmenšení napětí na vstupu přijímače na 0,32 max. velikosti – viz obr. 8, na němž je charakteristický průběh zisku a úrovně postranních laloků Yagiho antény s konstantní délkou; průměrem i roztečí direktorů. Na nižších kmotocích se zvola zmenší zisk (zvětšuje se úhel

příjmu) i úroveň postranních laloků. Za maximem, na vyšších kmotocích se zisk zmenší náhle, vlivem rychle se zvětšujících postranních laloků. I když proti takové anténě (s postranními laloky 10 dB) nelze mít z hlediska zisku námitky, jeví se jako méně výhodná z provozních hledisek. I při příjmu středně silného TV signálu se totiž při směrování antény objeví obraz přijímané stanice třikrát, takže anténa se jeví jako vícesměrová (směrování není jednoznačné). Výrazné postranní laloky mohou někdy zdůraznit příjem odražených signálů (duchů). Na druhé straně lze někdy s výhodou využít ostrého minima, oddělujícího postranní lalok od hlavního, k potlačení odraženého signálu, který dopadá na anténu ze směru blízkého směru k žádané stanici. Toto maximum je velmi ostré, proto je třeba anténu směrovat velmi pozorně. To jsou tedy praktické důsledky použití antén s postranními laloky, tj. antén s konstantními rozměry direktorů a jejich roztečí.

Odstraněním, případně zmenšením úrovně postranních laloků při současném zachování zisku se zabývají některé teoretické práce [14], [17], [29]. Ukazuje se, že na rozdíl od předchozího uspořádání, kdy zůstává fázová rychlosť konstantní po celé délce antény (konstantní rozměry



Obr. 8. Charakteristický průběh zisku a úrovně postranních laloků (maxim) Yagiho antény s konstantní délkou ( $L_d$ ) a roztečí ( $p$ ) direktorů

direktorů), je výhodné takové uspořádání, kdy se fázová rychlosť lineárně zvětšuje nebo periodicky mění.

V praxi to znamená, že **postranní laloky lze zmenšit postupným zkracováním direktorů směrem od zářice, nebo postupným zvětšováním roztečí mezi direktory, případně kombinací obou způsobů** – direktory se postupně zkracují a současně se zvětšuje jejich rozteč. Směrový diagram se sice poněkud rozšíří „za cenu“ ztráty postranních laloků, zisk však zůstane téměř stejný, případně se poněkud zmenší – při „rychlejším“ zkracování prvků, tj. u širokopásmovějších antén. Jistým měřítkem „rychlosti“ zkracování direktorů je poměr délek prvního a posledního direktoru (nebere se však v úvahu délka direktoru kompenzačního – viz dále). Uvedených poznatků se s výhodou používá zvláště u TV přijímacích antén, jak je ostatně zřejmé i z rozměrové tabulky vybraných a ověřených typů antén (tab. 2).

Rychlosť zmenšení délky a rozteče direktorů závisí na délce antény a šířce kmotocového pásmá. **Cím je anténa delší a úzkotvorcovitá**

- Zabezpečit téměř trojnásobný růst součástkové základny elektrotechniky, elektroniky, optoelektroniky a zejména mikroelektroniky. Zvládnout a rozšířit výrobu bipolárních a unipolárních integrovaných obvodů, mikropřešporů s využitím moderních technologických zařízení včetně elektronové litografie. Vytváret podmínky pro zavádění automatizovaných systémů řízení, zejména v oblasti obráběcích, tvářecích a textilních strojů.

pásmovejší, tím se délky zkracují pozvolněji a tím dříve je možné zvětšit rozteč na maximum ( $0,4\lambda$ ). Je-li třeba překryt širší kmitočtové pásmo, direktory se zkracují intenzívnej a rozteče se zvětšují pomaleji. Konečné rozměry jsou nakonec většinou záležitostí experimentální.

Experimentálně bylo též ověřeno, že u dlouhé antény Yagi s konstantní délkou direktorů lze zkrajením posledního direktoru (asi o 2 až 3%) zlepšit ČZP antény o několik dB. V principu jde o zmenšení diskontinuity mezi dielektrickým prostředím (prostorem) direktorové řady a volným prostorem.

Tolik tedy k vlivu direktorů na směrové vlastnosti antény.

### Délka antény

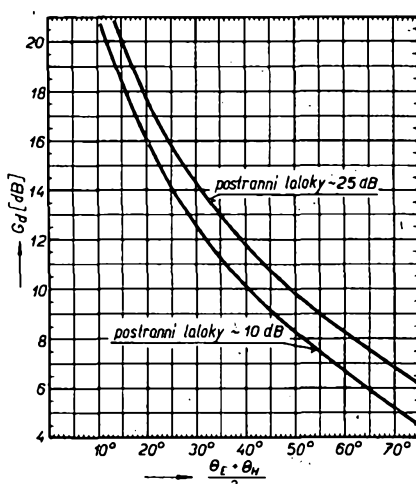
Z toho, co bylo dosud uvedeno plyne, že zisk antény je dán především celkovou délkou antény. Aby byly vytvořeny podmínky k dosažení optimálního zisku je třeba vhodně volit délky a rozteče pasivních prvků (především direktorů). Z předchozího víme, že jsou možné různé způsoby optimálního uspořádání direktorů. U antén stejně délky však nutně musí vést k prakticky stejnemu zisku.

Závislost zisku Yagihovo antény na její délce je na obr. 9. Tlustá čára ohraňuje dosažitelné maximum. Byla stanovena experimentálně z četných měření různých

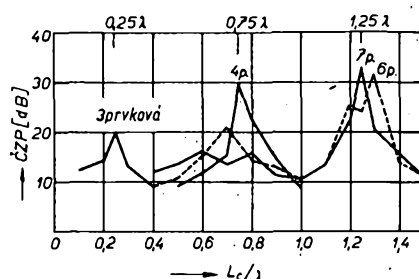
diagramu. Bud se směrový diagram plánimetruje [33], což je přesné, ale zdlouhavé a pracné, nebo se zisk určí jen z velikosti úhlu příjmu (záření) v obou rovinách. Jde o způsob jednoduchý, v praxi zcela postačující. Nemusíme měřit celý směrový diagram, stačí stanovit pouze úhly pro pokles signálu o 3 dB v obou rovinách ( $\Theta_{3E}$ ,  $\Theta_{3H}$ ). Z nich pak pomocí grafu na obr. 10 určíme předpokládaný zisk. Graf platí pro jednosměrný diagram, tzn. s poměrně dobrým ČZP a nevelkými postranními laloky ( $\geq 10$  dB).

vidla ( $\Theta_{3E}$ ) doplníme odpovídajícím úhlem ( $\Theta_{3H}$ ) a zjistíme průměr. Čím je měřená anténa delší, tím je mezi  $\Theta_{3E}$  a  $\Theta_{3H}$  menší rozdíl. Zkušenosti ukazují, že zisk Yagihovo antény stanovený tímto způsobem, tj. pomocí grafu na obr. 10, se při dobrém přizpůsobení téměř neliší od skutečného zisku. Podle grafu v obr. 9 a 10 můžeme též přibližně kontrolovat firemní katalogové údaje, případně parametry antén, publikovaných v různé literatuře.

Celková délka antény má jistý a zajišťovat vliv i na ČZP antény. Bylo vypočteno [27] a ověřeno, že ČZP může dosáhnout velmi příznivých velikostí na kmitočtech, pro které je celková délka antény ( $L_c$  – především vzdálenost mezi reflektorem a posledním direktorem) nezávisle na počtu direktorů, lichým násobkem  $\lambda/4$ . Na obr. 12 jsou vypočtené velikosti ČZP pro 3

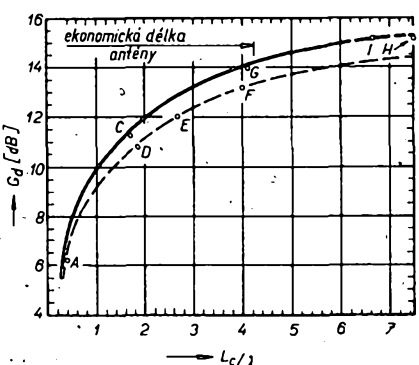


Obr. 10. Zisk jednosměrné antény v závislosti na úhlu příjmu – záření ( $\Theta_3$ ). Uvažuje se průměrná velikost úhlu v obou rovinách



Obr. 12. Vliv délky antény na činitel zpětného příjmu – záření

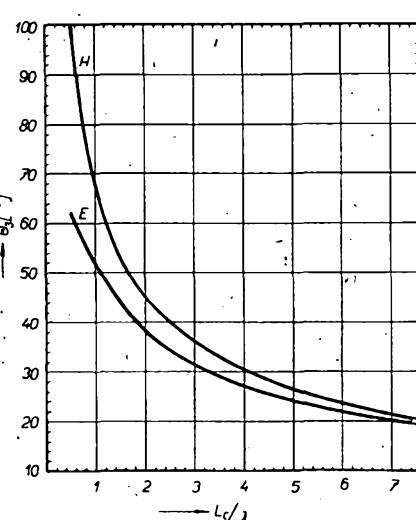
až 7prvkové antény o délce 0,1 až 1,5λ s jednoprvkovým reflektorem. Nebudeme zabíhat do podrobnosti; v principu jde o výpočet řady s podélným vyzařováním (tzv. end-fire array). Obtížnost tkví v tom, že na rozdíl od klasických řad tohoto druhu jde o řadu prvků nenapájených – parazitních. Praktické využití tohoto jevu se nabízí především pro antény s délkou 0,25 a 0,75λ na pásmech KV. Na VKV je použití několikaprkových reflektorů zárukou dostatečné velikosti ČZP – i když se v tomto směru experimentování meze nekladou –, a v zásadě by se měl vliv lichých násobků  $\lambda/4$  uplatnit i zde.



Obr. 9. Maximální zisk Yagihovo antény v závislosti na její délce ( $L_c$ )

typů. V praxi se naměřené maximální zisky pohybují v oblasti omezené oběma křivkami. V obrázku jsou též vyznačeny maximální zisky vybraných antén, zařazených do tab. 2. Některé prameny stále ještě uvádějí nesprávné údaje, založené na předpokladu, že každé zdvojení délky antény přináší přírůstek zisku 3 dB, což neodpovídá skutečnosti. Je rovněž nesprávné charakterizovat zisk počtem prvků, protože i při různém počtu direktorů na rámci stejně délky lze při optimálním uspořádání dosáhnout stejněho zisku.

Graf na obr. 9 pomůže tedy odhadnout předpokládaný, popř. maximálně možný zisk jednoduché Yagihovo antény. O skutečné velikosti zisku se můžeme přesvědčit jen měřením. V principu je to měření jednoduché, jeho správné provedení je však z celé řady příčin neobyčejně obtížné. Je tím obtížnější, čím rozměrnější anténu měříme. Proto se v praxi obvykle odvozuje velikost zisku ze směrového



Obr. 11. Vztah mezi úhly příjmu – záření ( $\Theta_{3E}$  a  $\Theta_{3H}$ ) v obou rovinách a délku Yagihovo antény ( $L_c$ ) v oblasti maximálního zisku

usporeádáme-li všechny rozměry antény podle zásad, uvedených v předchozí kapitole, pak má anténa optimální směrové vlastnosti, vyjádřené prostorovým tvarem směrového diagramu. Je-li anténa též dobré impedančně přizpůsobena, má i odpovídající zisk. Proto se jen u impedančně přizpůsobené antény projeví energetický přínos, vyplývající z její směrovosti. Přitom ovšem předpokládáme i velmi dobrou účinnost, tj. nepatrné nebo žádné činné ztráty v aktivních i pasivních prvcích antény. S touto vlastností však u Yagihovo antény počítat můžeme.

Otzákníme impedančního přizpůsobení je spojena se všemi druhy ztrát na napájecí mezi anténou a přijímačem (vysílačem). Tyto ztráty vznikají a jsou ovlivňovány jednak vlastním útlumem napájecí a jednak činitelem stojatých vln (CSV), který by měl být co nejmenší, popř. by se měl blížit jedné.

„Povolená“ velikost CSV závisí na druhu a použití antény. Všeobecně je možno považovat CSV = 2 za dobrý (dochází ke ztrátě signálu 0,52 dB) a CSV = 3 za přijatelný (ztráta odrazem činí 1,25 dB).<sup>1</sup> Při

$\text{CSV} = 6$  je ztráta již větší než 3 dB. Menší CSV se vyžadují u antén vysílacích. Čs. normy však vyžadují velmi malé CSV i pro TV přijímací antény. CSV má být na obrazovém kmitočtu  $\leq 1,6$ , popř.  $\leq 1,3$  pro televizní kabelový rozvod.

Určení správných rozměrů antény k získání optimálních směrových vlastností je u většiny Yagiho antén, jak již bylo řečeno, v konečné fázi záležitosti experimentální. V menší míře to platí i o impedanci. Ta se zjišťuje a nastavuje zásadně až po definitivním nastavení vlastnosti směrových. Vychází se z naměřeného průběhu impedance v pracovním kmitočtovém pásmu. Potřebné změny a úpravy rozměrů se u Yagiho antén dělají nejčastěji pouze v obvodu zářiče – dipolu. Pokud nelze zabezpečit správné impedanční přizpůsobení jen typem a rozměry zářiče, zařadí se mezi napáječe a dipoli vhodný přizpůsobovací obvod (transformátor, bočník, paralelní nebo sériové vedení apod.). **Všechny změny v obvodu zářiče Yagiho antény nemají vliv na tvar směrového diagramu, již dříve nastaveného rozměru a rozteče pasivních prvků.** Na druhé straně však Jakákoli změna délky, průměru či rozteče pasivních prvků, zejména nejbližších, má vliv na přizpůsobení, popř. impedanci antény.

Některým ze zmíněných způsobů lze anténu impedančně přizpůsobit po předchozím změření impedance na základě přesného výpočtu. Jisté obtíže lze očekávat na vyšších kmitočtech, kde se většinou nevyhneme konečnému „doladění“. Jinak kontrolní měření zpravidla jen potvrdí, že vypočtené parametry kompenzačních popř. přizpůsobovacích obvodů vyhovují požadavkům. Tento způsob předpokládá přesně změřit obě složky impedance (reálnou a reaktanční), vhodnými a většinou drahými a nesnadno dostupnými přístroji.

Uvedený způsob měření, běžný v profesionální praxi, lze těžko realizovat amatérskými prostředky. Nicméně i za těchto okolností je možné amatérsky zhotovené antény zkusmo přizpůsobit jednoduchými prostředky. Je ovšem nutné seznámit se s problematikou přizpůsobení Yagiho antén obecněji a vyhnout se tak zhruba chybám již předem. Proto se v dalším textu zmíňují o některých základních souvislostech mezi impedancemi Yagiho antény a jejimi rozměry.

Volba impedance antény je ovlivněna především druhem a charakteristikou impedancí zvoleného napáječe. Nejčastěji je to souosý kabel o impedanci 75 případně 50  $\Omega$ , nebo souměrná, většinou nestíněná dvoulinka o impedanci 240 až 300  $\Omega$ .

Podle napáječe volíme i druh zářiče, většinou je to dipol  $\lambda/2$ . Skládaný dipol je dnes nejužívanějším typem zářiče Yagiho antén od 50 MHz výše. Vzhledem k celkové (mechanické i klimatické) odolnosti je výhodné používat skládané dipoly se stejným průměrem obou vodičů, tj. zhotovených z jediné trubky, i když je to na nižších kmitočtech při amatérské realizaci méně pohodlné.

Vlastní impedance zářiče je v Yagiho anténě ovlivňována a mění se působením ostatních pasivních prvků; jejich vliv na celkovou impedanci antény je tím větší, čím těsnější je vzájemná vazba, tj. čím jsou zářiče blíže a čím více se svojí délkou blíží jeho rezonanční délce. **Největší vliv tedy mají reflektor a zejména první direktor.** Platí to zvláště pro krátké, úzkopásmové antény na pásmu KV, na nichž se používají minimální rozteče  $\rho$  a  $\rho_1$  (0,1 až 0,15  $\lambda$ ). Malý rozdíl v rezonančních délkách reflektoru a direktoru, nutný k dosa-

žení optimálních směrových vlastností v úzkém pásmu, značně zmenší impedance zářiče – anténa se stává i z hlediska impedančního úzkopásmovou a tudíž i citlivou na nepatrné změny rozměrů.

Impedance antén viceprvkových, popř. antén delších se přitom nezmenší totík, jako impedance velmi krátkých antén úzkopásmových. Tato skutečnost není většinou známa a všeobecne se má zato, že se zvětšujícím se počtem prvků se zmenšuje impedance („odpor“) antény.

K vysvětlení této skutečnosti je třeba připomenout vztah mezi délkou antény a optimálním ziskem, popř. optimální fázovou rychlosť. Čím je anténa delší, tím větší fázovou rychlosť je nutné volbu základních rozměrů nastavit. Fázová rychlosť se zvětšuje se zkracováním direktorů. Čím je tedy anténa delší, čím má více direktorů, tím musí být direktory kratší; a čím jsou direktory kratší vzhledem k rezonanční délce dipolu, tím méně ovlivňují jeho původní impedance. Zvětšující se počet direktorů, popř. prodlužování antény není tedy spojeno s tak výrazným zmenšením impedance, jako u antén krátkých. Impedance se zmenšuje tím méně, čím je anténa širokopásmovější. Vzájemné „rozladění“ mezi rezonančními délky direktorů, zářiče a reflektoru je u širokopásmových antén značná, takže původní impedance dipulu se zejména na začátku a uprostřed pásmu zmenšuje méně. K výraznému zmenšení impedance antény dojde až u nejvyšších kmitočtů pracovního pásmá. Tím je zpravidla ohrazeno pracovní pásmo antény na nejvyšším kmitočtu. Pásmové impedance a směrové vlastnosti delších Yagiho antén mají přibližně shodný charakter v tom smyslu, že směrem k vyššímu kmitočtu omezuje použitelnost antény náhle, zatímco směrem ke kmitočtu nižšímu pozvolna.

Z konstrukčně výrobních hledisek (zvláště u tovární výroby) je žádoucí používat zářiče – skládaný dipol – zhotovené ohnutím jediné trubky. Průměry obou vodičů dipolu jsou pak stejně; transformační poměr je 1 : 4 a jeho impedance je tedy asi 300  $\Omega$ . Tyto dipoly jsou výhodné i z hlediska klimatické odolnosti, protože na jejich koncích nemohou vzniknout korodující spoje, které se vytvářejí mezi spojovacími díly působením povětrnostních vlivů v chemicky agresivním průmyslovém ovzduší.

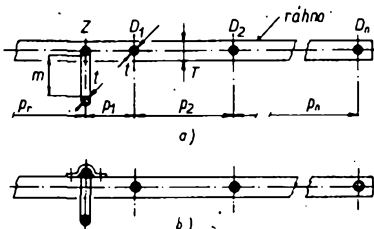
Dále je výhodné, vzhledem k použití podstatně levnějších nestíněných souměrných napáječů (dvoulinka), aby se impedance antén, především televizních, pohybovala kolem 300  $\Omega$ . Je to výhodné i v ří sestavování antenních soustav.

Potíže pramenící z požadavku zachovat původní impedance skládaného dipulu u kompletní antény řeší tzv. kompenzační direktor, umístěný velmi blízko u dipolu ( $\rho_1 = 0,03$  až  $0,1\lambda$ ). Rozměry dvojice dipolů – kompenzační direktor lze v širším pásmu značně ovlivnit impedance antény, bez

patrného vlivu na již nastavené vlastnosti směrové. Není problémem udržet impedance antény v okolí 300  $\Omega$  i v širším kmitočtovém pásmu. Z tohoto důvodu se již velmi řidka využívá ke konstrukci antén skládaných dipolů s jiným transformačním poměrem než 1 : 4, tj. s nestejnými průměry trubek napájené a nenapájené části.

Rozměrové uspořádání dvojice skládaných dipolů – kompenzační direktor se nastavuje experimentálně na nejmenší CSV, měřený vhodným přístrojem – nejjednodušší reflektometrem. V nouzi využívá i nastavení na nejsilnější signál (obraz) na přijímací. Nakonec se anténa dodařuje většinou již jen změnou  $\rho_1$ .

Všechny ověřené antény, vybrané do tab. 2, jsou vybaveny dvojicí dipolů – kompenzační direktor. Je vidět, že jejich rozměry se pohybují zhruba kolem průměru:  $L_z = 0,55\lambda$ ;  $L_0 = 0,46\lambda$ ;  $\rho_1 = 0,04\lambda$ . Vlnová délka se vztahuje k nejvyššímu kmitočtu pracovního pásmá, podobně jako v tab. 2. Charakteristický je téměř shodný rozměr  $\rho_1$  a m při doporučeném uspořádání podle obr. 13. Odchylky v délkách prvků a jejich rozteči jsou ovlivněny rozměry a roztečemi dalších



Obr. 13. Doporučené vzájemné uspořádání zářiče a direktorů na ráhnu antény

Obr. 14 je na 4. straně obálky

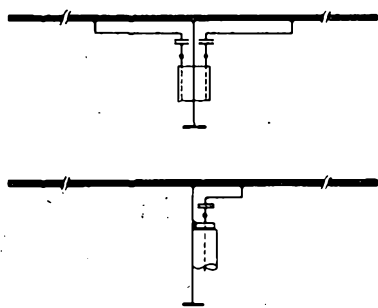
direktorů a šírkou pásmá. Z těchto důvodů není možné zpracovat vzájemné rozměrové vztahy dvojice dipolů – kompenzační direktor do tabulkové formy. Je lépe se přidržet ověřených údajů konstrukčního návodu a v nejistých případech volit  $L_z$  spíše větší a  $L_0$  menší.

CSV naměřené u jednotlivých typů antén, zařazených do tab. 2, potvrzují použitelnost tohoto druhu impedanční kompenzace i u antén pro širší pásmá v širokém rozsahu kmitočtů.

Yagiho antény mohou být pochopitelně opatřeny i jinými druhy zářičů, popř. napájení. Je to např. skládaný dipol koaxiální, u něhož je kabel zavlečen do dipolu středem nenapájené části a připojen ke svorkám již bez další symetrizace (obr. 14). Vstupní impedance antény se však v tomto případě musí shodovat s impedancí napáječe (tj. 50 nebo 75  $\Omega$ ). Používá se i tzv. bočníkové napájení, symetrické nebo nesymetrické (tzv. gamma-match). Je to ovšem přizpůsobení úzkopásmové, citlivé na nastavení bočníkové transformace a volbu kapacit, kompenzujících

– Ve strojírenství zvyšovat podíl výroby automatizovaných a automatických strojů a strojních systémů. Ve větším rozsahu využít výrobu jednoúčelových strojů a automatizovaných linek. V širší míře využívat elektronických prvků a urychlení osvojovat výrobu strojů s CNC – systémy na bázi mikroprocesorů.

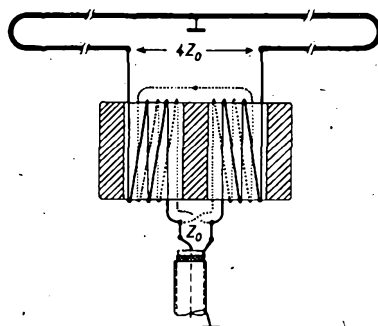
indukční reaktanci bočníku. Objevuje se častěji u úzkopásmových komunikačních antén pro KV. Jeho úspěšná aplikace na VKV (jen pro úzké pásmo) předpokládá dokonalé mechanické provedení, na kterém závisí přizpůsobení i symetrie buzení (obr. 15).



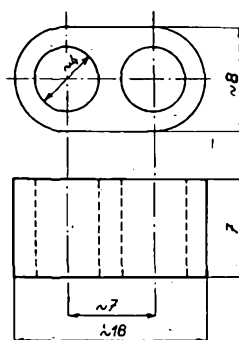
Obr. 15. Bočníkové napájení dipólu; a) symetrický bočník – tzv. delta match, b) nesymetrický bočník – tzv. gamma match

Z těchto a nejen z těchto důvodů tedy preferujeme výše popisovanou kombinaci skládaný dipól – kompenzační dírekter, která zaručuje vstupní impedanci 300 Ω a tím i nejjednodušší napájení souměrným napáječem – „dvoulinkelou“.

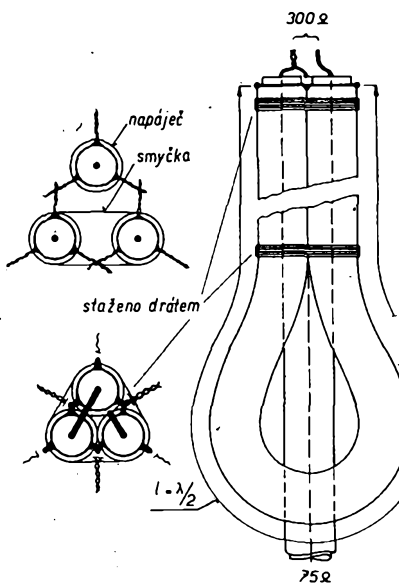
Při napájení souosým kabelem se použije některý z širokopásmových elevátorů, vinutých na feritovém tělisku (pro I. až III. pásmo), nebo tvarově shodném tělisku z organického skla (pro IV. a V. pásmo) (obr. 16). Téměř bezztrátová  $\lambda/2$  symetri-



Obr. 16. Širokopásmový transformační a symetrační člen – elevátor. a) zapojení, b) rozměry těliska na IV. a V. TV pásmo.  
Materiál: organické sklo apod.



zační a transformační smyčka je použitelná pro pásmo do 10 % na libovolných kmitočtech (obr. 17); podrobné konstrukční údaje o symetračních obvodech byly uvedeny v AR řady B, č. 6/1981.



Obr. 17. Transformační a symetrační smyčka, doporučené uspořádání. Skutečná délka smyčky je  $0,4\lambda$  pro pěnové PE dielektrikum a  $0,33\lambda$  pro plné PE dielektrikum

Na závěr zdůrazňujeme, že napájení antén souosým kabelem by mělo být přednostní, mimo jiné je to i ve shodě s koncepcí moderních TV přijímačů, které mají již jen jeden vstup a to souosý. Elektricky správnější je udělat symetrizaci přímo u antény, než až u vstupu přijímače. Usnadňuje to též návrh, konstrukci a nastavení různých filtrů, vazebních členů, výhybek, přepínačů i antenních zesilovačů v souosém provedení.

## Konstrukční a mechanická hlediska stavby antén

**Venkovní antény jsou trvale vystavěny nepříznivým atmosférickým vlivům.** Proto musí být konstruovány tak, aby po mechanické i elektrické stránce zůstaly trvale zachovány jejich původní vlastnosti. **Vlastní konstrukce a provedení jsou právě tak důležité, jako správná funkce po stránce elektrické.** Praxe ukazuje, že nevhodnou konstrukci a špatnou povrchovou ochranou kritických míst lze antény s dobrými elektrickými vlastnostmi po delším (ale i kratším) používání znehodnotit. Při konstrukci je třeba uvažovat o hledisku bezpečnosti a snadnosti montáže.

Při návrhu antény je třeba počítat s trvalým působením, a častým střídáním těchto vlivů:

vitr – silný, nárazový (dimenzování prvků a stožáru) i slabý, kterým se uvádějí prvky do určité rezonance a v jistých místech dochází k únavě materiálu a destrukci prvků,

děšť – (zatékání do ochranných krytů a napáječů),

námraza,

změna teploty,

chemické vlivy ovzduší (zvláště v blízkosti komínů a ve městech vůbec).

Působení těchto vlivů není všude stejně. V horských oblastech korodují antény zpravidla méně, ale s ohledem na častější výskyt námrazy budou nároky na pevnost prvků vyšší. I při amatérské konstrukci je třeba pamatovat na to, že ČSN 367210 připouští jen ty antény, u nichž jsou všechny prvky spojeny vodivě s kovovou nosnou konstrukcí, takže anténu lze chránit před účinky atmosférické elektřiny podle ČSN [42].

## Hlavní konstrukční zásady – volba materiálů a povrchová ochrana

Aktivní a pasivní prvky Yagiho antén se obvykle zhotovují z lehkých slitin. Ocelových plechů a trubek se užívá jen na větší příchytky prvků nebo uchycení ráhna ke stožáru (obr. 18, 19, 20). Nejvhodnější

Obr. 18, 19 a 20 jsou na 4. straně obálky

jsou lehké slitiny hliníku a mangani, nebo hliníku a magnezia, laicky nazývané „dural“. Čisté hliníkové trubky jsou pro anténní prvky méně vhodné vzhledem k tomu, že hliník je málo pružný a poměrně měkký. Jeho nepřijemnou vlastností je tzv. „tečení“. Je to trvale postupující deformace působením tlaku, která je tím větší, čím je hliník měkčí a styčný tlak větší. Nepřijemně se to může projevit např. uválcením přívodů napáječe, přitaženého k hliníkové trubce, nebo posunutím pohyblivých dodávovacích konců antén KV při otlacení stahovaných konců prvků apod. Na druhé straně se z hliníkových trubek dobře ohýbají skládané dipoly.

**Zcela nevhodným materiálem je mosaz.** Mosazné trubky na volném ovzduší, především vlivem mrazu, rychle podléhají zkáze. Štípu se, praskají a ulamují se.

Trvalá funkce antény je podmíněna vhodnou povrchovou ochranou, která zabráňuje korozi všech součástek vystavěných nepříznivým vlivům ovzduší. Otázkám spojeným s protikorozivní povrchovou ochranou antén je v poslední době věnována velká pozornost. Snahou je chránit anténu tak, aby se podstatně prodloužila doba jejího života.

Amatérskými prostředky je pochopitelně obtížné zhotovit dokonalou povrchovou ochranu u antény. Zcela však postačí učinit s dosažitelnými prostředky taková opatření, která zabrání zhoubné korozi zvláště v místech mechanických spojů, a zaručí možnost demontovat anténu i po delším užívání těmi nástroji, jakými byla sestavena. Dokonalá nerozebíratelnost po určité době užívání bývá totiž jedním z největších nedostatků mnoha amatérský i profesionálně zhotovených antén.

**Praxe ukazuje, že velmi účinným ochranným prostředkem je známý RESISTIN ML.** Po sestavení antény jím potřebme všechny rozbebitelné i nerozebíratelné spoje, případně celou anténu. Je výhodné nanést nátěry dva. První nátěr se má nanášet za vyšší teploty ( $> 15^{\circ}\text{C}$ ). Vzniklý voskový povlak chrání velmi dobře celou anténu včetně rozebíratelných (šroubovacích) spojů, takže ani po delší době nelze demontáž antény potíž – a po umytí benzínem vypadá anténa jako nová.

Součásti zhotovené z lehkých slitin nebo z hliníku se obvykle eloxují. Na jejich povrchu se vytvoří 10 až 20 mikronů

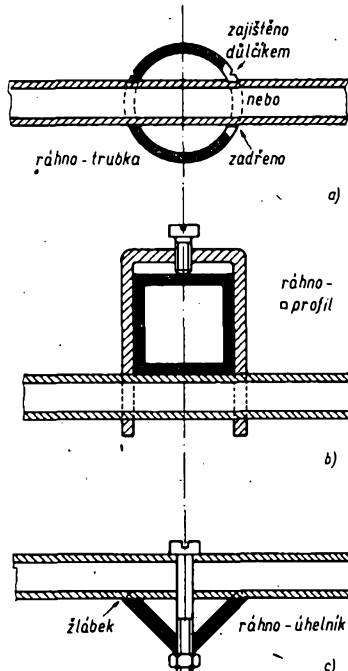
tlustá, neobýejně tvrdá vrstva umělého kysličníku (oxidu), která má vynikající ochranné vlastnosti. Barevné „elox“ pak dodávají anténám i atraktivní vzhled. Amatérskými prostředky lze takovou ochranu udělat stěží. Mechanické a elektrické vlastnosti těchto lehkých materiálů, vystavených bez jakékoli povrchové ochrany přímému i dlouhodobému působení agresivního ovzduší, se naštěstí v porovnání s ocelí nezhoršují, takže při amatérské výrobě antén není eloxování nutné. Povrch se sice po krátké době pokryje tenkou vrstvou přirozeného oxidu, která zdáleka nemá vynikající vlastnosti oxidu umělého, ale do značné míry materiál chrání, takže koruze dál nepokračuje. Umělé a přirozené kysličníky jsou však dobrým izolantem, což je třeba uvažovat při montáži spojů (především v mísťech s malou impedancí). Spojovaná místa musí být proto předem mechanicky očištěna.

Rovněž vlastnosti vodičů (prvků), pokrytých touto vrstvou přirozeného oxidu, nejsou znatelně horší. Je známo, že v proudy protékají prakticky po povrchu vodičů (skinefekt); proud směrem do hloubky materiálu se zmenšuje exponenciálně. Čím je kmitočet vyšší, tím menší je tzv. hloubka vnikání a v tom tenčí vrstvě proudy tekou. Tak např. na 200 MHz je to pro měd. 0,005 mm a pro hliník 0,006 mm [31]. Proud v oboru VKV tedy teče prakticky jen po povrchu. Z toho by bylo možno usuzovat, že vrstva přirozeného oxidu s usazenými nečistotami (přirozený oxid je na rozdíl od umělého dosti porozní a usnadňuje usazování nečistot) může působit větší ztráty. Ztráty se skutečně zvětšují asi 100krát. Avšak vzhledem k tomu, že odpor vyleštěného prvku působí ztráty rádu promile, zvětší se znečištěním povrchu asi na 1 %, což je v praxi zanedbatelné.

**Ocelové díly a součástky** je však třeba na rozdíl od lehkých slitin povrchově chránit i při amatérské výrobě. Ocel se má zinkovat, chromovat a nakonec opatřit vhodným nátěrem. Galvanické pokrovování je opět amatérskými prostředky většinou neproveditelné. Proto je nutné opatřit povrch ocelových součástek několika vhodnými nátěry. Např. základní nátěr 0-2004 a pak dvakrát povrchový S-2014. Pokud však nechceme nátěrem přispět k celkovému vzhledu antény, postačí chránit i ocelové součásti již zmíněným ochranným prostředkem RESISTIN.

A nyní ještě několik poznámek k jednotlivým dílům antény.

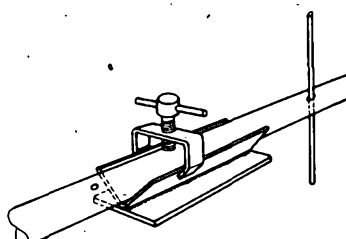
**Příchytkami** upevňujeme jednotlivé prvky na nosné ráhny. Zde se nabízí celá řada možností, jak to spojení a upevnění vyřešit. Praxe ukazuje, že nejjednodušší je větnout prvky přímo do ráhna (pokud to poměr průměru ráhu a drátu dovoluje), a jsou-li ráhny i prvek z lehké slitiny, zajistit jejich vzájemnou polohu přiměřeným „zadřením“. Díra v ráhnu se vyvrtá stejně velká jako je průměr prvku, který se zhruba uprostřed měrným úderem trochu zdeformuje. Pak se prvek zasune do ráhna a do střední polohy se s citem několika údery doklepne. Současně upevnění prvku v ráhnu, usnadní dvě rysky, kterými si na obě strany od jeho středu předem vyznačíme průměr ráhna. T zvětšený asi o 2 mm. Další zajištění spoje důlkem (obr. 21) není většinou nutné. Při případném rozebrání antény postupujeme stejně. Prvek vyklepeme do strany, ale neotáčíme kolem osy. Tím bychom jej ještě více zadírali. Toto spojení pochopitelně není vhodné při různém laborování, kdy je výhodnější používat např. třmenové příchytky (obr. 22), a to i na kruhová ráhna. Z elektrického hlediska jsou si způsoby



Obr. 21. Tři způsoby spojení prvek - ráhny; a) prvek větnutý, b) spojení třmenovou příchytkou, c) upevnění na úhelníkové ráhny

Obr. 22. je na 4. straně obálky

naznačené na obr. 21 rovnocenné, tzn. že nevyžadují korekci délek prvků (viz další text). Jistě potíže působí rovnoběžné vyvrácení potřebných děr do ráhna kruhového průřezu. Vhodnou pomůckou je přípravek podle obr. 23, který však není bezpodmínečně nutný. Snažíme se pře-



Obr. 23. Přípravek na vrtání děr do kruhového profilu

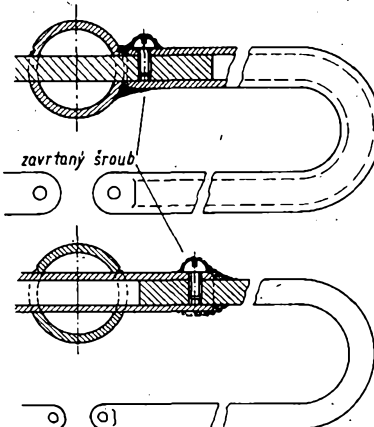
devět o rovnoběžnost prvků. Jejich dokonalý „zákryt“ ve směru ráhna je spíše požadavkem vzhledovým než elektrickým, i když by úhlový rozptyl prvků měl být co nejmenší.

Přímé větnutí prvků do ráhna je méně pohodlné pro skládaný dipól ohnutý z jediné trubky při požadovaném uspořádání prvků podle obr. 13a, kdy má nenapájená část skládaného dipolu ležet v jedné rovině s ostatními prvky. Pro takové uspořádání totiž platí rozdílové údaje na tab. 2. Při upevnění prvků podle obr. 13b se může v některých případech nepatrě zhoršit ČSV, zvláště u antén velmi dobrého přizpůsobených ( $\text{ČSV} < 1,4$ ). Směrové vlastnosti však tato změna neovlivní.

Rozdělením skládaného dipolu se vše zjednoduší. Do ráhna se upevní stejným

způsobem jako ostatní prvky kratší trubka nebo tyč, do které (nebo na kterou) se zasunou (nasunou) z obou stran obě části skládaného dipolu. Je samozřejmě nutné zajistit dokonale a trvale spojení a kontakt všechny částí závrtními šrouby (viz obr. 24) a místo chránit nátěrem.

**Šrouby a matice** upevňující příchytky musí být vhodným způsobem zajištěny proti uvolnění (pérovými podložkami, „kontramaticemi“, zalakováním apod.).



Obr. 24. Mechanické spojení záříč - ráhny, pro dělený skládaný dipól

Na kabelové svorky, objímky stínění a pájecí očka se má použít pocínovaná měď, popř. pocínovaná mosaz s větším obsahem mědi, která nepraská při nízkých teplotách.

**Ochranný kryt** chrání místo připojení napáječe k anténě tak, aby nebylo vystaveno přímému působení povětrnosti, tj. především dešti, sněžení a námraze. Kryt má být z nenavlhávavého izolačního materiálu. S výhodou je možno využít různých krabic a obalů z plastických hmot. Přívody napáječe antény musí být zhotoveny tak, aby bylo zabráněno přímému vnikání vody podél přívodů (např. odkapávacími drátky). Výhodné je přivést všechny přívody volně, dnem ochranného krytu, a dno ještě chránit převisem horní (odnímatelné) části. **Kryt nemá být neprodrysně uzavřen**, aby se zabránilo kondenzaci vody a tím i rychlejší korózi. Svoje uvnitř krytu se mají opět chránit nátěrem.

**Držáky napáječe** jsou nutné při užití souměrných nestiněných napáječů – dvoulinek. Upevňují napáječ a udržují jej v určité vzdálenosti od stožáru a ostatních předmětů. Zabraňují jeho poškození, k němuž dochází vlastní vahou a působením větrů. U nestiněných napáječů je nutné použít v místě uchycení izolační materiál, aby vodivá část držáku neobepnila těsně napáječ. Šířka upevnění má být co nejmenší. Délka držáků se volí tak, aby nestiněný napáječ byl po celé délce dostatečně vzdálen od okolí, tzn. aby zůstaly zachovány jeho elektrické parametry. Za dostatečnou vzdálenost se považuje dostinásobek rozteče obou vodičů.

V souvislosti s konstrukcí a instalováním antény je třeba věnovat přiměřenou pozornost i montáži napáječe.

**Montáž napáječe.** Nesprávně instalovaný napáječ bývá velmi častým zdrojem poruch. Proto je nutné napáječ připojovat a vést velmi pečlivě. Konce napáječe se

připojují k anténě buď přímo přitažením pod hlavy šroubů s podložkou, nebo pájecími očky. Musí se pamatovat na to, že mezi mědi a hliníkem vzniká působení vlnnosti elektrolytické koruze, která časem původně dobrý kontakt poruší.

*Je velmi důležité, aby se při odstraňování izolace z napájecích ani trochu nepoškodil žádný z vodičů. V narušených místech se po čase vodič velmi často přeruší. Platí to jak pro souosý kabel, tak pro dvoulinkelku.*

Nevýhodou dvoulinek (zvláště plochých typů) je kromě zvětšeného útlumu vlivem vlnnosti a necistot jejich snaha kmitat ve větru. Toto kmitání časem vede k úplnému přerušení vodičů, někdy i bez zjevného vnějšího poškození. Náhylnost ke kmitání se zmenší, jestliže mezi jednotlivými držáky dvoulinku několikrát překroutit.

Nestíněné napáječe jsou vystaveny rušení. Oba rovnoběžné vodiče však přijímají rušení stejně, takže se rušivé signály v souměrných vstupech přijímače prakticky vyruší. Při téměř rovných signálu lze však zmenšit rovněž několika zkrutu napáječe mezi anténou a přijímačem.

Elektrické vlastnosti souosých kabelů pochopitelně nejsou ovlivňovány okolím, proto mohou být vedeny těsně podél stozáru, popř. uvnitř trubek. Je však třeba vyvarovat se ostrých ohybů (např. přes hrany okapů), v nichž může za horka dielektrikum změknout a vnitřní vodič se může zkratovat na stínění. Protože ultrafialové záření má nepříznivý vliv na dobu života vnější izolace, snažíme se nevystavovat kabel příliš slunečnímu záření. Pokud je možné, nevedeme napáječe podél jižních stěn budov. Porušenou izolaci totiž vniká do stínění vlnost, vodiče stínícího pláště korodují a zvětšuje se útlum poměrně drahého souosého kabelu.

To by byly asi tak nejdůležitější zásady konstrukce, povrchové ochrany a instalace antén a napáječů. Stojí za to věnovat jim právě takovou pozornost, jako problém elektrickým.

## Praktická realizace Yagiho antén

V předchozích kapitolách jsme se seznámili se základními vlastnostmi Yagiho antén. Víme, jaký vliv mají jejich rozměry na elektrické parametry, a víme, že lze pro dané pásmo navrhnut a optimalizovat Yagiho antény s různou délkou i různým počtem prvků. Na druhé straně pak vžajemné vztahy mezi všemi rozměrovými parametry umožňují realizovat antény s prakticky stejnými vlastnostmi, avšak s rozdílnými rozměry i počty prvků. Ostatně během doby bylo na trhu několik publikací, v nichž byly popsány desítky Yagiho antén různých typů pro různá pásmá, mezi nimiž se méně informovaný zájemce těžko orientuje a které se v praxi často jeví jako shodné.

Zkušenosti potvrzuji, že pro příjem TV i FM rozhlasu zcela postačí jen několik typů, které se navzájem liší svými směrovými účinky, popř. ziskem do té míry, aby rozdíly bylo možno zaznamenat při laickém hodnocení. Rozumíme tím subjektivní posuzování kvality více či méně zašumělého obrazu nebo zvuku, při němž jsou zpravidla patrné až asi 3 dB rozdíly v intenzitě přijímaných signálů. U zvukových

signálů, zejména s modulací FM, je vjem malých změn úrovně signálu zřetelnější. Počud je ovšem přijímaný signál tak silný, že šum patrný není, nelze bez dalších opatření odhadnout pouhým pozorováním či poslechem ani přibližně i značné rozdíly v zisku antén (odtud pak pramení dojem, že se dá přijímat „na všechno“). Dále uvedené typy antén, které by současně měly být ukázkou praktické aplikace dosud uvedených poznatků, se tedy svýmisíky postupně liší až asi o 3 dB. Těmito rozdíly odpovídají i rozdíly v celkové délce antén ( $L_c$ ), takže uvedené typy umožňují i výběr s ohledem na homogenitu pole v uvažovaném místě příjmu. Větší pozornost věnujeme anténám s větším ziskem. Samozřejmým požadavkem je  $\text{CSV} \geq 1,6$  při vstupní impedanci  $300 \Omega$  v celém pásmu překryté skupiny kanálů s výjimkou posledního zvukového kmitočtu, kde se připojuje  $\text{CSV} = 2,5$  (využívá se zejména na širokých kanálech I. pásmu), a  $\text{CZP} \geq 20 \text{ dB}$ . Uvedené parametry ve většině případů postačují pro dobrou kvalitu obrazu.

Úmyslně opouštíme běžnou praxi konkrétních rozměrů na všechna pásmá, popř. kanály; s přihlédnutím k tab. 1 jsou však uvedeny u vybraných typů antén rozměrové údaje vyjádřené ve vlnové délce odpovídající max. kmitočtu pracovního pásmá. Výhodou tohoto způsobu je univerzalnost rozměrových údajů, které umožňují navrhnut ověřený typ antény pro jakýkoli kmitočet či pásmo.

Tab. 1 informuje o šířce pásem přijímacích kmitočtů. Z tohoto hlediska přichází v úvahu 3 varianty:

1. Antény s šírkou pásmá asi 27 % (vzhledem ke střednímu kmitočtu) pro příjem celých pásem.
2. Antény s šírkou pásmá asi 10 % pro příjem obojí pásem VKV FM, dále jednotlivých kanálů na II. pásmu a skupin kanálů (K6/7, K8/9, K10/12, K21/26 ... atd.) na III. až V. pásmu.
3. Antény s šírkou pásmá asi 1,35 % na IV. a V. pásmu a asi 4 % na III. pásmu pro příjem jednotlivých kanálů, nebo pro amatérská pásmá VKV.

Výjimkou jsou antény pro 15 % a 13 % šířku pásmu u K1 a K2.

Z praktického hlediska se soustředíme zejména na druhou skupinu – antény pro pásmo 10 % (vzhledem ke střednímu kmitočtu), což umožňuje realizovat každý typ na všech pásmech. Rozměry se vypočítají z vlnové délky (tab. 18) příslušné žádanému nejvyššímu kmitočtu a rozmezových údajů soustředěných v tab. 2. Každá anténa je tedy popisována a určena:

1. **Písmenem** (počínaje A, B ...) pro potřebu stručného označení.
2. **Číselným symbolem**, který anténu stručně charakterizuje. Např. 5Y0, 4-0,9 označuje pětiprvkovou Yagiho anténu o celkové délce  $0,4\lambda_{min}$ , pro pásmo  $f_{min}/f_{max} = 0,9$ , popř.  $f_{min} = 0,9 f_{max}$ . Znamená to, že v uvedeném rozsahu jsou splněny v tabulce ustanovené parametry.
3. **Rozměrovými údaji** vyjádřenými ve vlnové délce odpovídající nejvyššímu

Tab. 1. Relativní šířka kanálů, skupin kanálů a pásem

K1	15 % (0,86)	30,5 % (0,735)	I. pásmo	
K2	13 % (0,88)			
VKV (OIRT)			8,5 % (0,92)	
K3	10 % (0,905)	27,3 % (0,76)	II. pásmo	
K4	9,1 % (0,91)			
K5	8,3 % (0,92)			
VKV FM (CCIR)			11,5 % (0,88)	
K6	4,5 % (0,955)	8,8 % (0,915)	III. pásmo	
K7				
K8		8,1 % (0,92)		
K9				
K10		27,5 % (0,755)		
K11		11 % (0,895)	IV. pásmo	
K12	3,5 % (0,96)			
K21	1,7 % (0,98)	9,7 % (0,91)		
K26				
K27		8,9 % (0,915)		
K32				
K33		27,5 % (0,755)		
K39	1,3 %	9,5 % (0,91)		
K40	1,3 %	12,1 % (0,885)	V. pásmo	
K49				
K50		23,8 % (0,79)		
K60	1 % (0,99)	11,8 % (0,89)		

Relativní šířka pásmá je vyjádřena v % vzhledem ke střednímu kmitočtu pásmá, a dále poměrem  $f_{min}/f_{max}$  (číslo v závorce)

Tab. 2. Rozměrová tabulka vybraných typů Yagiho antén

Anténa	A	B	C	D	E	F	G	H	I
Typ	5Y 0,4–0,85	5Y 0,42–0,9	7Y 1,7–0,98	12Y 1,8–0,92	14Y 2,7–0,9	20Y 4–0,91	17Y 4,1–0,96	28Y 7,3–0,9	21Y 6,6–0,96
Rozměry									
$L_R$	0,63 (2x)	0,608 (2x)	0,476 (1x)	0,576 (2x)	0,59 (2x)	0,604 (3x)	0,53 (2x)	0,615 (2x)	0,52 (1x)
$L_Z$	0,19 0,56	0,19 0,54	0,25 0,52	0,206 0,535	0,23 0,57	0,155+0,07 0,552	0,177 0,522	0,18 0,57	0,2 0,51
$P_1$	0,032 0,472	0,036 0,47	0,05 0,47	0,045 0,453	0,05 0,464	0,05 0,48	0,064 0,461	0,044 0,426	0,084 0,469
$L_{D2}$	0,19 0,45	0,2 0,44	0,289 0,436	0,147 0,446	0,165 0,456	0,083 0,463	0,254 0,433	0,128 0,41	0,107 0,455
$P_3$			0,406 0,43	0,155 0,439	0,172 0,448	0,121 0,459	0,304 0,433	0,266 0,408	0,234 0,44
$L_{D4}$			0,323 0,434	0,172 0,432	0,192 0,441	0,155 0,456	0,304 0,428	0,285 0,408	0,263 0,44
$P_5$			0,422 0,43	0,189 0,426	0,211 0,433	0,19 0,452	0,304 0,415	0,303 0,403	0,289 0,433
$L_{D6}$				0,206 0,419	0,23 0,425	0,219 0,449	0,304 0,412	0,303 0,403	0,335 0,433
$P_7$				0,233 0,412	0,25 0,418	0,242 0,446	0,304 0,408	0,303 0,403	0,39 0,433
$L_{D8}$				0,24 0,405	0,268 0,41	0,268 0,442	0,304 0,405	0,303 0,403	0,39 0,419
$P_9$				0,257 0,398	0,287 0,402	0,293 0,439	0,304 0,401	0,303 0,398	0,39 0,419
$L_{D10}$					0,306 0,395	0,31 0,435	0,304 0,401	0,303 0,398	0,39 0,419
$P_{11}$					0,325 0,387	0,31 0,432	0,304 0,401	0,303 0,398	0,39 0,419
$L_{D12}$						0,31 0,428	0,304 0,401	0,303 0,398	0,39 0,419
$P_{13}$						0,31 0,425	0,304 0,401	0,303 0,395	0,39 0,411
$L_{D14}$						0,31 0,421	0,304 0,396	0,303 0,395	0,39 0,411
$P_{15}$						0,31 0,418	0,303 0,395	0,303 0,411	0,39
$L_{D16}$						0,31 0,414	0,303 0,395	0,303 0,404	0,39
$P_{17}$ (ant. H.)						—	—	0,303 0,39	0,39 0,404
$L_{D18}$						—	—	0,303 0,39	0,39
$P_{19}$						—	—	0,303 0,39	0,39
$P_{20}$ až 25						—	—	0,303 0,39	0,39
$L_{D20}$ až 25 (ant. H.)						—	—	0,303	0,39
$h$	0,28	0,27	—	0,2	0,3	0,5	0,27	0,22	—
$t$	0,0034	0,005	—	0,0067	0,004	0,0045	0,01	0,01	0,0058
$T$	0,004	0,004	—	—	0,01	0,015	0,035	0,03	0,024
$m$	0,02	0,03	—	0,04	0,05	0,05	0,05	0,05	0,005
$L_c$	0,41	0,43	1,67	1,84	2,68	4,02	4,14	7,27	6,58
$S_E$	1,2	1,2	1,6	1,5	1,7	2,2	2,3	3,0	2,8
$S_H$	0,75	0,7	1,5	1,3	1,5	2,0	2,1	2,8	2,6
Elektrické parametry									
$G_d$ [dB]	5,1 až 6,2	5,0 až 6,0	11,5	9,8 až 10,8	10,6 až 12,0	12,5 až 13,2	13,5 až 14,0	12,0 až 15,2	14 až 15,2
$\text{CSV}_{3000}$	1,3 až 2,5	< 1,4	< 1,6	< 1,6	< 1,3	< 1,3	< 1,6	< 1,5	< 1,6
$\text{ČZP}$ [dB]	21 až 14	25 až 17	18	> 18	> 23	> 24	> 20	> 20	> 18
$\Theta_E$ [°]	65° až 62°	65° až 62°	38°	48° až 41°	42° až 36,5°	33° až 29°	30° až 27°	26° až 19,5°	26° až 22°
$\Theta_H$ [°]	108° až 92°	114° až 106°	40°	54° až 47°	50° až 41°	35° až 31°	34° až 30°	30° až 20,5°	28° až 24°
1.p.l. <sub>E</sub> [dB]	—	—	17	> 20	> 20	> 18	> 14	16	16
1.p.l. <sub>H</sub> [dB]	—	—	13	> 18	> 18	> 14	12	8,5	13

kmitočtu pracovního pásma. Nejvyšší kmitočet byl zvolen proto, že u většiny Yagihových antén pak již následuje zhoršení směrových vlastností. Současně nejvyšší kmitočet označuje oblast maximálního zisku. Výjimkou jsou krátké tři až šestiprvkové antény, u nichž může být rozložení zisku jiné.

#### 4. Elektrickými parametry:

$G_0$  – zisk v [dB] proti dipolu  $\lambda/2$ ,  $\text{CSV}$  – činitel stojatých vln na napájecí 300 Ω, popř. 75 Ω. U většiny antén se při užití napáječe 75 Ω předpokládá připojení symetrického transformátoru (symetrická smyčka nebo elevátor – viz obr. 16 a 17).

$\text{ČZP}$  – činitel zpětného příjmu v [dB],  $\Theta_{\text{SE}}$  – úhel příjmu v rovině E,  $\Theta_{\text{SH}}$  – úhel úříjmu v rovině H, 1.p.l.<sub>E</sub> – úroveň prvního postranního maxima (laloků) v rovině E, 1.p.l.<sub>H</sub> – úroveň prvního postranního maxima (laloků) v rovině H.

#### 5. Doplňujícím textem

se stručnou charakteristikou antény.

### Stručný popis antén z tab. 2

A – pětiprvková anténa s dvojitým reflektorem, původně navržená pro televizní kabelový rozvod (TKR) na I. pásmu. Splňuje proto zpřísněné požadavky na elektrické parametry antén tohoto druhu. Jde zejména o dokonalé přizpůsobení v pásmech kmitočtů obrazového spektra a velký ČZP. Obou požadovaných parametrů je dosaženo, i když za cenu poněkud menšího zisku, výrazným prodloužením zářiče (skládaného dipolu), jehož těsnou vazbou na první (kompenzační) direktor a prodloužením reflektorů, které přispívají k rozšíření pásma. Anténa je použitelná i na jiných TV pásmech, ovšem značná štíhlost prvků prakticky neumožňuje její realizaci na pásmech UKV bez přepočtu jejich průměrů.

B – anténa téměř shodná s předchozí co do rozměrů i parametrů, původně navržená pro TKR na II. pásmu – K3, tedy pro užší pásmo než u antény A. Proto má i poněkud kratší reflektory, popř. menší rozdíl mezi  $L_R$  a  $L_{D2}$ . Menší štíhlost prvků umožňuje použít ji na všech pásmech s přijatelnými průměry prvků. *Velmi vhodná pro pásmo VKV/FM* a jakovnitřní okenní anténa na UKV pásmu ( $t = 2$  až 3 mm).

C – úzkopásmová anténa, která se svým uspořádáním do značné míry vymyká ostatním, v tabulce uvedeným anténám. Původně jde o šestiprvkovou anténu, vypočtenou počítacem podle teoretické práce Chenga [20]. Při minimálním počtu prvků pro danou délku  $L_c$  je každý rozměr optimalizován, což na první pohled působí chaoticky. Anténa nebyla pochopitelně původně určena pro použití: šlo pouze o ověření teorie, takže její vstupní impedance byla bez další úpravy nevhodná. Proto byla pro praktické použití upravena dvojicí skládaný dipol – kompenzační direktor. Provedená změna neměla patrný vliv na původní směrové vlastnosti. Anténa byla Chengem vypočítána pro nevodivé ráhno.

D – dvanactiprvková anténa s dvojitým reflektorem a průměrným ziskem větším než 10 dB. Vlivem postupného zkraťování direktoru a jejich zvětšující se rozteče má výrazně potlačené postranní laloky. *Univerzální anténa, původně určená pro III. pásmo, je velmi vhodná i na pásmu UKV, kde lze při délce 0,7 až 1,1 m s výhodou upevnovat až za reflektorem, na stojáři i okenní rám.* Pro větší „hustotu“ direktorů (poměrně malé rozteče  $p$ ) má dobré širokopásmové vlastnosti, takže bez patrného zhoršení elektrických vlastností vyhovuje i na nižších kmitočtech (0,9 i 0,88). Proto se též dobře osvědčila na CCIR pásmu FM, kde je při  $L_c = 5,5$  m z hlediska amatérské realizace přijatelným maximem.

E – v podstatě jde o anténu předchozí, optimalizovanou s ohledem na ještě přijatelné rozměry pro III. pásmo, kde dosahuje délky až 4,5 m. Původně byla určena pro TKR, takže má i výborný  $\text{CSV} \leq 1,3$  v pásmu  $f_{\min}/f_{\max} = 0,9$ .

F – dvacetiprvková anténa s tříprvkovým reflektorem, použitelná především na pásmech UKV, pro která byla původně navržena. Má výborné elektrické parametry.  $\text{CSV} \leq 1,3$ ,  $\text{ČZP} = 24$  dB,  $\text{ČPL} > 20$  dB a  $G_0 = 13,2$  dB v užitém pásmu. Je výrobne náročnější pro individuální rozměry každého z šestnácti direktorů. Posledních sedm direktorů má již konstantní rozteč. Rozměr  $p$  je složen ze dvou částí 0,155 a 0,07 $\lambda_{\min}$ , protože anténa je opatřena tříprvkovým, tzv. trigonálním reflektorem pro dosažení co nejlepšího ČZP v širším pásmu (viz obr. 2).

G – sedmnáctiprvková anténa s konstantní roztečí  $p_3$  až  $p_{14}$  má proto poněkud větší postranní laloky než anténa F, ale její zisk je pro danou délku maximální vzhledem k úzkopásmovému charakteru některých elektrických vlastností. Odvozena a ověřena z údajů podle [26]. S přihlédnutím k závislosti zisku na délce (viz obr. 9) je dnes možno považovat anténu této délky za ekonomické maximum a to i při použití v anténních soustavách.

H – typická dlouhá Yagihová anténa s konstantní roztečí direktorů a malou změnou jejich délky. V podstatě jde o anténu úzkopásmovou, takže v 10% šířce pásmá je již třeba počítat se zmenšením zisku o 3 dB. Anténu o délce 7 až 8λ lze sice na pásmech UKV ještě realizovat, *jde však skutečně o maximum*; u ještě delších Yagihových antén, jejichž zisk se asymptoticky blíží 15,5 až 16 dB, již značně klesá účinnost. Nároky na homogenitu pole jsou při použití této antény již značné, takže vlastnosti tak dlouhých antén bývají v nevhodných podmínkách nevyužity.

I – dlouhá Yagihová anténa, odvozená a upravená z experimentálně optimalizované antény pro úzké amatérské pásmo 435 MHz. Je známa pod radioamatérskou značkou autora – FGFT. Při minimálním počtu prvků (využívá se maximální rozteče  $p = 0,39\lambda_{\min}$ ) a délce 6,6λ se dosahuje zisku 15,2 dB. Postupné zkraťování direktory zabezpečují příznivé postranní laloky. Původní impedance

antény, kolem 50 Ω, byla upravena na 300 Ω změnou rozměrů i provedení zářiče. Rozměry upraveného zářiče jsou méně kritické než původní úprava, a jsou ve shodě s doporučeným uspořádáním podle obr. 13b, popř. 13a. Vzhledem k úzkopásmovému charakteru antény (malé rozdíly v délce direktoru a reflektoru) je žádoucí dodržet pokud možno s malými tolerancemi ( $\pm 1$  mm) především délky všech prvků, zejména direktorů.

Při průměru prvků  $t = 0,0058\lambda$  vychází zde v IV. a V. pásmu průměr  $t = 2$  až 3 mm, takže při nejjednodušší konstrukci (přímé větvení prvků do ráhna podle obr. 21a) dostáváme velmi lehkou a účinnou anténu, vhodnou pro dálkový příjem TV. Při délce 6,6λ se ovšem zvětšuje opět nároky na homogenitu elektromagnetického pole přijímaného signálu.

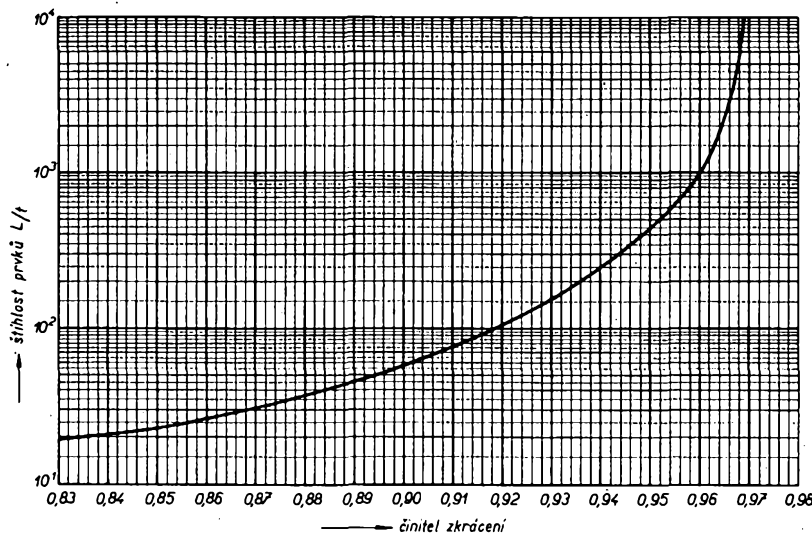
(Redakce AR pokládá za užitečné zdůraznit, že všechny typy antén uvedené v tab. 2 byly autorem ověřeny pro potřeby tohoto AR řady B, případně při jiných příležitostech.)

Detailní konstrukce antén není předepsána. Je třeba pouze dodržet zásady uvedené v kapitole – konstrukční a mechanická hlediska. Pro připevnění prvků na ráhnu použijeme podle možnosti některý ze způsobů naznačených na obr. 21. Co do vlivu na elektrickou délku prvků jsou si rovnocenné. Všude je jako zářič použit skládaný dipol tvarovaný z jediného vodiče (trubky), jehož napájená i uzemněná (upevněná) část tedy mají shodný průměr. Vstupní impedance antény je v první řadě určena rozměry a vzájemným uspořádáním dvojice zářič-kompenzační direktor, které je použito u všechn uvedených antén. Důležité je dodržet ve všech případech uspořádání podle obr. 13a, popř. 13b, tzn., že *uzemněná část zářiče leží v rovině direktorů*, napájená část zářiče leží mimo, kolmo k rovině prvků. Vzdálenost kompenzačních direktorů (rozměr  $p_1$ ) je poměrně malá a většinou shodná nebo srovnatelná s šírkou zářiče (rozměr  $m$ ). Pokud zářič nelze zhodit z jeidného vodiče – trubky, je nutné případně spoje trubek mechanicky i elektricky dobré zabezpečit proti dlouhodobému působení všech klimatických vlivů.

### Rozměry prvků a jejich korekce

#### a) Štíhlost prvků

Víme, že rozměry antény lze přeypočít na jiný kmitočet. Tato praxe je běžná, přeopočet je jednoduchý a elektrické vlastnosti odvozené antény jsou prakticky shodné s vlastnostmi antény původní i při větším poměru kmitočtů. Předpokládá se pochopitelně přeopočet všech rozměrů. Zatímco délku prvků i jejich vzájemnou rozteč lze realizovat pro každý případ, nelze vždy dodržet vypočítaný průměr prvků, který by se měl pochopitelně změnit ve stejném poměru jako ostatní rozměry. Praktická omezení jsou zde dána jak konstrukčními, tak praktickými hledisky. Např. anténa na III. pásmu s prvky o průměru 6 mm by měla mít po přeopočtu na konec V. pásmu prvky o průměru 1,5 mm; a opačně, u antény s původními prvky o průměru 6 mm na V. pásmu by bylo nutné použít na III. pásmu prvky o průměru 24 mm. I když by proti elektrickým vlastnostem přeypočtených antén nemohly



Obr. 25. Zkrácení rezonančních délek prvků v závislosti na jejich štíhlosti

lo být námitek, jejich mechanické i vzhledové vlastnosti by mohly být nepřijatelné. Přeypočtený průměr prvků však často nelze realizovat i pro nedostatek vhodných trubek.

Situace však není neřešitelná. Pomůžeme si grafem na obr. 25. S jistým zjednodušením lze říci, že dostatečně přesné znázorňuje závislost činitele zkrácení rezonančních délek válcových vodičů (prvků) na jejich štíhlosti, tj. na poměru délky a průměru ( $L/t$  – podle našeho značení rozměrů) v rozsahu 20 % kolem rezonanční délky  $\lambda/2$ . Je tedy použitelný pro korekci přeypočítávaných délek prvků Yagiho antén v případech, kdy nelze dodržet vypočtený průměr, a použijeme jej i v případě, kdy jde prostě o zhotovení antény podle návodu, avšak s jinými průměry prvků.

Pro úplnost upřesňujeme, že u pasivních prvků Yagiho antén nejdou vlastně o jejich rezonanční délky, ale o délky, pro které mají přeypočítávané prvky shodnou reaktanci – u direktorů vždy kapacitní a u reflektoru zpravidla indukční.

*Příklad.* Chceme přeypočítat anténu s  $L_{D1} = 278$  mm a  $t = 6$  mm z  $f = 518$  MHz na 750 MHz. Pokud měníme  $L_{D1}$  i  $t$  v poměru obou kmitočtů, je výpočet jednoduchý.  $L_{D1}$  i  $t$  vynásobíme poměrem  $518/750 = 0,691$ :

$L'_{D1} = 278 \times 0,691 = 192$  mm,  
 $t' = 6 \times 0,691 = 4,15$  mm. Prakticky je tedy možné použít prvky o průměru 4 mm. Pokud však chceme i na 750 MHz použít prvky původního průměru 6 mm, je přeopočet trochu složitější. Využijeme grafu na obr. 25.

Vypočteme štíhlosť prvků na 518 MHz:  
 $L''_{D1} t = 278/6 = 46$ .

Vypočteme štíhlosť prvků na 750 MHz:  
 $L''_{D1} t = 192/6 = 32$ .

Štíhlosť 46 odpovídá činitel zkrácení  $k_{518} = 0,891$ .

Štíhlosť 32 odpovídá činitel zkrácení  $k_{750} = 0,873$ .

Při stejném průměru  $t$  trubek je na 750 MHz direktor relativně tlustší; musí tedy být kratší, aby se jeho elektrická délka nezměnila. Zkrátíme jej v poměru  $0,873/0,891 = 0,98$ :

$L'''_{D1} = 192 \times 0,98 = 188$  mm. Zkrácení čini 4 mm, je tedy poměrně značné. Je to dánou strmostí křívky pro štíhlosť menší než 100. Proto se při změnách průměru prvků nedoporučuje zmenšovat štíhlosť pod 20, neboť pak se zmenšuje přesnost přeopočtu.

Z uvedeného příkladu je zřejmý vliv nesprávných průměrů. Proto je třeba věnovat tomuto problému při realizaci antén přiměřenou pozornost.

Pokud se mění průměr tak, že se štíhlosť zvětšuje, násobíme při prepočtu původní rozdíl opačným poměrem činitel zkrácení, tzn. číslem větším než 1.

Z praktického hlediska přeopočítáváme u Yagiho antény při změně štíhlosťi jen pasivní prvky, především direktory. Pokud bychom totiž nekorigovali (nezkracovali) délku direktoru při jejich menší štíhlosťi, zvětšila by se jejich elektrická délka, optimální kmitočtové pásmo by se posunulo k nižším kmitočtům a na maximálních kmitočtech pracovního pásmu by se elektrické parametry antény, zejména zisk, mohly podstatně změnit k horšímu. Ve výše uvedeném případě by se při nerespektování změny štíhlosťi prvků posunulo optimální nastavení direktorové řady na 735 MHz, a na 750 MHz by se pravděpodobně již zisk zmenšoval.

*Použijeme-li naopak prvky štíhlejší, nedopustíme se žádné velké chyby, když direktory neprodloužíme.* Pracovní pásmo antény se sice posune k vyšším kmitočtům, to však nezpůsobí takovou degradaci zisku jako v předchozím případě. Je to ostatně patrné i z obr. 8, kde je vyznačen charakteristický průběh zisku víceprvkové Yagiho antény.

- V automatizační technice rozvinut výrobu čidel, snímačů, servopohonů, signálnicích prvků a zařízení pro měření tepla, výrobu řídící, regulační, měřicí a kontrolní techniky pro jadernou energetiku, hutnictví a chemii. Rozvíjet investiční elektroniku, měřicí, testovací, laboratorní a zdravotní techniku. Zabezpečovat dodávky moderních výpočetních systémů s potřebným periferním a programovým vybavením zvláště pro řízení technologických procesů. Výrobu elektronických počítačů a telekomunikační techniky rozvíjet v souladu s jednotlivými systémy zemí RVHP.

Pro ilustraci vlivu štíhlosťi na délku prvků uvádíme experimentálně zjištěné délky direktorů u pětiprvkové antény pro  $f = 640$  MHz,  $\lambda = 461$  mm (tab. 3). Pro všechna t měla anténa stejný zisk. Byl to typ antény se stejnými direktory.

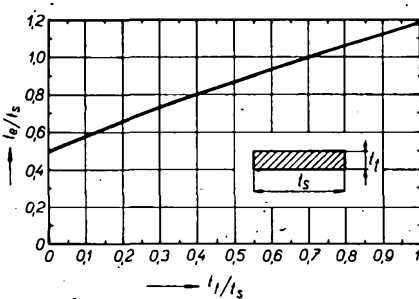
Tab. 3.

$L_0$	$L_0/\lambda$	$t$	$L_0/t$
206	0,44	1	206,0
203	0,433	2	101,5
196,5	0,419	4	49,1
189	0,403	8	23,6
178	0,38	16	11,1

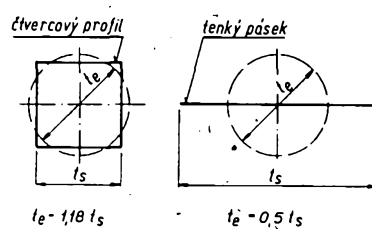
Použijeme-li k určení délky direktorů graf na obr. 25, dostaneme rozměry shodné s údaji v tabulce.

### b) Profil prvků

Předchozí úvaha předpokládá kruhový průřez prvků. Někdy je k dispozici materiál jiného průřezu. Zvláště na IV. a V. pásmu lze s výhodou využít kovových pásků s obdélníkovým průřezem. Pak počítáme s jeho ekvivalentním průměrem  $t_e$ , který odvodíme z grafu na obr. 26. Pro dva mezní případy, pro čtvercový průřez a pro velmi tenký pásek je velikost ekvivalentního průměru na obr. 27..



Obr. 26. Ekvivalentní průměr ( $t_e$ ) obdélníkového profilu



Obr. 27. Ekvivalentní průměr čtvercového profilu a tenkého pásku

Pro čtvercový profil platí  $t_e = 1,18 t_s$ , pro nekonečný tenký pásek  $t_e = 0,5 t_s$ . Prvky s obdélníkovým průřezem s poměrem  $t_1/t_s = 0,1$  (např. pásek 1 mm, široký 10 mm) tedy uvažujeme jako kruhové s  $t_e = 0,59 t_s$ . Aby koncová kapacita ostrých hran neprodlužovala vypočtenou délku páskových prvků, je žádoucí přiměřeně zaoblit jejich konce.

Závěrem této kapitoly ještě jednu připomínku. Nežádoucí zmenšení štíhlosťi direktorů a posuv pracovního pásmu k nižším kmitočtům, někdy i dosti značný,

může způsobit námraza. Zejména čistý ledový krunýr dokáže směrové vlastnosti Yagiho antény značně zredukovat (pokud ovšem nezničí anténu úplně).

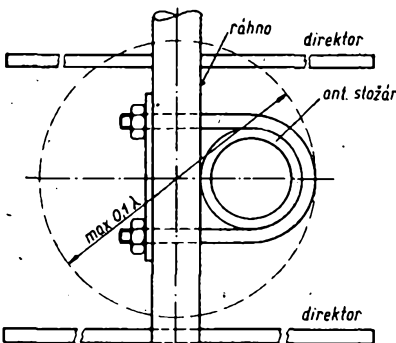
Při návrhu antén určených do oblasti s častějším výskytem námrazy se s jejich vlivem má počítat. Platí to především pro antény radiokomunikačních služeb, u nichž musí být zajištěna spolehlivost za všech okolností. Proto se používají prvky o větším průměru, aby se již předem změnil vliv změny štíhlosti nárůstem námrazy, případně se ještě u Yagiho antény posunuje oblast optimálního zisku na nejvyšší provozní kmitočet, aby i při výskytu námrazy, kdy se elektrická délka prvků prodlouží, zůstaly v provozním pásmu zachovány žádané směrové vlastnosti.

### c) Vliv ráhna

Průměr ráhna má na elektrickou délku prvků jistý vliv, který však není tak výrazný, aby jej bylo nutno brát v úvahu při každé změně doporučené nebo vzorové konstrukce. Obecně platí, že při nahraďení nekovového ráhna kovovým je vhodné délku všech prvků do ráhna větknutých, nebo na ráhno vodivě připojených prodloužit, aby se neposouvalo pracovní kmitočtové pásmo. Přesné výpočetní vztahy neexistují, protože změna délky prvků závisí nejen na velikosti či změně poměru  $T/\lambda$ , ale i na jejich štíhlosti. (Informace publikované např. v [23] a [26] se navzájem neshodují a při jejich praktickém ověřování nebylo dosaženo uspokojivých výsledků.) V prvním případě se doporučuje prodloužit prvky zhruba o 2/3 průměru ráhna (při výměně nekovového ráhna za kovové). Autor druhého příspěvku [26] udává křívkou závislost změny délky prvku na průměru ráhna. V obou případech se však opomíjí poměr štíhlosti prvků i ráhna, které mají podle našich zkušeností vliv na velikost korekce. Experimentálním objasněním tohoto problému se zatím nikdo nezabýval. S přihlédnutím k běžné praxi při amatérské realizaci antén však tento problém nepovažujeme za tak závažný. Vzorové konstrukce s nekovovým ráhnam se téměř nevyskytují, s výjimkou výpočtem navržených direktorových řad, u nichž se s vlivem ráhna nepočítá. V tom, případě uplatnitme poznatek z předchozí kapitoly, tzn. respektujeme doporučené délky direktorů, i když kovové ráhno poněkud posune jejich elektrické délky k vyšším kmitočtům, což však nemůže způsobit patrnou degradaci směrových vlastností.

Stějným způsobem se projeví použití relativně tlustšího ráhna oproti původně navrženému. To je ostatně nejčastěji se vyskytující případ. Vychází-li prepočtem na vyšší kmitočet ráhno příliš tenké, mechanicky nevhovující, a chceme-li jeho průměr dodržet, lze konstrukci zpevnit vhodně navrženým ráhnom podpůrným.

Obecně platí, že z výhledisek je zcela libovolné, zda u jednoduchých Yagiho antén použijeme kovové či nekovové ráhno. Nekovové ráhno dokonce klade menší požadavky na rozměrovou symetrii direktorové řady, protože nemohou vzniknout vyrovnavací proudy v ráhnu. Ty zmenšují účinnost antény při rozměrové nesymetrii prvků větknutých do ráhna kovového. Kovové ráhno je však žádoucí s ohledem na ochranu proti účinkům atmosférické elektřiny, protože galvanicky spojuje



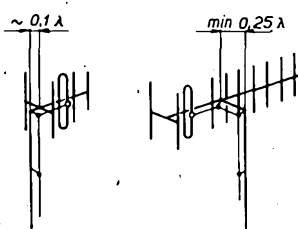
Obr. 28. Maximální rozměr pro upevnění stožáru k ráhnu

všechny aktivní a pasivní prvky s nosnou konstrukcí, takže celou anténu lze uzemnit a chránit proti účinkům atmosférické elektřiny a blesku podle ČSN 341380 a ČSN 341390. Pro továrně vyráběné antény je tento požadavek závazný.

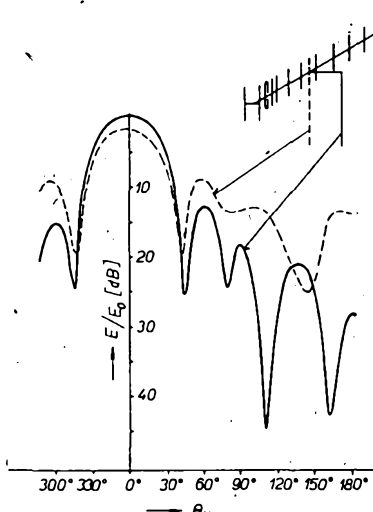
### d) Vliv stožáru

Antennní stožár nemá ovlivňovat elektrické vlastnosti antény. Výjimkou jsou případy, kdy se stožár stává součástí anténního systému, jako tomu je u některých stacionárních, vertikálně polarizovaných antén pro radiokomunikační služby.

Horizontálně polarizovanou Yagiho anténu je nutno upevnit na stožár souměrně k ose ráhna. Se strany ráhna lze upevnit anténu jen tehdy, nezasahuje-li stožár, i s upevnovací příchytkou mezi prvky natolik, že mezi nimi nepříznivě ovlivňuje



Obr. 29. Upevnění vertikálně polarizovaných antén



Obr. 30. Vliv stožáru na zisk a směrový diagram vertikálně polarizované Yagiho antény

elektromagnetické pole. Prakticky je s tím třeba počítat až na IV. a V. pásmu (viz obr. 28). Není-li tato podmínka splněna, je nutno stožár upevnit na podpůrné ráhno, nebo použít navíc výložné rameno.

Při vertikální polarizaci vedeme stožár zásadně vždy mimo řadu direktorů. U kratších antén za reflektorem, viz obr. 29a, u delších antén pomocí výložného ramena podle obr. 29b.

Vliv stožáru na zisk a směrové vlastnosti vertikálně polarizované Yagiho antény při jeho nesprávném upevnění je na obr. 30. Tímto způsobem jsou směrové vlastnosti antény, jak patrné, značně poškozeny.

Konstrukčním návrhem anténního stožáru z hlediska bezpečnosti a pevnosti se podobně zabývají jiní autori [32], [36]. Připomínáme však, že při návrhu je třeba přihlížet k „větrné zátěži“, kterou představují všechny antény upevněné na stožáru.

U velmi směrových antén se mohou rušivě projevit výkyvy pružného, ale z pevnostního hlediska výhovujícího stožáru. Nejlépe je odstraníme přiměřeným zakotvením.

## Anténní soustavy

Již z úvodních kapitol o směrových anténách jsme si osvojili základní poznatek o vztahu mezi směrovostí či ziskem a celkovými rozměry antény. Víme, že anténa může mít tím větší zisk, čím je rozměrnější, čím má větší tzv. účinnou plochu. Zatímco u směrových antén, u nichž konečným zdrojem záření je tzv. homogenně ozářené ústí antény (tj. např. u parabolických reflektorů, trichýtrů, plošných soufázových antén apod.), platí mezi účinnou plochou antény a směrovostí přímá úměrnost – čím větší plocha, tím větší zisk – blíží se směrovost Yagiho antény s rostoucí délkom určité, konečné velikosti, jak je patrné z obr. 9. Každým zdvojením délky jednoduché Yagiho antény zvětšujeme zisk asi o 2 dB. To platí až do délky asi 4λ. Dalším prodlužováním antény se však přírůstek zisku zmenšuje. Např. při prodloužení ze 4λ na 8λ je přírůstek zisku jen poněkud větší než 1 dB. Nemá tudíž smysl zvětšovat délku Yagiho antény nad 4λ pro rychle rostoucí nepoměr mezi porizovacími náklady a klesajícím energetickým přínosem při dalším prodlužování antény, nehledě na potíže spojené s vlastní konstrukcí i provozem příliš dlouhých antén.

Ekonomicky lze zvětšovat zisk Yagiho antén sestavováním anténních soustav, složených z jednoduchých Yagiho antén o maximální délce 3 až 4λ. Optimálním složením 2, 4, 8 a 16 základních – dílčích – antén dostáváme anténní soustavu se ziskem teoreticky zvětšeným o 3, 6, 9, 12 dB. To znamená, že se každým zdvojením antény nebo anténní soustavy vyzářený výkon v žádaném směru teoreticky zvětší až dvakrát (o 100%), což odpovídá napětí na vstupu přijímače většímu až 1,4krát (o 40%). Ve skutečnosti je přírůstek zisku poněkud menší než 3 dB, takže pro praktickou kalkulaci počítáme s max. přírůstkem 2,5 dB. Tak např. anténní soustava složená z 2, 4, 8, 16 Yagiho antén o délce 4λ a zisku 13,5 dB může mít v nejlepším případě zisk 16, 18, 5, 21 a 23 dB. Tohoto zisku bude dosaženo ovšem jen tehdy, budou-li dílčí antény, z nichž je anténní soustava složena, zařazeny v optimálních vzájemných vzdálostech a budou-li respektována hlediska impédanční a fázová; dále pak musí být

minimální ztráty v napájecím systému soustavy.

Již zde je třeba zdůraznit, že důvodem pro konstrukci anténních soustav není vždy zvětšení dosahu, tj. hledisko maximálního zisku. **Konstrukci anténních soustav řešíme mnohdy úspěšně a často jako jediným možným způsobem i otázku nerušeného příjmu TV obrazu místních nebo nepříliš vzdálených TV vysílačů**, kdy máme k dispozici signál sice dostatečně silný, ale znehodnocený odrazy, případně rušením, z jiných TV vysílačů ze směru jen málo odlišných od směru žádaného. Otázka zisku anténních soustav je v těchto případech druhotadá. Nejdůležitější je získat sestavením dvou či několika stejných antén v anténní soustavu vhodný tvar směrového diagramu. Jak uvidíme dále, lze totiž volbou vzdáleností mezi jednotlivými anténami soustavy i způsobem napájení značnou měrou ovlivnit tvar vyzařovacího diagramu v horizontální nebo vertikální rovině, případně v obou rovinách, a tak částečně nebo úplně vyloučit odrazy, které s jednou, i když dobrou anténu, vyloučit nelze.

Někdy je možné odstranit tímto způsobem rušení vysílače na blízkých nebo sousedních kanálech lépe a jednodušeji, než různými filtry v napáječích:

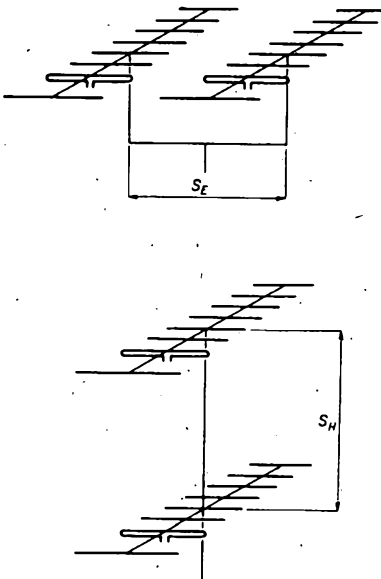
Při výlučně dálkovém příjmu TV nebo dálkové komunikaci na amatérských pásmech VKV však bývá konstrukce anténních soustav motivována především snahou po dosažení maximálního zisku. Směrové vlastnosti anténní soustavy (úhel příjmu, úroveň a směr postranních laloků a minim) jsou dány směrovými vlastnostmi jednotlivých základních antén, jejich počtem, uspořádáním, způsobem napájení a vzhledem k vzdálenosti. Zatímco u jednoduchých („jednopatrových“) Yagiho antén jsou optimální rozdíly většiny běžně užívaných antén výsledkem rozsáhlých prací experimentálních, je možno optimální rozdíly anténních soustav stanovit jednodušeji – výpočtem. Ovšem jen za předpokladu, že jsou známy směrové diagramy (nebo jejich charakteristické údaje) základních antén soustavy v obou rovinách, popř. v rovině, v níž chceme z těchto jednotlivých antén anténní soustavu sestavovat.

### Uspořádání jednotlivých antén do soustavy

Sestavování jednotlivých antén v anténní soustavě a charakteristické vlastnosti soustavy si nejprve vysvětlíme na nejjednodušší anténní soustavě, složené ze dvou antén.

Dvě antény lze složit v nejjednodušší anténní soustavu tak, že je zařadíme buď nad sebe (obr. 31a) nebo vedle sebe (obr. 31b). Pro jednoduchost uvažujeme nadále antény horizontálně polarizované. Při řazení antén nad sebou se nezmění původní tvar směrového diagramu základní antény v rovině horizontální (rovnina E). Směrový diagram takové anténní soustavy zůstane stejný jako u základní antény. Nezmění se tedy ani úhel příjmu, ani charakter postranních laloků a minim, ani činitel zpětného příjmu. Při příjmu zůstane taková anténní soustava nasměrována stejně jako anténa základní.

Razením jednoduchých antén nad sebou je ovlivňován jen směrový diagram v rovině řazení, tj. v rovině vertikální (rovnina H). V závislosti na vzdálenosti mezi oběma anténami se bude v této rovině měnit charakter směrového diagramu – úhel příjmu, úroveň a počet



Obr. 31. Dvojcenná anténní soustava: a) jednotlivé antény nad sebou, b) jednotlivé antény vedle sebe

postranních laloků a minim. Činitel zpětného příjmu však zůstane stejný (ve směru 180°).

Při řazení antén vedle sebe je tomu naopak. Nezmění se tvar směrového diagramu základní antény soustavy v rovině vertikální, ale v závislosti na vzdálenosti mezi anténami se bude měnit charakter směrového diagramu v rovině horizontální podobným způsobem, jako v rovině vertikální v případě předchozí. Činitel zpětného příjmu (pro 180°) však i v tomto případě zůstane shodný s činitelem základní antény. Prakticky to znamená, že řazení antén vedle sebe bude mít, na rozdíl od případu předchozího, určitý vliv jak na provozní techniku na amatérských pásmech VKV, tak i na směrování TV přijímacích antén. Výsledný směrový diagram, nebo lépe úhel příjmu této anténní soustavy totiž bude v rovině horizontální zhruba o polovinu užší, s výraznými (>30 dB) a ostrými minimy mezi hlavními a prvními postranními laloky.

Při provozní technice na nejužívanějších pásmech VKV, kde nám jde především a většinou jen o větší zisk, je podstatně výhodnější (i z hlediska konstrukčního) uspořádání první, tj. dvojice základních antén nad sebou (obr. 31a), popř. řazení antén nad sebou vůbec.

Anténní soustava, kterou tvoří dvojice nebo několik základních antén vedle sebe (obr. 31b), má stejný zisk jako anténní soustava složená ze stejněho počtu základních antén řazených nad sebou. Směrový účinek s ohledem na vyloučení rušivých, nežádáných signálů jsou však výraznější, takže taková anténní soustava je v mnoha případech velmi vhodná v místech, kde je příjem znehodnocen odrazy či rušením, dopadajícím na přijímací anténu ze směru jen málo odlišných od směru žádaného.

*Praktický příklad* je znázorněn na obr. 33, kde pro

$f = 199,25 \text{ MHz}$  (K9) jsou:

- a) směrový diagram běžné dvoukanálové dvanáctiprvkové TV přijímací antény (pro K8 a K9) typ 12Y 1,8-0,92 (anténa D). Délka  $L_c$  antény na 200 MHz je  $1,75\lambda$ . Úhel příjmu na uvedeném kmotoku je  $41,5^\circ$ . Zisk proti dipólu  $\lambda/2$  je 10,6 dB.
- b) směrový diagram anténní soustavy sestavené ze dvou takových antén, umís-

těných vedle sebe ve vzdálenosti  $S_E = 1,5\lambda$ . Úhel příjmu této soustavy ( $\Theta_{SE}$ ) je  $18^\circ$ . Zisk je 13,2 dB.

Jelikož jde o potlačení nežádánoho signálu, který dopadá na anténu ze směru jen málo odlišného od směru žádaného, zajímá nás též úhel mezi maximem hlavního laloku a prvním minimem, které má nežádany signál potlačit. Minimum výše zmíněné antény je od maxima hlavního laloku odchýleno o  $45^\circ$ . První minimum anténní soustavy, složené ze dvou antén typu 12Y 1,8-0,92 – navzájem vzdálených  $1,5\lambda$ , je od maxima hlavního laloku odchýleno jen o  $19^\circ$ .

Mějme nyní dva stejně velké signály – žádaný (S) a rušivý (R), které na přijímací anténu dopadají ze směrů, lišících se jen o  $10^\circ$ . Uvažujme nyní tyto čtyři případy (viz obr. 33):

1. Při příjmu na základní anténu optimálně nasměrovanou na žádaný signál S, je napětí nežádaného, rušivého signálu R zeslabeno na 93%, tj. o 0,65 dB. Prakticky tedy není zeslabeno vůbec.

2. Natočíme-li tuto základní anténu tak, aby se směr prvního minima shodoval se směrem k rušivému signálu, zmenší se, případně zcela zmizí rušení. Napětí žádaného signálu se však zmenší na 29% max. velikosti, tj. zmenší se o 10,5 dB.

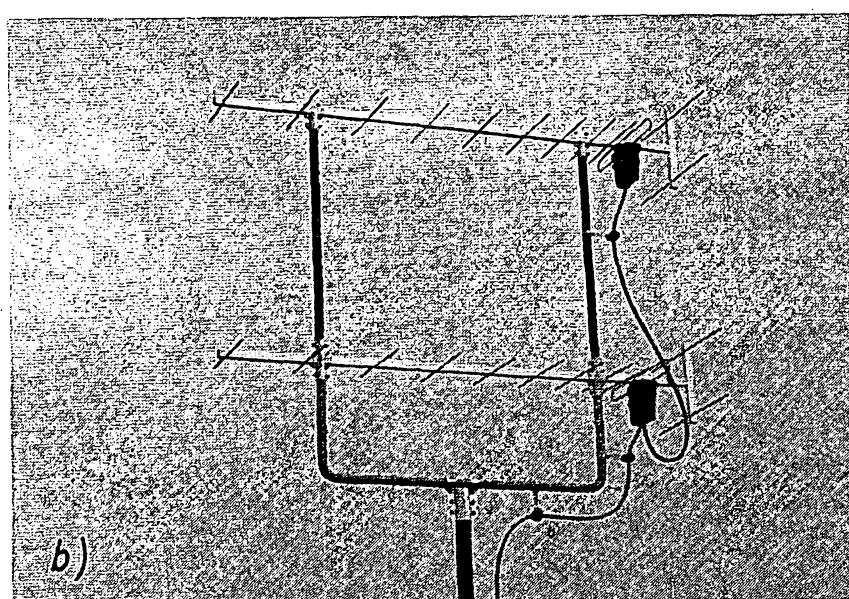
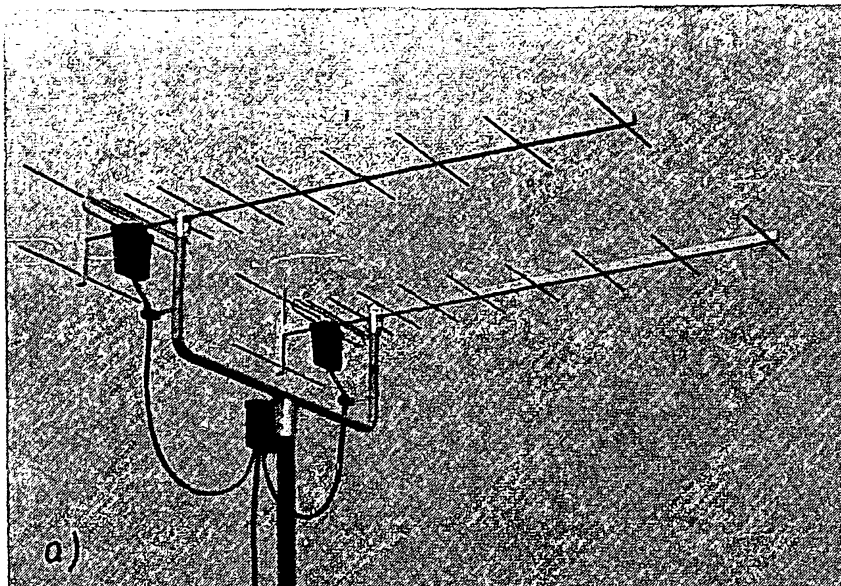
3. Při užití optimálně nasměrované anténní soustavy podle obr. 33 je nežádáný signál zeslaben na 63% max. velikosti, tj. zmenší se o 3,8 dB. To také není dostačující.

4. Pozorným natočením této anténní soustavy tak, aby se směr prvního minima shodoval se směrem k rušivému signálu, lze většinou toto rušení zcela odstranit. Napětí žádaného signálu se přitom zmenší jen na 71% maximální velikosti, tj. o 3 dB. Tato anténní soustava však má o 2,5 dB větší zisk než anténa základní, takže žádaný signál je zeslaben jen o 0,5 dB. Odstup obou původně stejně silných signálů se tak zvětší na více než 30 dB, aniž se přitom patrně zeslabí žádaný signál. (Pro úplnost je vhodné podotknout, že vzájemná vzdálenost uvedených antén, která je  $1,5\lambda$ , je v tomto případě i optimální vzdálenost z hlediska maximálního zisku této soustavy. Podrobnejší informace o vlivu vzdálenosti dílných antén na směrové vlastnosti anténních soustav jsou uvedeny dále).

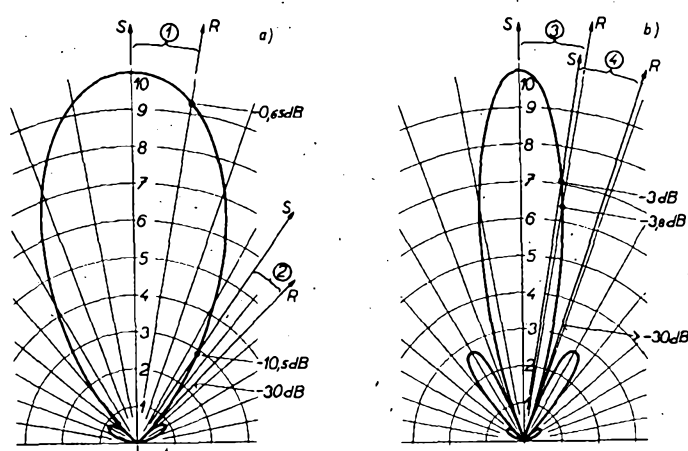
Kombinaci dvou výše uvedených a nejednodušších anténních soustav vzniká soustava, složená ze čtyř základních antén – obr. 34. Její maximální zisk je asi o 5 dB větší v porovnání se základní anténonou. Směrový diagram, popř. úhel příjmu je opět zhruba o polovinu užší, ovšem v obou rovinách. Energetický přenos, daný ziskem větším téměř o 6 dB, se prakticky projeví jen při příjmu velmi slabých signálů, takže tato soustava je za určitých předpokladů (je-li umístěna v dostatečně homogenném elektromagnetickém poli) vhodná pro dálkový příjem TV.

Bývá častěji používána na IV. a V. pásmu. Na III. pásmu je její realizace poněkud obtížnější pro potíže konstrukčně mechanického rázu, neboť vzájemné vzdálenosti antén zde dosahují až 3 m.

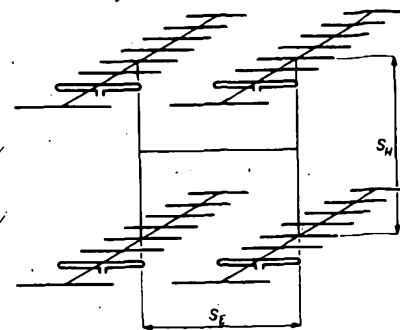
Tolik tedy na vysvětlenou k základním způsobům řazení jednotlivých antén v nejuzívanější a tedy poměrně jednoduché anténní soustavě.



Obr. 32. Anténní soustava ze dvou antén Mechanika; a) antény vedle sebe jsou napájeny aperiodicky, b) antény nad sebou jsou napájeny laděným napáječem



Obr. 33. Princip potlačení rušivého signálu anténní soustavou



Obr. 34. Čtyřčlenná anténní soustava

### Způsob napájení

Již z předchozí kapitoly víme, že směrové vlastnosti anténních soustav jsou dány směrovými vlastnostmi a počtem základních antén, jejich uspořádáním, napájením a vzájemnou vzdáleností. Obecně lze jednotlivé antény anténních soustav napájet vý proudy s různou amplitudou a fází. V našem případě jde o anténní soustavy, jejichž antény jsou napájeny vý proudy se stejnou amplitudou a fází. Jsou to tedy soufázové anténní soustavy.

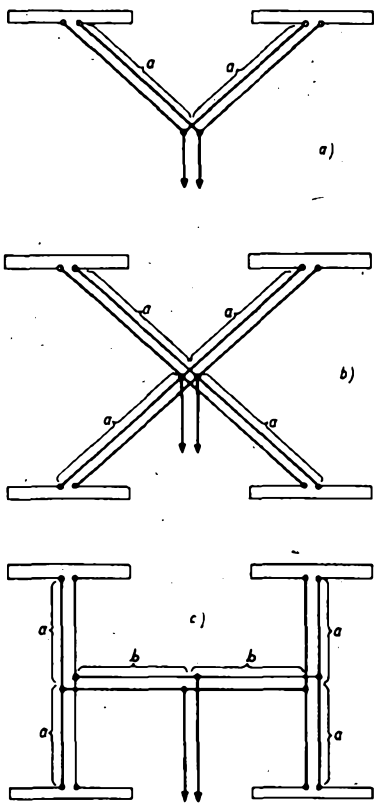
Fáze vý proudů tekoucích do aktivních prvků – dipólů základních antén musí být naprostě stejná, aby směrový diagram anténní soustavy byl souměrný a aby jeho maximum bylo totožné s maximem směrového diagramu základních antén.

Rovněž amplituda vý proudů, tekoucích do jednotlivých antén, musí být stejná, má-li se skutečný zisk anténní soustavy blížit maximálnímu možnému zisku. Každá základní anténa tedy musí vyzařovat nebo přijímat a dodávat na vstup přijímače stejný díl vý energie.

Fázi vý proudů zde určují: délka a způsob připojení napáječů („půlování“ napáječů) mezi jednotlivými anténami a společným napájecím místem, odkud je veden k vysílači či přijímači jediný napáječ. K napájení základních antén používáme napáječe laděné – rezonanční či neladěné – aperiodické. V určitých případech, zejména u složitějších soustav, je možné oba způsoby kombinovat. Délka neladěných napáječů může být libovolná. Elektrická délka napáječů laděných je v určitém vztahu k vlnové délce, zpravidla je sudým či lichým násobkem  $\lambda/2$  středního pracovního kmitočtu anténní soustavy; v takovém případě hovoříme o vedení či napájení rezonančním.

### Neladěné napájení

**Úseky napáječů**, kterými jsou jednotlivé antény připojeny ke společným napájecím místům, mohou mít libovolnou, ale navzájem zcela shodnou délku. Stejnolehle poloviny aktivních prvků – dipólů jednotlivých antén musí být přitom (u soufázového napájení) ve společném napájecím místě navzájem spojeny. Schematicky je vyznačeno neladěné napájení dipólů jednotlivých antén jednoduchých anténních soustav na obr. 35. Jednotlivé antény jsou pro zjednodušení vyznačeny jako jednoduché skládané dipoly. Stejně označené úseky napáječů mohou mít libovolnou délku, navzájem však musí být úplně shodné. **Neladěné napájení je kmitočtově nezávislé**, tzn., že zaručuje soufázové napájení základních antén v širokém kmitočtovém pásmu. Musí jej být



Obr. 35. Neladěné (aperiodické) napájení anténních soustav: a) dvoučlenná soustava, b) čtyřčlenná soustava, c) čtyřčlenná soustava s postupně připojovanými dvojicemi

proto vždy použito při napájení širokopásmových anténních soustav, tj. soustav složených z jednotlivých širokopásmových antén, např. TV antén pro celé pásmo.

Impedance neladěných napáječů musí být shodná s impedancí jednotlivých antén soustavy. Mají-li antény na obr. 35a impedanci  $300 \Omega$ , musí být úseky a z napáječe o charakteristické impedance  $300 \Omega$ . Pokud se použijí k napájení jednotlivých antén soustavy souosé kabely o impedanci  $75 \Omega$ , je nutné zařadit mezi kabel a anténní svorky symetrikační a transformační obvod.

Paralelním spojením dvou antén o impedanci  $300 \Omega$  dostaváme ve společném napájecím místě impedanci celé soustavy, která je v takovém případě  $150 \Omega$ , popř.  $37,5 \Omega$  při napájení souosým kablem (dvakrát  $75 \Omega$  paralelně). Pokud nemají na napáječe celé soustavy vzniknout stojaté vlny ( $\text{CSV} = 2$ ), je třeba opět respektovat hledisko impedančního přizpůsobení. ( $\text{CSV} = 2$  však není taková velikost činitele stojatých vln, která by na napáječích TV antén zhoršila kvalitu obrazu patrným způsobem. Ztráty nepřizpůsobením jsou v tomto případě asi  $0.5 \text{ dB}$ ).

Čtyři paralelně spojené antény  $300 \Omega$  podle obr. 35b naproti tomu umožňují použít souosé napájení  $75 \Omega$  celé soustavy přímo, jen se symetrikačním členem.

Anténní soustava s postupně připojovanými dvojicemi základních antén podle obr. 35c má být opatřena témito napáječi: úseky a –  $300 \Omega$ , b –  $150 \Omega$ , napáječ celé soustavy –  $75 \Omega$ . Podobným způsobem je nutné postupovat při napájení jiných, složitějších soustav, mají-li být základní antény napájeny neladěnými napáječi.

Realizace neladěného napájení amatérskými prostředky je někdy nesnadná pro potíže s opatřováním, případně výro-

bou napáječů s požadovanou impedancí. V těch případech lze s výhodou používat napájení laděné – rezonanční.

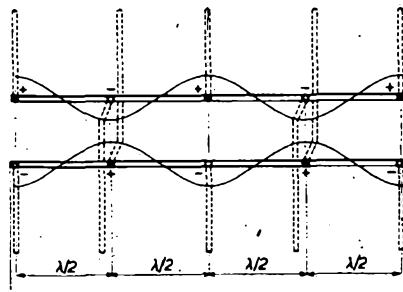
#### Laděné napájení

**Úseky napáječů**, jimiž jsou jednotlivé antény soustavy připojeny ke společnému napájecímu místu, nebo jimiž jsou propojeny navzájem, **musí mít určitou elektrickou délku**, která je v určitém vztahu ke střednímu kmitočtu pracovního pásma soustavy. Zpravidla bývá tato délka lichým nebo sudým násobkem poloviny vlnové délky středního kmitočtu. V takových případech hovoříme o rezonančních napáječích. Úseky napáječů mezi jednotlivými anténami soustavy nemusí mít stejnou délku, rozdíl délek však musí být opět sudým nebo lichým násobkem poloviny vlnové délky  $\lambda/2$ . Musí být opět spinána podmínka soufázového napájení jednotlivých antén soustavy. Antény jsou napájeny soufázově, pokud jsou stejnolehlé poloviny aktivních prvků spojeny napáječi o délce, která je sudým násobkem  $\lambda/2$ , popř. celistvým násobkem  $\lambda$  ( $1\lambda, 2\lambda, 3\lambda$  apod.). Pokud je z konstrukčních důvodů výhodnější použít k propojení jednotlivých antén napáječe, jejichž délky jsou lichým násobkem  $\lambda/2$  ( $0,5\lambda, 1,5\lambda, 2,5\lambda$  apod.), je nutno napáječ této délky překřížit, tj. spojit protilehlé konce aktivních prvků, aby byla spinána podmínka soufázového napájení.

Vysvětlení je patrné z obr. 36, na němž je schematicky naznačen okamžitý průběh fáze na souměrném rezonančním vedení. Fáze se mění o  $180^\circ$  (z „+“ do „-“) během každé půlvlny. Aby tedy byla spinána podmínka soufázového napájení, musí být stejnolehlé poloviny aktivních prvků připojeny k napáječi v místech stejné fáze (stejně „polarity“ v daném okamžiku). Jsou-li úseky napáječů mezi jednotlivými anténami celistvým násobkem vlnové délky, připojujeme aktivní prvky (dipoly) přímo. Jsou-li lichým násobkem půlvlny, připojujeme je střídavě na protilehlé vodiče, popř. zkříženými úseky napáječů spojujeme protilehlé poloviny aktivních prvků.

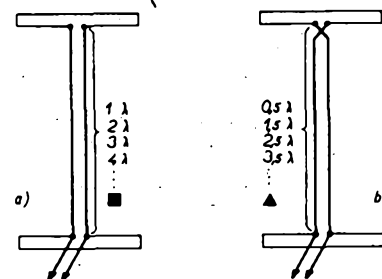
Rezonančních napáječů lze s výhodou využít u patrových anténních soustav, tj. u antén, rozložených nad sebou. Rezonanční napáječi lze jednotlivé antény průběžně propojit a společný napáječ připojit např. ke spodní krajní anténě, případně ke kterékoli jiné. Celé napájení se tím značně zjednoduší v porovnání s neladěným napájením též soustavy.

U rezonančních napáječů **nezáleží na jejich Impedanci**, tzn. že charakteristická impedance takových napáječů nemusí odpovídat impedanci jednotlivých antén soustavy, což je z hlediska konstrukce amatérsky zhotovených anténních soustav značně zjednodušení. Využívá se zde vlastnosti vedení, jehož elektrická

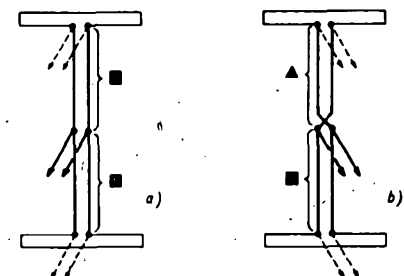


Obr. 36. Okamžitý průběh fáze na souměrném rezonančním vedení

délka je celistvým násobkem  $\lambda/2$ . Vedení této délky transformuje impedanci v poměru 1:1 bez ohledu na vlastní charakteristickou impedanci. Prakticky to znamená, že např. na začátku napáječe  $600 \Omega$  délky  $0,5\lambda, 1\lambda, 1,5\lambda, 2\lambda$  atd. připojeného k anténě o impedanci  $300 \Omega$  je opět  $300 \Omega$ . Zádné ztráty odrazem v takovém případě nevznikají. Společný napáječ celé anténní soustavy (pokud není sám rezonanční) však musí svou impedanci respektovat výslednou impedanci celé soustavy v místě svého připojení, kam rezonanční napáječe přetransformují impedance paralelně pospojovaných jednotlivých antén.



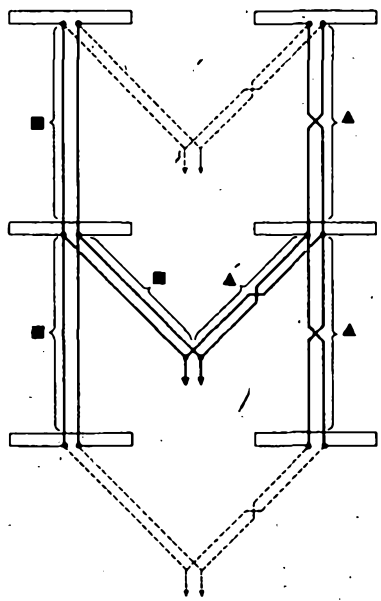
Obr. 37. Rezonanční napájení jednoduché anténní soustavy



Obr. 38. Rezonanční napájení jednoduché anténní soustavy

Na obr. 37 až 39 jsou některé případy použití rezonančního napájení jednoduchých anténních soustav. Obr. 37 ukazuje rezonanční napájení jednoduché anténní soustavy, složené ze dvou antén nad sebou. Pro zjednodušení jsou opět místo celých antén vyznačeny jen jejich aktivní prvky. Společný napáječ je připojen k jedné z obou základních antén. Na obr. 37a jsou obě antény spojeny napáječi délky  $1\lambda, 2\lambda, 3\lambda$  atd. Navzájem jsou tedy propojeny stejnolehlé poloviny aktivních prvků. Vpravo na obr. 37b jsou antény propojeny napáječi délky  $0,5\lambda, 1,5\lambda, 2,5\lambda$  atd. Překřížením napáječe jsou zde navzájem spojeny protilehlé poloviny aktivních prvků, aby byla spinána podmínka soufázového napájení.

Pokud je rezonanční napáječ spojující obě antény, dlouhý  $2\lambda, 4\lambda, 8\lambda$  atd., lze společný napáječ připojit nejen u kterékoli z antén soustavy, ale i uprostřed, jak je vidět na obr. 38 vlevo. Pravá část obr. 38 znázorňuje připojení společného napáječe mimo střed rezonančního úseku napáječe, spojujícího obě antény soustavy, pokud je jeho délka  $1,5\lambda, 2,5\lambda, 3,5\lambda$  atd. V takovémto případě lze připojit též ke kterékoli z obou antén.



Obr. 39. Rezonanční napájení větší anténní soustavy

Na obr. 39 je schéma rezonančního napájení větší anténní soustavy, složené ze dvou trojic antén vedle sebe. V pravé polovině soustavy jsou délky napáječů lichým násobkem  $\lambda/2$ , v levé sudým násobkem  $\lambda/2$ . I když se v praxi naznačeného způsobu neužívá, je z hlediska fáze napájení celé soustavy pořádku.

Na předchozích obrázcích je překřížení rezonančních napáječů kresleno v různých místech: Z elektrického hlediska to není na závadu. Prakticky však souměrné laděné vedení přetáčíme na jistém úseku vedení, nejčastěji po celé délce úseku mezi napájecími body.

**Laděné napájení je kmitočtově závislé, nezaručuje soufázové napájení v širokém kmitočtovém pásmu.** Kmitočtová závislost se zmenšuje se zmenšující se charakteristikou impedancí rezonančních napáječů. Laděného napájení tedy nevyužíváme u širokopásmových soustav, určených pro příjem celých pásem.

Je třeba zdůraznit, že **zatím hovoříme jen o elektrické délce napáječů a nikoli o vzdálenostech mezi jednotlivými anténami**, které se nemusí s délkou napáječů vůbec shodovat. Mohou být i podstatně menší. To je vlastně vždycky, když je napájecí vedení s dielektrikem ( $\epsilon > 1$ ), jehož skutečná délka je vždy menší než délka elektrická. Pouze délka vzdutého vedení bývá téměř totožná se vzdáleností jednotlivých antén soustavy.

Jak již bylo řečeno, je třeba při sestavování anténních soustav respektovat hlediska fázová i impedanční. Impedance celé soustavy je dána paralelním spojením impedancí základních antén. Jejich impedance se však v závislosti na vzdálenosti mění. Změna velikosti impedance je tím větší, čím těsnější je vzájemná vazba jednotlivých antén soustavy, tj. čím jsou antény blíže u sebe. Pokud je však jejich vzájemná vzdálenost větší než  $1\lambda$ , je změna původní impedance poměrně malá, takže při stanovení impedance celé soustavy prakticky počítáme s původní impedancí jednotlivých antén soustavy.

Dosud uvedené poznatky o anténních soustavách je možno shrnout takto:

Anténními soustavami řešíme požadavek na větší zisk antény v místech slabého signálu, nebo otázku nerušeného příjmu TV v místech, v nichž je příjem znehodnocen odrazem či jiným rušením, dopadajícím na anténu ze směru jen málo odlišného od směru žádaného. Směrové vlastnosti anténních soustav jsou dány směrovými vlastnostmi jednotlivých antén soustavy, jejich počtem, uspořádáním, způsobem napájení a vzájemnou vzdáleností.

Zisk anténní soustavy se přímo úměrně zvětšuje s rostoucím počtem antén v soustavě. Každým dalším zdvojením anténní soustavy se zvětší zisk – v optimálním případě téměř o 3 dB. Maximálně použitelný počet antén v soustavě je zpravidla omezen především konstrukčně mechanickým hlediskem a dále rozložením elektromagnetického pole (jeho homogenitou) v místě antény (viz další část článku).

Při napájení jednotlivých antén soustavy je třeba respektovat impedanční a fázové poměry tak, aby antény byly napájeny v proudu se stejnou amplitudou a fází. K napájení jednotlivých antén soustavy používáme buď napáječe aperiodické – neladěné, nebo napáječe rezonanční – laděné. Délky rezonančních napáječů jsou zpravidla sudým nebo lichým násobkem poloviny vlnové délky středního pracovního kmitočtu anténní soustavy. Použitím rezonančních napáječů lze amatérsky realizovat i složitější anténní soustavy.

#### Vzájemná vzdálenost jednotlivých antén v soustavě a její vliv na směrové vlastnosti anténní soustavy

Při dodržení výše uvedených zásad je konečný tvar směrového diagramu a tím i zisk soustavy rozhodujícím způsobem ovlivněn vzájemnou vzdáleností jednotlivých antén. Výsledný tvar směrového diagramu soustavy, popř. nejvhodnější vzdálenost k dosažení maximálního zisku lze stanovit výpočtem, známé-li směrový diagram jednotlivých antén v rovině, v níž je chceme ředit do soustav. Potřebná odvození i postup při numerickém výpočtu jsou složitější a vymykají se z rámce tohoto článku. Zájemci si najdou potřebné informace v příslušné literatuře [5], [38], [39], [40]. Zde si vysvětlíme jen princip a jednoduchou grafickou metodu, kterou lze použít při stanovení diagramu jednoduchých soustav, které přicházejí v úvahu při amatérské realizaci: Pro snazší pochopení principu uvedme nejprve opět praktický příklad, který ostatně můžeme ověřit i pokusem.

Mějme nejjednodušší anténní soustavu, složenou ze dvou antén, např. ze dvou TV přijímacích antén na III. pásmo (typ 12Y 1,8-0,92). Abychom mohli vliv jejich vzájemné vzdálenosti prakticky a snadno sledovat, musíme antény umístit vedle sebe, takže ovlivňujeme tvar diagramu v rovině, v níž můžeme soustavou otáčet kolem svislého stožáru. Jak se nyní bude

měnit směrový diagram se změnou vzdálenosti obou antén v porovnání se směrovým diagramem antény jediné?

Josou-li antény těsně u sebe (což lze v tomto případě realizovat jen u antén polarizovaných vertikálně), jsou směrové vlastnosti takové soustavy téměř shodné se směrovými vlastnostmi jediné antény.

Při postupném zvětšování vzdálenosti mezi oběma anténami se začíná zužovat hlavní lalok, tj. zmenšuje se jak úhel příjmu, tak úroveň původních postranních laloků (pokud ovšem antény, z nichž je soustava složena, nějaké měly). Směrové vlastnosti se tedy zlepšují. Vzdalujeme-li vzájemně obě antény, zmenšuje se dále úhel příjmu, a po stranách hlavního laloku, odděleny ostrými a hlubokými minimy, se tvoří dva nové postranní laloky, zatímco původní postranní laloky, které zůstávají na svém místě (v původním směru), se opět přechodně zvětšují na původní úroveň. Nové postranní laloky se při dalším zvětšování vzájemně vzdálenosti antén rychle zvětšují, až jsou prakticky stejně velké jako lalok hlavní (viz též obr. 42).

Maximální zisk pak má soustava při takové vzájemné vzdálenosti základních antén, kdy je úroveň těchto nových postranních laloků asi o 10 dB menší, než maximum laloku hlavního (0,316 maximálního napětí). Při větší vzájemné vzdálenosti antén se sice hlavní lalok zužuje dále, ale zisk soustavy se již zmenšuje v důsledku velmi rychle se zvětšujících postranních laloků.

Změna vzdálenosti mezi anténami soustavy však nemá vliv na velikost činitele zpětného příjmu ve směru  $180^\circ$ . Mění se jen charakter (členitost) zadního laloku.

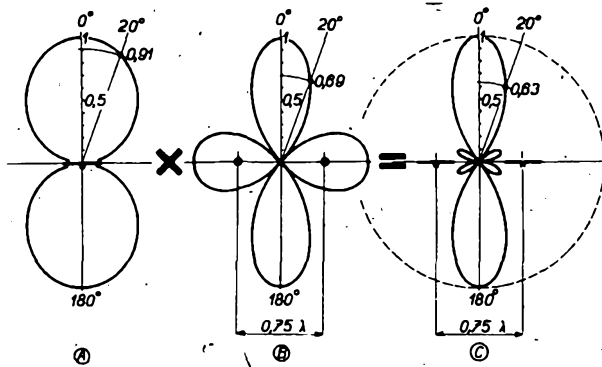
#### Výpočet směrového diagramu anténní soustavy

Při výpočtu směrového diagramu dané anténní soustavy vycházíme ze směrového diagramu řady všeobecných záříčí (tzv. izotropních záříčí), napájených stejným způsobem (tj. v našem případě – se stejnou amplitudou a fází). Jde o směrový diagram řady záříčí, který má totiž členů, kolik jednotlivých antén má sestavovaná anténní soustava v jedné rovině řazení.

Výsledný směrový diagram celé soustavy je pak dán součinem směrových funkcí diagramu jedné antény s výslednou směrovou funkcí řady tolika všeobecných záříčí, z kolika antén se celá anténní soustava skládá. Všeobecné záříčí při tom uvažujeme ve vzdálenostech shodných se vzájemnými vzdálenostmi jednotlivých antén soustavy.

Formulace předchozího odstavce je snad trochu neobyvklá či složitá, ale jistě není nesrozumitelná. Populárněji řečeno – výsledný směrový diagram anténní soustavy získáme, když směrový diagram základní antény „vynásobíme“ směrovým diagramem anténní soustavy, složené z tolika „všeobecných antén“, z kolika jednotlivých antén se naše anténní soustava skládá. Toto „násobení“ diagramů je schematicky znázorněno na obr. 40, kde A je směrový diagram základní antény soustavy, v tomto případě dipolu  $\lambda/2$ . B je směrový diagram dvojice všeobecných záříčí; C je pak výsledný diagram dvoučlenné soustavy, sestavené v tomto případě (tj. na obr. 40) ze dvou dipólů  $\lambda/2$ , umístěných vedle sebe ve vzdálenosti  $0,75\lambda$  (vzdálenost středu). Navzájem násobíme údaje v obou diagramech (A a B), odpovídající stejnemu směru (úhlu), což je na obr. 40 vyznačeno pro směr  $20^\circ$ .

– Pro vnitřní trh rozšířit sortiment inovovaných výrobků spotřební elektrotechniky s vysokými technickoekonomickými parametry, zejména barevných televizních přijímačů, magnetofonů, gramofonů, radiopřijímačů a dalších výrobků.



Obr. 40. Princíp výpočtu směrového diagramu jednoduché anténní soustavy, sestavene ze dvou soufázově napájených dipólů  $\lambda/2$ , vzájemně vzdálených  $0,75\lambda$

a v tab. 4 vždy po  $10^\circ$  pro úhly  $0^\circ$  až  $90^\circ$ . A protože diagramy jsou souměrné podle vodorovné i svislé osy, stačí údaje vypočtené pro úhly  $0^\circ$  až  $90^\circ$  k zakreslení úplného směrového diagramu této anténní soustavy.

Tab. 4.

Úhel (směr)	$A \times B$	C
$0^\circ$	$1,00 \times 1,00$	1,00
$10^\circ$	$0,98 \times 0,91$	0,89
$20^\circ$	$0,91 \times 0,69$	0,63
$30^\circ$	$0,82 \times 0,39$	0,32
$40^\circ$	$0,69 \times 0,055$	0,038
$50^\circ$	$0,56 \times 0,22$	0,12
$60^\circ$	$0,42 \times 0,45$	0,19
$70^\circ$	$0,28 \times 0,60$	0,17
$80^\circ$	$0,14 \times 0,68$	0,095
$90^\circ$	$0,00 \times 0,71$	0,00

Výsledný diagram dvojice dipólů  $\lambda/2$ , umístěných vedle sebe ve vzájemné vzdálenosti  $0,75\lambda$  má, jak je patrné, již poměrně výrazně směrové účinky – ovšem jen v rovině řazení. V rovině kolmé (rovině H) zůstává diagram všeobecný, jak je vyznačeno na obr. 40c (čárkován).

K výpočtu či sestrojení směrového diagramu sestavované anténní soustavy tedy potřebujeme znát směrový diagram základní antény soustavy a směrový diagram odpovídající řady všeobecných záříčů. Protože v běžné praxi obvykle vystačíme se dvěma anténami vedle sebe (ve vodorovné rovině) a dvěma až čtyřmi anténami nad sebou (ve svislé rovině), jsou pro takové anténní soustavy úplné směrové diagramy dvojic všeobecných záříčů vypočteny a znázorněny na obr. 41a až 41g a pro přesný výpočet na obr. 43. Jsou vypočteny pro vzájemnou vzdálenost  $S = 0$  (tj. vlastní diagram jediného všeobecného záříče);  $S = 0,25\lambda$ ;  $0,5\lambda$ ;  $0,75\lambda$ ;  $1\lambda$ ;  $1,5\lambda$  a  $2\lambda$ . Jako praktický příklad jsou pak na obr. 42a až 42g znázorněny směrové diagramy jednoduché anténní soustavy, sestavené ze dvou horizontálně polarizovaných dvanáctiprvkových TV přijímacích antén na III. pásmo a pro kmitočet 199,25 MHz (anténa – typ 12Y 1,8–0,92 na kmitočtu  $f = 0,97 f_{max}$ ), umístěných vedle sebe (ve vodorovné rovině). Směrové diagramy této soustavy jsou stanoveny pro stejnou vzdálenost jako u dvojice všeobecných na obr. 41, tj. pro  $S = 0$  (což je vlastní směrový diagram základní antény soustavy);  $0,25\lambda$ ;  $0,5\lambda$ ;  $0,75\lambda$ ;  $1\lambda$ ;  $1,5\lambda$ ;  $2\lambda$ . Byly vypočteny „násobením“ směrových diagramů základní antény soustavy (obr. 42a) s diagramy dvojic všeobecných záříčů v uvedených vzdálenostech (obr. 41).

Názorné výsledky, které vyplývají z grafických znázornění na obr. 41 a 42, jsou jistě dosti instruktivní a nepotřebují detailní vysvětlení.

Maximální zisk má tato anténní soustava při vzájemné vzdálenosti dílčích antén  $S_E = 1,5\lambda$ . Již z toho je vidět, že optimální vzájemná vzdálenost základních antén musí být tím větší, čím užší je hlavní lalok základní antény soustavy, popř. čím má tato anténa větší zisk, čili čím je anténa delší (pokud jde o Yagiho anténu). Z poměrně členitého směrového diagramu řady (v našem případě dvoučlenné), totiž využíváme „k násobení“ především jen toho laloku, jehož směr se shoduje se směrem hlavního laloku základní antény (tj. pro směr  $0^\circ$ ). Ostatní laloky této řady jen ovlivňují charakter (členitost) diagramu základní antény v ostatních směrech. Abychom tedy dosáhli maximálního zisku, tzn. aby se hlavní lalok anténní soustavy zúžil zhruba na polovinu a vedle něho vznikly dva nové postranní laloky ( $-10$  dB), musí být vzájemná vzdálenost jednotlivých antén soustavy tak velká, aby „hlavní lalok“ odpovídající řady všeobecných záříčů byl ještě užší než hlavní lalok základní antény soustavy, popř. aby jeho minima ležela blíže směru  $0^\circ$ , než leží minima základní antény soustavy. Za takových podmínek se pak musí z původního diagramu základní antény oddělit dva nové postranní laloky. Poloha (směr) oddělujících minim diagramu anténní soustavy je totožná s polohou minim odpovídající řady všeobecných záříčů. Je to jistě pochopitelně, protože pro úhel (směr), v němž leží minima této řady (v našem případě dvojice) všeobecných záříčů, násobíme příslušný údaj směrového diagramu základní antény nulou, takže výsledkem je opět nula, čili minimum ve výsledném diagramu soustavy. Znamená to tedy také, že na polohu této nových minim (odpovídajících nulám příslušné řady všeobecných záříčů) nemá diagram základní antény soustavy vůbec vliv. Objeví se v diagramu naší dvoučlenné soustavy právě tak, jako v diagramu dvoučlenné soustavy jiné, např. sestavené jen z dipolů  $\lambda/2$ . (Pro  $S_E = 0,75$  je to možno ostatně porovnat na obr. 40c).

K příkladu na obr. 42 je třeba ještě dodat, že horizontální směrové diagramy pro dvojice horizontálně polarizovaných TV antén vedle sebe a pro  $S_E = 0,25$  až  $0,5\lambda$  nelze v praxi dost dobré naměřit vzhledem k tomu, že při této vzdálenosti (je to vzdálenost středu antén, popř. vzdálenost os nosných ráhen), by se překryvaly nebo dotýkaly konce prvků. Kdyby však šlo o antény polarizované vertikálně, nečinilo by změření diagramu pro  $S_H = 0,25$  až  $0,5\lambda$  potíže.

V obr. 42 nejsou také zakresleny zadní laloky (mezi  $90^\circ$  až  $270^\circ$ ). Jsou totiž potlačeny o více než 23 dB. Změna jejich členitosti se změnou vzdálenosti dílčích antén proto nemá praktický vliv na zisk anténní soustavy a jejich znázornění na obrázcích by bylo malo zřetelné.

Na první pohled je vidět značný rozdíl ve směrovosti této soustavy pro  $S_E = 1,5\lambda$  (obr. 42f) v porovnání se směrovostí základní antény soustavy (obr. 42a). Tento rozdíl se ovšem objevuje jen v rovině řazení, zatímco v rovině kolmé zůstává původní tvar směrového diagramu základní antény zachován (je na obr. 42f pro informaci též zakreslen čárkován). Teprve další dvojice stejných antén, zařazenou ve svislé rovině, by bylo možno ovlivnit původní směrový diagram v této rovině podobným způsobem, jako v případě dvou antén vedle sebe. Potřebná optimální vzájemná vzdálenost ( $S_i$ ) této dvojice nad původní dvojicí by však byla poněkud menší, protože ve svislé rovině je diagram (úhel příjmu) jedné Yagiho antény poněkud širší, než v rovině vodorovné. O tom však podrobnejší až v další kapitole, při praktickém určování rozměrů anténních soustav.

Podíváme-li se nyní na průběh zisku v závislosti na vzájemné vzdálenosti obou základních antén soustavy (obr. 43) vidíme, že pro dosažení maximálního zisku je třeba v našem případě volit vzdálenost kolem  $1,5\lambda$ . Z obr. 43 je též patrné, že v oblasti maximálního zisku není již průběh zisku příliš kritický. Zisk se z maxima zmenší o  $0,5$  dB (v našem případě) pro vzdálenost  $S_E = 1,1\lambda$ , popř.  $1,8\lambda$ . Při vzdálenosti  $S_E = 1,8\lambda$  jsou však již poměrně výrazně postranní laloky, což je zpravidla nepřijemné.

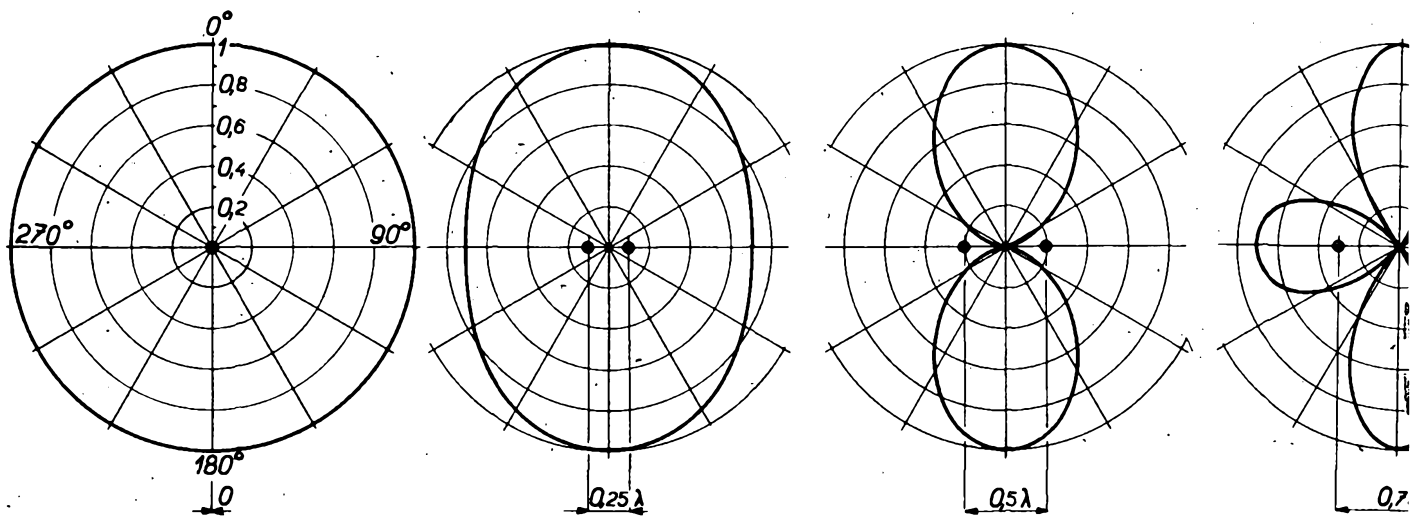
Je třeba ještě upozornit na to, že směrové diagramy na obr. 42a až 42g jsou ve vzájemném vztahu, pokud jde o vlastní tvar směrového diagramu. Kdyby však měly svými amplitudami napětí respektovat skutečný zisk, popř. přírůstek zisku v porovnání se základní anténnou soustavou (s maximem 1,0 ve směru  $0^\circ$ ), bylo by nutné násobit amplitudy diagramů ve všech směrech součinitelem, odpovídajícím přírůstku zisku této soustavy pro tu kterou vzájemnou vzdálenost dílčích antén (tab. 5).

Tab. 5.

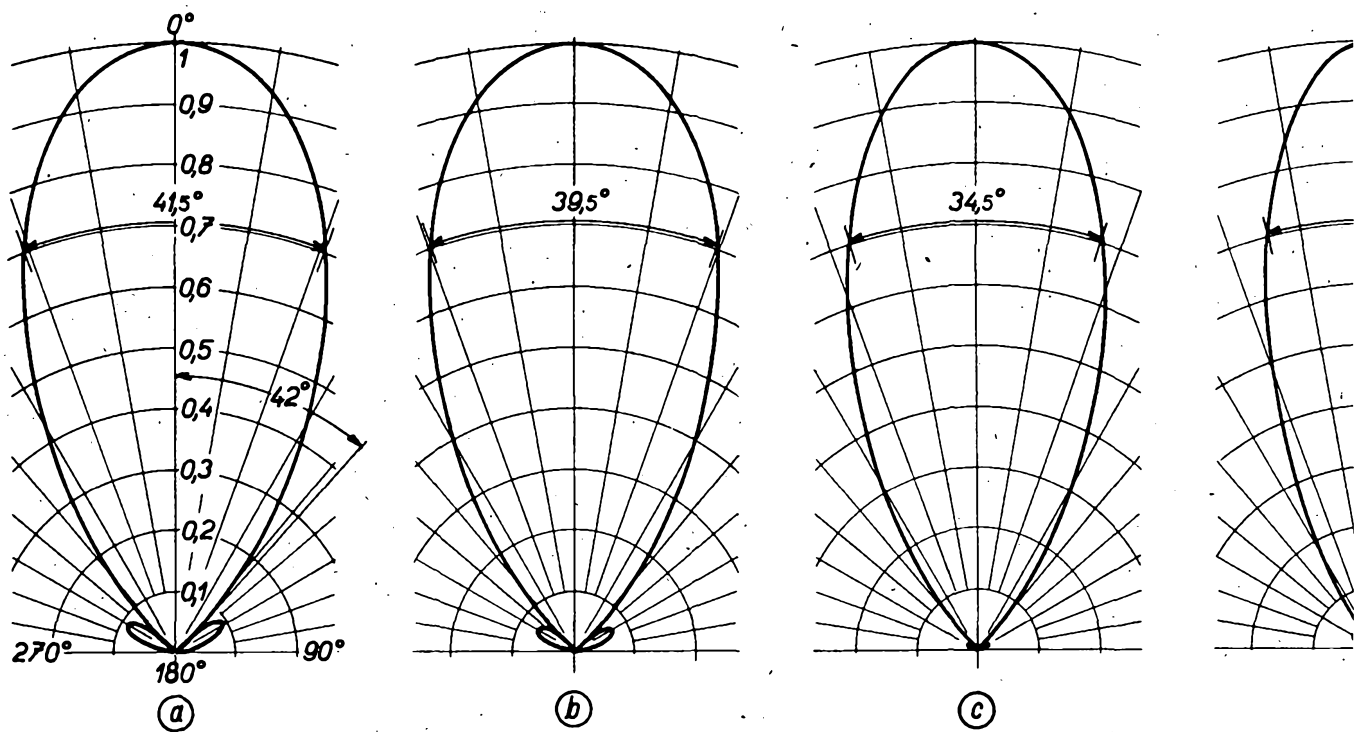
Pro $S_E$	je přírůstek a	součinitel
0	0, dB	1,0
$0,25\lambda$	$0,2$ dB	1,023
$0,5\lambda$	$0,7$ dB	1,083
$0,75\lambda$	$1,4$ dB	1,175
$1,0\lambda$	$2,1$ dB	1,274
$2,0\lambda$	$1,8$ dB	1,230

Údaje ovšem platí jen pro uvedenou anténní soustavu na daném kmitočtu, případně pro anténní soustavu složenou z takových základních antén, jejichž směrové vlastnosti jsou shodné se směrovými vlastnostmi TV přijímací antény typu 12Y 1,8–0,92.

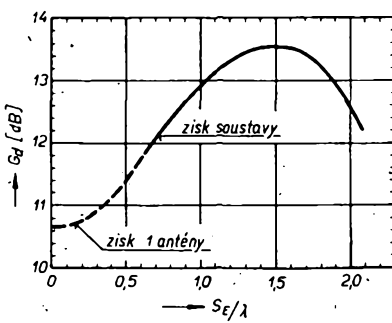
Podobně by bylo nutno upravit i diagram na obr. 40c, v němž by maximum soustavy mělo mít velikost 1,38, protože proti základní anténě – dipolu  $\lambda/2$  – jde o přírůstek 2,8 dB. V tomto případě jde o všem o skutečný zisk, protože základní anténou je dipol  $\lambda/2$ , který je, jak víme, referenční anténnou při praktickém udávání zisku.



Obr. 41. Směrové diagramy dvojic všesměrových zářičů, soufázov



Obr. 42. Směrové diagramy dvoučlenných anténních soustav, sestavených ze dvou soufázově napájených TV přijímacích antén (typ 12Y 1,8-0,92), umístěných vedle sebe, pro  $S_E = 0; 0,25\lambda; 0,5\lambda; 0,75\lambda; 1\lambda; 1,5\lambda$  a  $2\lambda$

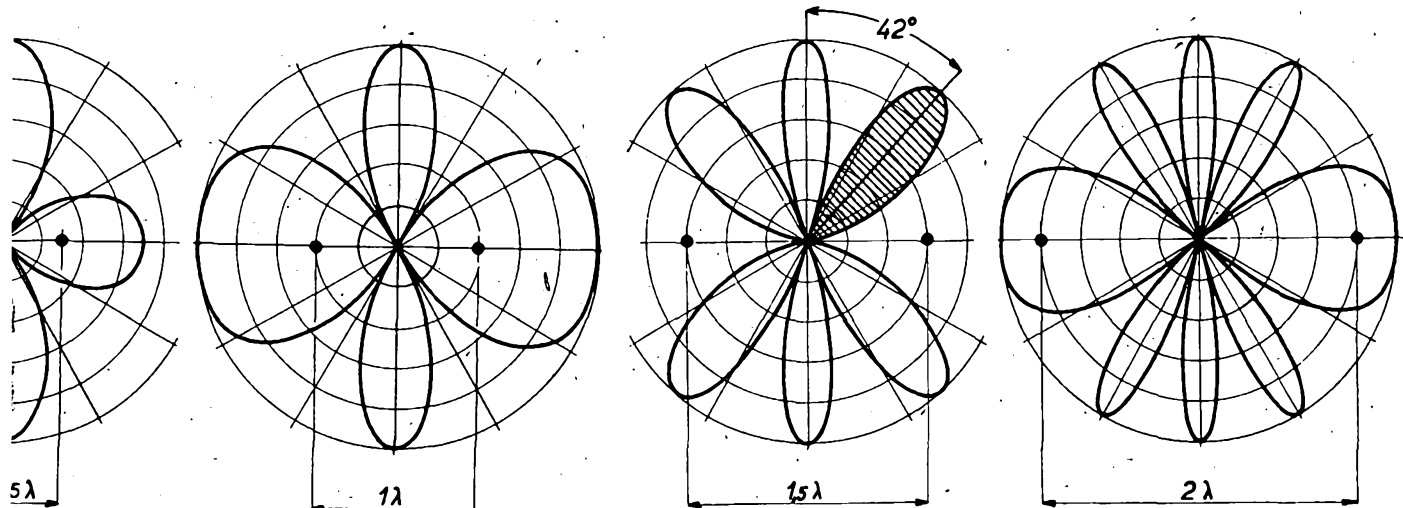


Obr. 43. Křivka zisku dvojice antén podle obr. 42 pro různé vzdálenosti  $S_E$

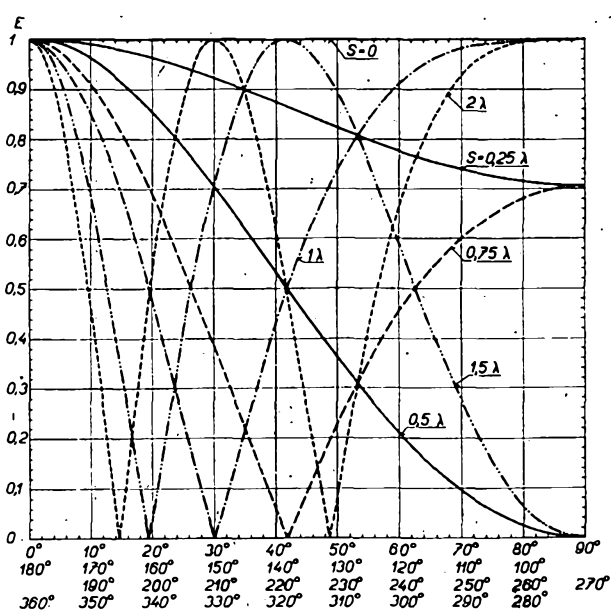
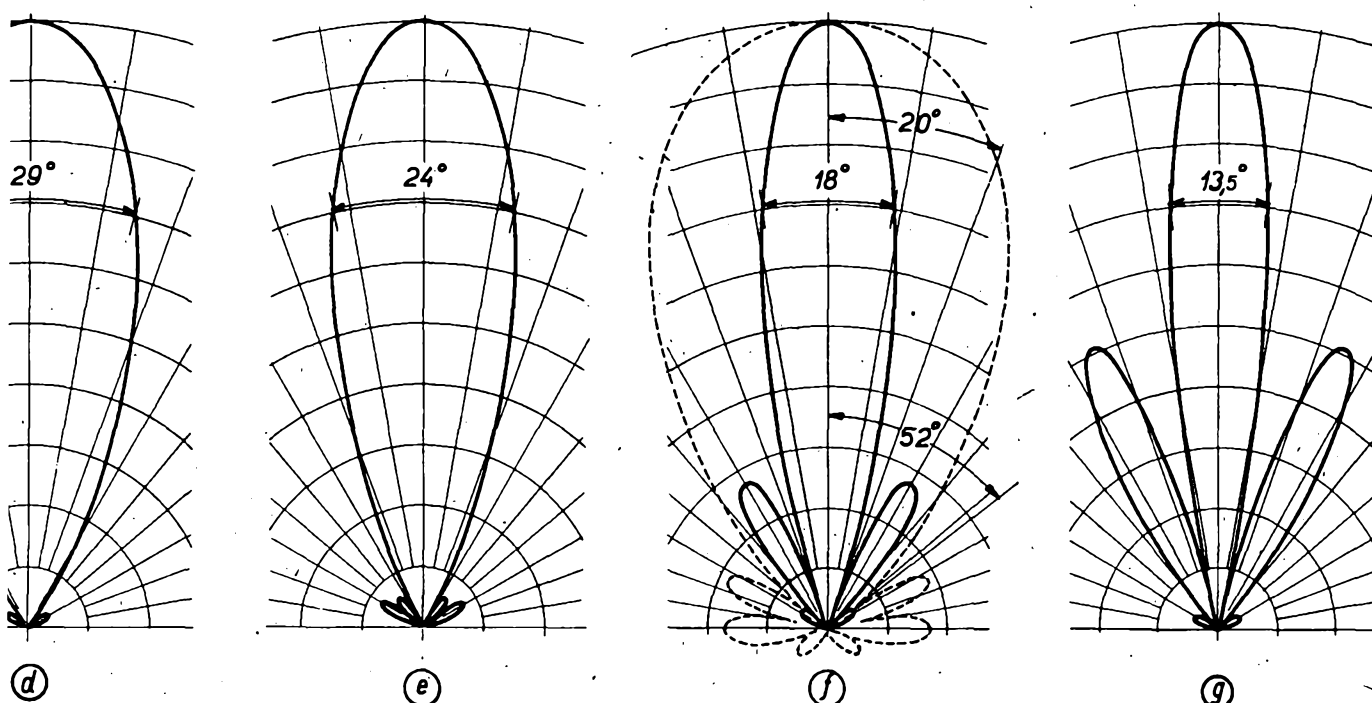
Pro přesný výpočet tvaru směrových diagramů dvoučlenných anténních soustav, jejichž jednotlivé antény jsou napájeny se stejnou amplitudou a fází, jsou příslušné údaje směrových funkcí nakresleny na obr. 44. Protože jde o směrové diagramy souměrné kolem svíslé ( $0^\circ$  až  $180^\circ$ ) a vodorovné ( $90^\circ$  až  $270^\circ$ ) osy, postačí průběhy mezi  $0^\circ$  až  $90^\circ$  pro určení celého diagramu. Pomoci tohoto diagramu tedy můžeme určit tvar směrového diagramu až čtyřčlenných (dvě dvojice nad sebou) anténních soustav. Pro výpočet vícečlenných anténních soustav (více než dvoučlenných v jedné rovině záření) je nutno velikosti směrových funkcí odpovídající řady všesměrových zářičů vypočítat podle informací uvedených v [5], [38], [39], [40]. Ovšem u čtyřčlenných soustav (tentokrát míňně čtyři jednotlivé antény v jedné rovině) lze postupovat též tak, že nejdříve vypočteme směrový dia-

gram dvoučlenné anténní soustavy, kterou budeme v dalším považovat za jednu ze dvou základních „antén“ soustavy, a opakováním postupem dojdeme k výslednému diagramu celé čtyřčlenné soustavy. Vzájemná vzdálenost je potom ovšem vzdálenost mezi středy obou dvojic základních antén soustavy. Stejným způsobem je pochopitelně možné postupovat i při jiných složitějších anténních soustavách.

Obr. 44. Směrové diagramy dvojice soufázově napájených všesměrových zářičů podle obr. 41, použitelné k výpočtu směrového diagramu jednoduchých anténních soustav



je napájených, pro  $S = 0; 0,25\lambda; 0,5\lambda; 0,75\lambda; 1\lambda; 1,5\lambda; 2\lambda$



**POZOR!**  
V letošním ročníku AR řady B se mění proti loňskému roku data vycházení jednotlivých čísel takto:

AR řady B č. 1 vyjde podle harmonogramu výroby

č. 2	20. 1.,
č. 3	17. 3.,
č. 4	26. 5.,
č. 5	21. 7.,
č. 6	15. 9.,
	24. 11.

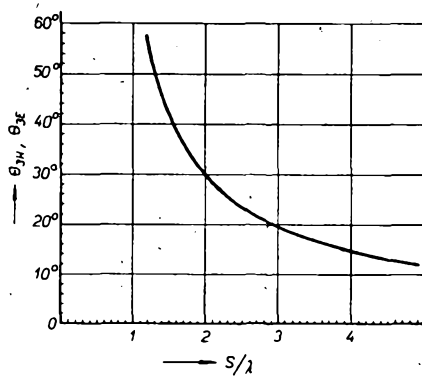
Císla budou věnována zajímavým a praktickým zapojením (č. 2), operačním zesilovačům, mikroprocesorům a co s nimi, spínáným stabilizovaným zdrojem atd.).

Redakce

## Stanovení rozměrů anténních soustav

Pokud je při konstrukci anténní soustavy vůdčím hlediskem maximální zisk, pak nás v běžné praxi úplný tvar směrového diagramu zajímá až v druhé řadě. Jde nám především o stanovení optimálních rozměrů, tj. o určení vzájemných vzdáleností jednotlivých antén soustavy s ohledem na maximální zisk anténní soustavy. V takových případech lze rozměr soustavy, popř. tyto vzdálenosti určit s dostatečnou přesností z charakteru směrového diagramu základní antény, tj. z polohy (směru) minimálního příjmu k hlavnímu laloku, nebo ze šířky hlavního laloku – čili z velikosti úhlu příjmu. Tyto základní parametry směrové antény by měly ostatně každý popis obsahovat. Zhruba lze vzájemnou vzdálenost základních antén soustavy určit i z jejich rozměrů (u Yagiho antény z její celkové délky).

Na obr. 45 je vyjádřen vztah mezi optimální vzájemnou vzdáleností Yagiho antény v anténní soustavě v závislosti na poloze (směru) prvního minima základní antény soustavy. Vychází se zde z poznat-



Obr. 45. Optimální vzdálenost  $S$  dvou antén tvořících soustavu v závislosti na úhlu příjmu – záření ( $\theta_0$ ), popř. na úhlu (směru) prvního minima jedné z antén soustavy. (Předpokládá se úhel příjmu nebo úhel prvního minima v rovině řazení)

ku, že optimální vzájemná vzdálenost jednotlivých antén soustavy je rovna vzájemné vzdálenosti odpovídající řadě vše-směrových zářičů, při níž se shoduje směr (úhel) maxima prvního postranního laloku (na obr. 41f je tento postranní lalok vyšrafován) směrového diagramu této řady vše-směrových zářičů se směrem (úhlem) prvního minima směrového diagramu základní antény soustavy. Cím má tedy základní anténa soustavy užší hlavní lalok, tím blíže směru  $0^\circ$  leží tato oddělující minima a tím větší musí být vzájemná vzdálenost jednotlivých antén, aby bylo dosaženo maximálně možného zisku. Nově vzniklé postranní laloky u takto navržené anténní soustavy jsou potlačeny zhruba o 10 dB proti laloku hlavnímu.

Ze směrového diagramu TV přijímací antény na obr. 41a lze pro směr prvního minima přečíst úhel  $42^\circ$ . Směru  $42^\circ$  pak na obr. 45 odpovídá optimální vzdálenost  $1,5 \lambda$ , což je vzdálenost dvou horizontálně polarizovaných antén vedle sebe. Vycházeli jsme totiž z horizontálního diagramu základní antény, popř. z diagramu v rovině prvků (rovina E).

Na obr. 41f je čárkovaně zakreslen směrový diagram stejné antény v rovině vertikální, tj. v rovině kolmé na rovinu prvků (rovina H). První minimum je zde odchýleno od směru  $0^\circ$  o  $52^\circ$ . Z obr. 45 přečteme pro  $52^\circ$  optimální vzdálenost mezi horizontálně polarizovanými antény nad sebou  $1,25 \lambda$  (tj. řazenými v rovině vertikální). Potřebná optimální vzdálenost je tedy o něco menší než v případě předchozím. Souvisejí to se zákonitou vlastností Yagiho antény, jejiž směrový diagram (úhel příjmu) v rovině prvků (rovina E) je vždy užší, než v rovině kolmé na rovinu prvků (rovina H). Rozdíl mezi úhly příjmu v obou rovinách je tím menší, čím je anténa delší. U antén delších než 4 až  $5 \lambda$  je možno prakticky považovat úhly v obou rovinách za shodné, tzn. že mohou být shodné vzdálenosti při řazení antén v obou rovinách.

V jakém vzájemném vztahu jsou úhly příjmu v obou rovinách u různě dlouhých Yagiho antén je vidět z obr. 11: Závislosti vyznačené dvěma křivkami platí s dostatečnou přesností jen pro „optimální“ Yagiho antény, tj. pro antény „naladěné“ na maximální zisk tak, že plati závislost zisku na délce Yagiho antény podle obr. 9. Případné odchylky mohou být způsobeny různým naladěním direktorů, jímž lze (jak již víme) ovlivnit velikost postranních laloků. Při stejně délce antény a stejném zisku lze totiž např. postupným zkracováním direktorů zmenšit postranní laloky za cenu rozšíření laloku hlavního. Při tom však totat anténa opatřena shodnými (stejně dlouhými) direktory může mít stejný zisk, avšak její směrový diagram je užší, zatímco její postranní laloky jsou „normální“, v průměru jen asi 10 dB pod úrovní laloku hlavního. Za těchto okolností má tedy závislost na obr. 11 spíše význam informativní: Vyznačené průběhy platí pro Yagiho antény se středně potlačenými postranními laloky, které se v praxi vyskytují nejčastěji. Zákonitý průběh směrového diagramu Yagiho antény, pracující v oblasti maximálního zisku, umožňuje stanovit s dostatečnou přesností optimální rozměry soustav, sestavené z takových antén, těž z šířky hlavního laloku, tj. z velikosti úhlu příjmu. U Yagiho antény, pracující v kmitočtové oblasti maximálního zisku, je totiž první minimum odchýleno od směru  $0^\circ$  o úhel, rovnající se prakticky úhlu příjmu této antény. Proto lze použít vztah na obr. 11 i k určení optimální vzdálenosti mezi anténami, známe-li úhel příjmu základní antény soustavy. Velikosti úhlů na svislé stupni tedy označují bud směr (úhel) prvního minima, nebo úhel příjmu základní antény soustavy. V praxi je výhodnější vycházet z úhlu, odpovídajícího směru prvního minima základní antény, který můžeme amatérskými prostředky určit snáze a přesněji, než úhel příjmu ( $\theta_0$ ).

Vzhledem k vzájemné souvislosti mezi ziskem a délkou Yagiho antény, tzn. též mezi délkou a úhlem příjmu, lze zhruba odhadnout potřebnou vzdálenost základních antén soustavy i z celkové délky Yagiho antény. K informativnímu zjištění použijeme postupně grafy na obr. 10 (délka antény, úhel příjmu) a na obr. 45 (úhel příjmu, optimální vzájemná vzdálenost).

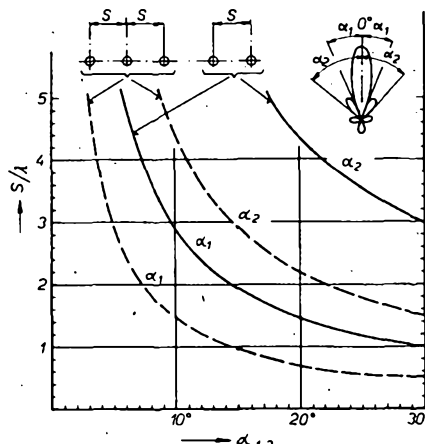
S ohledem na rychle se zvětšující postranní laloky při překročení optimální vzdálenosti  $S/\lambda$  je v praxi výhodnější volit vzájemnou vzdálenost dílčích antén poněkud menší (o 10 až 20%), než jaká vychází podle křivky na obr. 45. Tomu odpovídající zmenšení zisku je ještě zanedbatelné, jak je ostatně patrné z obr. 43. Rozměry anténní soustavy, popř. vzájemné vzdálenosti jednotlivých antén soustavy, stanovené některým z výše uvede-

ných způsobů, platí jak pro dvoučlenné, tak i vícečlenné anténní soustavy. U vícečlenných anténních soustav jsou vzájemné vzdálenosti antén stejné a při jejich určení vycházíme opět ze známých parametrů základní antény podle uvedeného způsobu.

Ostatně se o tom můžeme přesvědčit na našem příkladě s TV anténami. Kdybychom chtěli dále zlepšit v horizontální rovině směrové účinky dvojice TV antén podle obr. 41f jejím dalším zdvojením, použijeme opět graf na obr. 43, odkud pro úhel  $20^\circ$  (to je směr prvního minima naší anténní soustavy podle obr. 41g) zjistíme, že optimální vzdálenost středu obou dvojic musí být  $3\lambda$ , takže mezi všemi čtyřmi dílčími anténami je vzájemná vzdálenost stejná a rovná  $1,5\lambda$ .

Snažíme-li se anténní soustavou odstranit nebo změnit rušení, dopadající na anténu ze směru jen málo odlišného od směru k přijímané stanici (jak je to vysvětleno na str. 16), zjímá nás vzdálenost jednotlivých antén soustavy, pro kterou se v daném směru vytváří nula (minimum) ve směrovém diagramu soustavy. Úhel tohoto minima ( $\alpha_1$ ), měřený od směru maximálního příjmu ( $0^\circ$ ) je určen vzájemnou vzdáleností antén, popř. vzájemnou vzdáleností odpovídající řadě vše-směrových zářičů, jejiž směrovou funkcí se násobí směrový diagram základní antény.

Směr (úhel  $\alpha_1$ ) těchto minim (nul) je pro dvou až tříčlennou řadu (anténní soustavy) v závislosti na vzdálenosti  $S$  ( $S_E$  nebo  $S_H$ ) určen grafem na obr. 46. Graf poskytuje výchozí informaci pro návrh anténní soustavy, potlačující rušení v rozsahu úhlů  $\pm 3$  až  $\pm 30^\circ$ . Tak např. požadujeme-li



Obr. 46. Úhel (směr) prvního minima (nula) dvou a tříčlenné anténní soustavy pro různou vzdálenost  $S$  jednotlivých antén soustavy. Podle křivek lze navrhnut anténní soustavu potlačující rušení ze směru  $\pm 3$  až  $\pm 30^\circ$ .

nulu ve směru  $\alpha_1 = 10^\circ$ , použijeme dvojici libovolných antén ve vzájemné vzdálenosti  $S_E = 2,88\lambda$ , nebo trojici antén vzdálených navzájem  $1,44\lambda$ . Při současném požadavku na optimální zisk ve směru  $0^\circ$  musíme vhodně volit délku základní antény soustavy, tj. volit takovou anténu, pro niž je vzdálenost  $S$ , zjištěná z grafu na obr. 46, optimální i z hlediska zisku.

Pomocí grafu na obr. 45 a pak na obr. 11 zjistíme, že dvoučlennou soustavu lze např. sestavit z antén, které mají při maximálním zisku úhel příjmu  $\Theta_{SE} = 20^\circ$  a délku  $L_c = 7\lambda$ . Pro tříčlennou soustavu vybereme Yagiho antény, které mají  $\Theta_{SE} = 43^\circ$  a  $L_c = 1,6\lambda$ . Z rozměrové tabulky

(tab. 2) by těmto požadavkům odpovídaly např. antény G a H; popřípadě i jiné typy antén s požadovaným úhlem  $\Theta_{SE}$ . (Dosud uvedené zásady a principy pro sestavování anténních soustav platí obecně a nejsou tedy omezeny jen na Yagiho antény).

Pro úplnost upozorňujeme na jeden fakt, vyplývající názorně i z obr. 46. Směr minim není dán počtem soufázově napájených jednotlivých antén soustavy, ale celkovým rozměrem soustavy, který je v obou případech  $2,88\lambda$ . Požadovaný směr prvního minima  $\alpha_1 = 10^\circ$  tedy získáme i řadou šesti dipólů  $\lambda/2$  se vzdálostí středů

$$S_E = 0,576\lambda (5 \times 0,576 = 2,88\lambda)$$

Zisk takové antény by byl ovšem menší. Údaje zjištěné z obr. 46 pochopitelně platí i pro řazení antén nad sebou; konstrukčně jednodušší uspořádání několika antén nad sebou je možné využít k omezení místního rušení (průmyslové poruchy, zapalování apod.), které na přijímací anténu dopadá pod poměrně malým elevačním úhlem. Optimální „dosměrování“ antény v těchto případech někdy vyžaduje malý náklon nebo záklon stožáru.

Zmíněný způsob potlačení nežádaných signálů jednoduchou anténní soustavou je jedním z mnoha, které umožňuje realizovat tato nejjednodušší soustava. Charakter šíření velmi krátkých vln, a zvláště pak ve výškově členité a sídlišti zástavbě, vytváří často velmi komplikované, běžnými prostředky neřešitelné příjmové podmínky, které znehodnocují nebo zcela znemožňují příjem barevného, ale i černobílého televizního signálu. V řadě případů je však možné příjem zlepšit. Nutným předpokladem je však především pečlivý průzkum příjmových podmínek v místě předpokládaného a možného umístění antén, a pak volba a realizace vhodné metody „odrušení“. Jde o práci časově velmi náročnou, vyžadující znalost i zkušenosti. Zájemci najdou některá řešení „protiporuchového“ příjmu v obsahlém článku [35].

Pokud se touto problematickou nebudou moci vážněji zabývat montážní organizace, zůstane odstranění nekvalitního příjmu záležitostí iniciativních a dostatečně kvalifikovaných pracovníků amatérských; alespoň do té doby, než se dočkáme kabelových rozvodů nebo přímého družicového vysílání.

## Praktické využívání anténních soustav

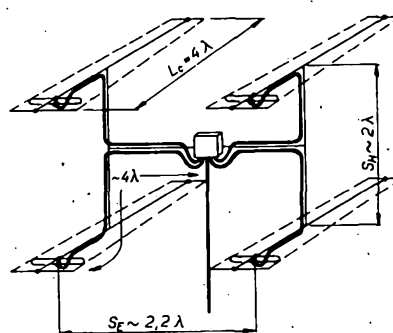
Z předchozí kapitoly víme, že se použitím anténních soustav snažíme vyřešit dva problémy: jednak zvětšit zisk a jednak potlačit nežádoucí odrazy či rušivé signály na kmitočtu přijímaného TV vysílače. Zatímco první aspekt, zvětšení zisku, se většinou přečerpuje, tak druhý, potlačení příjmů z nežádoucích směrů, se většinou nedočceňuje. Všimneme si nejprve prvního případu.

Víme, že optimálním uspořádáním dvou stejných antén můžeme teoreticky získat maximální přírůstek zisku  $3\text{ dB}$ . Každé další zdvojení pak teoreticky přináší další zisk  $3\text{ dB}$ . Předpokladem pro maximální přírůstek zisku však je:

- optimální vzájemná vzdálenost jednotlivých antén tvořících soustavu,
- dokonalé sfázování antén soustavy,
- bezezrátové napájení jednotlivých antén soustavy a přizpůsobení celé soustavy,
- dostatečná homogenita přijímaného elektromagnetického pole v prostoru zaújimaném anténní soustavou.

Problematická není optimální vzdálenost, která ostatně ani není příliš kritická. Rovněž soufázové napájení lze při shodnosti antén a pečlivé instalaci napájecí. zaručit. V praxi se však přehlíží vliv útlumu napájecí jednotlivých antén soustavy a homogenita pole v místě příjmu.

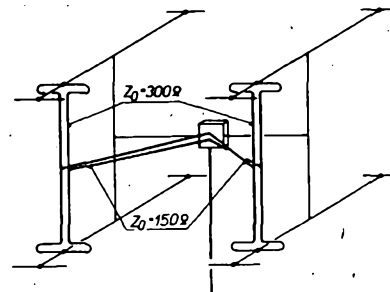
Útlum běžných napájecí je třeba brát v úvahu zejména na V. pásmu a jeho nejvyšších kanálech. Při napájení souosým kabelem se zpravidla používá typ s pěnovým dielektrikem VFKV 630, popř. VFKV 633 (nové označení VCCOY 75-5,6 a VCCOD 75-5,6, viz AR řady B, č. 6/1981). Na 750 MHz byl naměřen útlum 24 dB/100 m, tj. asi  $0,25\text{ dB}$  na 1 m. Pro napájení jednotlivých antén soustavy složené ze čtyř antén typu 17Y 4,1 (anténa G) nebo 20Y 4 (anténa F) potřebujeme při jejich uspořádání podle obr. 47 kabel



Obr. 47. Napájení jednotlivých antén čtyřčlenné soustavy souosým kabelem. Většinou jde o napájení aperiodické

fyzikální délky 14 až  $15\lambda$ , což na 750 MHz je asi 5,5 až 6 m. Jen útlumem kabelu se třeba redukuje maximální teoretický přírůstek zisku o  $1,5\text{ dB}$ . K této ztrátě je třeba dále připočítat útlum symetrikačních členů, kterými musí být při tomto způsobu napájení každá anténa opatřena, plus další ztráta  $0,5\text{ dB}$ , způsobená vzájemnou vazbou antén a jinými nekontrolovanětelnými vlivy. Výhodou dobré provedeného souosého napájení jednotlivých antén soustavy je však jeho mechanická i klimatická odolnost a dlouhodobá stabilita parametrů. Nevhodnou je potřeba symetrisace u každé antény a malá výstupní impedance v místě spojení napájecí ( $75 : 4 = 18,75\Omega$ ). Zpravidla se však do tohoto místa zapojuje anténní zesilovač, nebo filtr, jehož vstupní obvody lze impedanci antény přizpůsobit. Řešením je i transformátor  $1/4$  ze dvou paralelních kabelů  $75\Omega$  (impedance  $37,5\Omega$ ), který impedanci  $18,75\Omega$  bez ztrát přefotografuje znova na žádanou, tj.  $75\Omega$ . Nejde ovšem o transformaci širokopásmovou, což zpravidla nevadí, protože se při dálkovém příjmu či komunikaci soustředujeme obvykle na užší pásmo. Spojení jednotlivých antén  $300\Omega$  soustavy souměrnými napájecími, dvoulinkami typu VFSP 510 (plochý typ) nebo VFSV 515 (oválný typ); nové označení PLE 300-S a PLCNE 300-5,6; je v hlediska ztrát útlumem poněkud výhodnější. Útlum napájecí VFSV 515 (oválný typ) je na 750 MHz  $19\text{ dB}/100\text{ m}$ , není tedy o mnoho menší, než jaký má v předchozím uspořádání uvažovaný souosý kabel VFKV 630 s pěnovým dielektrikem. Délka souměrných napájecí však bývá kratší (nejkratší spojení antén). Odpadají jednotlivé symetrikační obvody u každé antény a výstupní impedance je žádaných  $75\Omega$ . Převažují však nesnáze jiné. Útlum souměrných nestisněných na-

pájecí je ovlivňován klimatickými vlivy krátkodobými (děš, námraza) i dlouhodobými (trvalé zvětšení útlumu znečištěním povrchu). A dále – pokud se nevěnuje dostatečná pozornost mechanickému upevnění souměrných napájecí, jejich vodiče se po delší či kratší době přeruší (kmitáním) bez zjevného vnějšího poškození. Plochý typ dvoulinky je v tomto případě méně odolný než oválný. Za cenu obtížnější konstrukce je z hlediska ztrát nejvyhodnější řešení podle obr. 48. Anté-



Obr. 48. Napájení jednotlivých antén čtyřčlenné soustavy souměrným vedením. Výhodné je v tomto případě vedení laděné

ny spojujeme perforovanou dvoulinkou VFSP 510 nebo vzdutným vedením o impedanci  $300\Omega$  nejkratším způsobem.

Pro  $300\Omega$ , popř.  $150\Omega$  je poměr průměrů vodičů k jejich osové rozteči při vzdutném dielektriku  $1 : 6$ , popř.  $1 : 2$ . Mechanickou realizaci souměrných vzdutných napájecí usnadňuje použití laděného napájení, o kterém bylo podrobнě referováno v předchozí kapitole. Elektrická délka laděného vedení se vzdutovým dielektrikem se teoreticky shoduje s délkou fyzikální, v praxi však počítáme se zkrácením  $3$  až  $5\%$  ( $k = 0,95$  až  $0,97$ ), kterým se kompenzují párázitní kapacity, vyskytující se zvláště na koncích vedení, v místě připojení antény či ostatních napájecí. Zkrácení záleží značně na vlastním provedení; zejména pokud jde o nejvyšší příjímané kmitočty.

Na distanční rozpěrky napájecí používáme co nejtenčí izolační materiály. Pro dokonalou symetrii vedení  $150\Omega$  k společnému napájecímu bodu (zesilovači) podle obr. 48 je třeba, aby spojnice společných bodů obou napájecí ( $150\Omega$  a  $300\Omega$ ) byla orientována kolmo ke směru, kterým pak vede me napájecí  $150\Omega$ . Proto musíme rovinu napájecí  $300\Omega$  do tohoto směru z obou konců u antén plynule natáčet. Pak nebude obtížné zaručit shodné délky obou vodičů úseků  $150\Omega$ .

Kdo se chce vyhnout obtížnější realizaci neladěného vzdutného vedení  $150\Omega$ , může použít vedení laděné s větší impedancí. Jinak je možné realizovat vedení  $150\Omega$  také pomocí dvou „paralelních“ stejně dlouhých kusů souosého kabelu  $75\Omega$ , jejichž stínění na koncích propojíme a vnitřní vodiče připojíme jako konce napájecí symetrického. V tomto případě ovšem musíme opět počítat s útlumem všech kabelových úseků.

Existuje pochopitelně celá řada dalších variant napájení jednotlivých antén anténních soustav. Věříme, že si s nimi

zájemci poradí sami po prostudování uvedených informací.

Závěrem si opět stručně shrneme uvedené poznatky a pokyny. Napájení jednotlivých antén souosým kabelem sice redukuje maximální přírůstek zisku, je však bezporuchové a nezávislé na klimatických vlivech. Napájení symetrickými napáječi může mít menší útlum, protože napáječe bývají kratší, je však méně odolné vůči vnějším vlivům a jeho řešení je konstrukčně obtížnější; útlum vzdušného vedení bývá nepatrny.

Napájení souosým kabelem proto užíváme tehdyn, řešíme-li otázku nerušeného příjmu, napájení dvoulinkou s co nejkratšími úsekami připojovací na maximální zisk soustavy v V. pásmu, v němž je útlum běžných napáječů již značný.

**Homogenita elektromagnetického pole** v místě příjmu je druhým opomíjeným hlediskem při praktickém používání anténních soustav a rozměrných antén vůbec. Pokud není zaručeno, že v prostoru zaujímaném anténní soustavou je homogenita pole dostačná, nezískáme předpokládaný energetický přírůstek, který by jinak dobré navržená a konstrukčně vyřešená anténní soustava měla zaručit. Aby celá soustava měla maximální zisk, musí přijímané elektromagnetické vlny dopadat na každou jednotlivou anténu soustavy se stejnou fazou a amplitudou. Nároky na homogenitu elektromagnetického pole vyplývají např. z mezinárodních doporučení IEC i našich ČSN o podmínkách měření antén na UKV a UKV, kde se v kapitole o podmínkách měření směrových vlastností antén na měřicím pracovišti (jmenovitě při měření zisku) stanoví maximálně 0,5 dB pro kolisání napětí na zkušebním dipólu, kterým se při měření prověřuje prostor zaujímaný měřenou anténu. Pokud je tato podmínka splněna, lze na takovém místě měřit zisk s přesností 0,5 až 1 dB. Pokud tato podmínka splněna není, jsou měření zatížena většími chybami. Proto i v našem případě je pro využití energetického přenosu rozumné anténní soustavy žádoucí dostačná homogenita elektromagnetického pole. Pokud tomu tak není, pak se přírůstek zisku řazením antén v praxi zmenší a i správně navržená a provedená anténní soustava se může jevit jako horší, než anténa jediná.

Homogenita pole bývá ovlivňována zejména nejbližším okolím, tj. výškou antény nad členitou střechou, vzdálenostmi nejbližších staveb, vodiců, stožárů, ale i jinými, často nevysvětlitelnými vlivy. Proto platí zásada – čím rozměrnější anténa, tím výše by měla být umístěna.

K uvedeným vlivům je třeba přihlédnout při laickém hodnocení, nebo lépe, při praktickém porovnávání různých typů antén v určitém místě. **Vlivem místních podmínek se může objektivně lepší anténa jevit jako horší než anténa s menším ziskem.** Ze stejného důvodu může být v určitém místě značný rozdíl mezi dvěma typy antén se shodným ziskem (např. plošná anténa soufázová a anténa Yagiho).

Homogenita pole (a její charakter) je většinou kmitočtově závislá, někdy i tak výrazně, že působí značné rozdíly v příjmu obrazového a zvukového signálu téhož kanálu anténu, která má v rozsahu přijímaného kanálu v praxi konstantní zisk. Změny v homogenitě pole mohou mít i sezónní charakter (rozdíly v olistení stro-

mů, změny porostů) a jsou závislé i na počasí (sněhová pokryvka, vodní plochy na zemi i na rovných střechách apod.). Problematiku homogenity nelze ovšem zaměňovat s kolísáním signálu změnou podmínek šíření vlivem počasí! Uvedené vlivy se projevují jak u slabých, tak u silných signálů. Pro názornější představu uvádíme v následující kapitole méně obvyklou formou výklad pojmu homogenita, formou výklad pojmu homogenita.

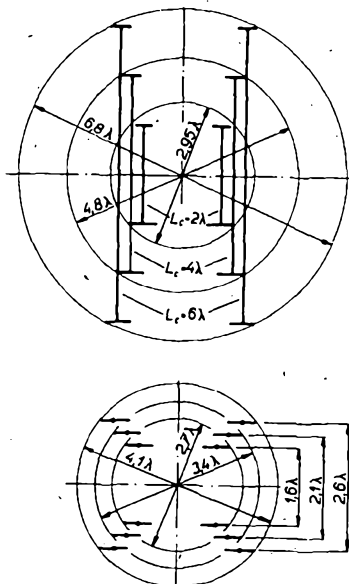
## O homogenitě prostředí trochu jinak

Pro názornější představu o vlivu často zmiňované homogenity elektromagnetického pole v místě příjmu na účinnost přenosu energie si pomůžeme příkladem z jiné oblasti. Lopatkové vodní kolo je primitivní a jednoduché zařízení na „příjem“ kinetické energie vodního toku. Generátor elektrického proudu připojený hřídeli ji mění na energii elektrickou. Získaný elektrický výkon je závislý na kvalitě a parametrech technického zařízení a na mohutnosti vodního toku. Je jasné, že za daných podmínek jsou vlastnosti lopatkového kola (v našem případě antény) rozhodující pro množství získané energie. Čím větší je účinná plocha lopatky, popř. čím více lopatek „zabírá“ do vodního toku, tím více energie lze „příjmat“. Teoreticky by mohla  $n$ -členná soustava lopatkových kol, upevněných na společném hřidle (soufázové napájená anténní soustava) zvětšit vyráběný výkon  $n$ -krát. Ovšem za předpokladu, že hustota i rychlosť vodního toku je v celém profilu zasahovaném lopatkami stejná. O hustotě to říci lze, ale rychlosť se může z různých důvodů značně měnit. Za určitých podmínek vznikají v každém řečišti zpětné proudy. V tom případě se na energetickém přenosu nepodílejí všechna kola stejně. Některá dokonce pracují proti sobě, jak je patrné z obr. 49a. Výsledný efekt pak neodpovídá teoretickým předpokladům, pokud s tímto jevem nepočítají, a neodpovídá tedy ani nákladům vynaloženým na takovou soustavu. Jistá analogie s homogenitou toku elektromagnetické energie v místě zaujímaném  $n$ -člennou anténní soustavou je tedy zjevná, i když si toto přirovnání nečiní nárok na přesnost. Aby se investice do soustavy lopatkových kol vyplatila, je třeba prověřit vlastnosti vod-

ního toku v místě „příjmu“, a pak případně zvolit místo jiné, nebo soustavu přizpůsobit místním podmínkám. Totéž platí i v případě anténní soustavy. Jedno kolo (jedna anténa) může být v daných podmírkách i výhodnější, než nákladná soustava kol (antén).

Avšak i u jednoduché antény je třeba s vlastnostmi prostředí počítat. Analogie s homogenitou vodního toku pomůže v tomto případě i zde (obr. 49b). Zasahují-li totiž lopatky jediného použitého kola např. do oblasti zpětných spodních proudu, získává se menší výkon, než při užití lopatek o stejné ploše, ale s jinou kombinací plošných rozměrů. Analogicky – dvě antény se stejným ziskem, avšak tvarově odlišné mohou v daném místě vykazovat rozdílné účinky, např. plošná anténa soufázová a dlouhá Yagiho anténa.

K jistému zhodnocení efektivnosti různých anténních soustav přispívá obr. 50, na němž je v poměrném měřítku schema-



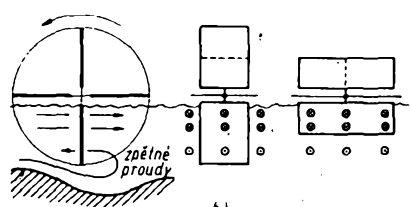
Obr. 49. Přenos energie ovlivňuje homogenitu vodního toku

ticky znázorněno uspořádání tří anténních soustav sestavených ze čtyř antén o délce  $2\lambda$ ,  $4\lambda$  a  $6\lambda$ . Předpokládáme-li maximální zisk antén podle křivky na obr. 9, tj. 12 dB, 14 dB a 15 dB, a maximální teoretický přírůstek 6 dB pro čtyřnásobnou soustavu, pak teoretické rozdíly v zisku soustav zůstávají stejně jako vzájemné rozdíly v ziscích jednotlivých antén a jsou tedy 2 dB, 3 dB a 1 dB. Útlum napáječů jednotlivých antén však skutečný rozdíl zmenší, jak je vidět z údajů v tab. 6.

Tab. 6.

$L_c$	$G_s$ [dB]	$S - \frac{S}{2}$ [dB]	$G_{max}$ [dB]	Útlum napáječů [-0,5 dB]	$G_{kut.}$ [dB]	$a_1$ %	$a_2$ %	$d_1$ %	$d_2$ %
$2\lambda$	12	1.6	18	1.2 dB	16.8	2.95	2.7	0.91	
$4\lambda$	14	2.1	20	2.0 dB	18.0	4.8	3.4	0.71	
$6\lambda$	15	2.6	21	2.5 dB	18.5	6.8	4.1	0.6	

Údaje platí pro délky napáječů typu VFKV 630 potřebné na 750 MHz. Jde tedy o napájení souosým kabelem. Jak je vidět, větší útlum delších napáječů u delších antén redukuje přírůstek zisku, takže výsledné rozdíly v ziscích soustav jsou jen 1,2 dB, 1,7 dB a 0,5 dB.



Obr. 49. Přenos energie ovlivňuje homogenitu vodního toku

Je účelné vzít v úvahu ještě jedno hledisko. Účinnost prostorových anténních soustav zahrnuje řadu vlivů a závisí i na efektivním využití zabíraného prostoru s ohledem na homogenitu elektromagnetického pole. **Výhodné jsou antény - soustavy s nepřevládajícím rozměrem v jediném směru**, popř. antény zabírající daný prostor ve všech směrech. Z tohoto hlediska se jeví velmi dlouhé antény jako nevhodné. Poměr průměrů kružnic  $d_1/d_2$  uopsaných uvedeným soustavám ve vertikální a horizontální rovině (viz obr. 50b a 50a) by se měl blížit jedničce („tak, aby se soustava dala uzavřít do koule“).

Takže ne každá rozměrná anténní soustava splní naděje v ní kladené; proto je při každém návrhu žádoucí uvážit všechny vlivy.

## Yagiho antény se skupinovými direktory

Anténa s několika řadami direktorů, buzených jediným zářičem, je patrně nejúspěšnější modifikací Yagiho antény. Původně vznikla ve vývojových laboratořích firmy Fuba; bylo to počátkem šedesátých let. Nápadu se chopili renomovaní výrobci TV antén jako Stolle, Bosch, Kathrein, Hirschmann a další, a v různých variantách nabízejí tuto modifikaci i v současné době (obr. 51a až g). V principu jde

Obr. 51a až g jsou na 2. straně obálky

o zjednodušenou anténní soustavu, složenou z několika direktorových řad, buzených jediným, zpravidla celovlnným zářičem. Jak víme, narázíme při realizaci běžných anténních soustav, o nichž jsme hovořili v předchozí kapitole, na problémy spojené s napájením jednotlivých dílčích antén, jejich impedancemi, s montáží i konstrukcí. Tyto a další potíže vedly k vývoji antén se skupinovými direktory. S ohledem na délky prvků a vzájemnou vzdálenost direktorových řad, lze tento typ prakticky realizovat jen u antén pro IV. a V. pásmo, kdy je konstrukčně možné seskupit direktorové řady kolem jediného ráhna. Vzájemné vzdálenosti řad jsou ovšem poměrně malé, takže nelze dosáhnout zisků, které by měly klasické soustavy o stejném počtu optimálně uspořádaných dílčích antén. Vezmeme-li však v úvahu všechny vlivy redukující zisk běžných anténních soustav, jak o nich bylo referováno v předchozí kapitole (ztráty v napájecích, nehomogenita elektromagnetického pole, počet napájených zářic), a v nejposlední řadě i hlediska komerční, pak rozhodně nelze antény se skupinovými direktory považovat jen za produkt konkurenčního boje mezi řadou firem (i když jeho vliv nepochybňuji spolupůsobí), ale za zdařilý kompromis mezi klasickou anténní soustavou a její zjednodušenou variantou určenou pro běžně spotřebitele. Velmi vtipně je především konstrukční řešení, při němž se výrobci předhánějí v nápaditém řešení celé konstrukce i malých detailů. Samozřejmostí je snadné a úplné sestavení celé antény bez použití nástrojů, i za ztižených podmínek na střeše. Překvapující je velmi malá hmotnost, která ani u největších antén s udávaným ziskem 16 až 18 dB nepřesahuje 4,5 kg i s upevnovacím třmenem.

Posuzujeme-li elektrické vlastnosti této antén, pak se maximální zisk (asi 16 až 17 dB) může zdát malý v porovnání

Tab. 7. Zahraniční širokopásmové antény se skupinovými direktory pro IV. a V. pásmo

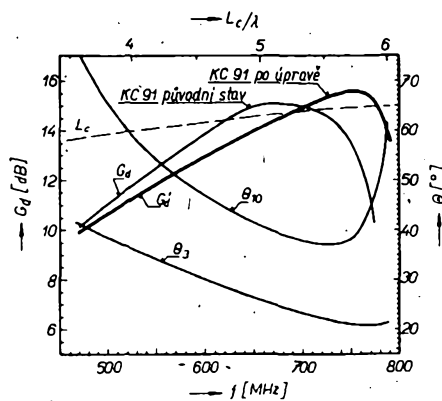
Firma	Typ	Rozsah	$\Theta_{3E}$	$\Theta_{3H}$	$\bar{C}ZP$ [dB]	Zisk [dB]
Kathrein	Olympia 180 AOT 65	K21 až K65	37°–18°	39°–19°	23–32	12–18
Hirschmann	Fesa 418 UN60	K21 až K60	39°–18°	47°–22°	24–32	11–18
Fuba	XC 391 D	K21 až K60	44°–21°	46°–21°	28–31	16
Bosch	/ Ultra-8 S 83 B	K21 až K68	44°–21°	48°–20°	30	10–17,5
Kompass	KC 91	K21 až K60	22°	22°	30	12–17
Stolle	HC 91 CD	K21 až K60	35°–19°			11,5–18

s maximálním ziskem dlouhé Yagiho antény (např. 28Y 7,3–15,2 dB). Zisk však být větší nemůže, protože konstrukčně není možné zvětšit vzájemnou vzdálenost direktorových řad seskupených kolem jediného ráhna tak, aby odpovídala délcce jednotlivých antén soustavy podle křivek na obr. 45, 9 a 10 při současném požadavku na co nejjednodušší konstrukci antény. Pokud by se podařilo vyřešit tento problém, stalo by se patrně zase problematický buzení vzdálených direktorových řad jediným zářičem. Velikost zisku však musíme hodnotit s přihlédnutím k celkové délce antény. Pro jednoduchou Yagiho anténu je 15,5 dB maximum při  $L_c = 7,5$  až  $8\lambda$  (viz závislost na obr. 9). Anténa se skupinovými direktory o stejném zisku může být kratší a tudíž s menšími nároky na homogenitu pole. Zvláště příznivý je poměr  $G_d/L_c$  u kratších antén, u nichž se vzájemně vzdálenosti direktorových řad více blíží vzdálenosti optimální. Zkrácení antén zjednodušuje jejich montáž, místo v těžišti je možné upevnění za reflektorem. Je to výhodné při dodatečné montáži na stožár, kdy není nutné používat výložná ramena.

V tab. 7 jsou shromážděny podstatné údaje několika antén tohoto druhu, jak jsme je převzali z firemních katalogů. Pro srovnání jsou uvedeny jen antény s maximálním ziskem, určené pro celé pásmo UKV. Téměř každá firma nabízí stejně antény i na nižší části pásmo UKV se stejným ziskem. Ty jsou pochopitelně delší. Při měření se ukázalo, že deklarovaných 18 dB zisku je třeba brát s rezervou. Konkurenční boj mezi firmami nutně vede k záměrnému zvětšení zisku, popř. ke závodným údajům u většiny antén.

Nejvíce se uváděným údajům přibližují zisky antén firmy Hirschmann typ FESA 418 UN 60 a jeho varianty (viz obr. 51a, b, c). Jako jediné pracují se čtyřmi samostatnými direktorovými řadami a s poměrně příznivou vzdáleností ve svislé rovině. K účinnému vybuzení všech direktorových řad přispívá několik zvláštních vazebních direktorů v blízkosti zářice.

Zbývá dodat, že u nás se vyrábí a prodává širokopásmová anténa tzv. „X-color“. Jde o výrobek podniku Kovoplast Chlumec n. C., typ KC91 – BL, odvozený z původní antény firmy Fuba. Tato anténa má optimální směrové vlastnosti kolem 660 MHz. Na výšších kmitočtech se již zisk zmenšuje (viz obr. 52). Anténa v této verzi totiž pochází z doby, kdy poslední kanály



Obr. 52. Směrové vlastnosti antény KC91-BL ("X-Color" - Kovoplast) v původním stavu ( $G_d$ ) a po úpravě direktorů ( $G'_d$ ),  $\theta_3$ ,  $\theta_{10}$  – jde o průměrnou velikost úhlů příjmu v obou rovinách)

V. pásmu nebyly obsazeny a anténa se vyráběla v jediném provedení pro IV. a V. pásmo. (V současné době vyrábí Fuba pro celé pásmo UKV tyto antény čtyři, kromě širokopásmového provedení XC 391-D. Její konstrukční provedení je velmi zdařilé a originální. Pozoruhodná je mimořádně nízká hmotnost 3,6 kg.)

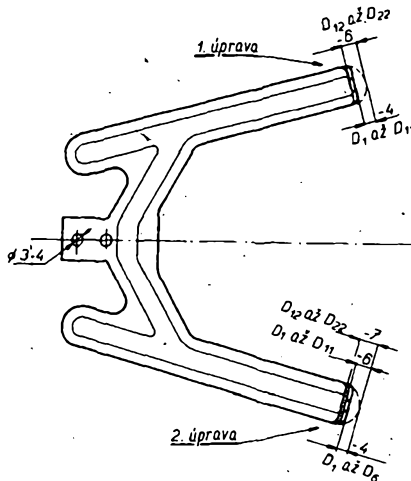
## Úprava antény KC91-BL (X-Color) na celé IV. a V. pásmo

Zisk této antény na obr. 52 se výrazně zmenšuje na nejvyšších kmitočtech V. pásmu. Je to způsobeno především rychlým zvětšováním postranních laloků, zjednodušením vzdáleností řad direktorů v této části pásmu, i když pojmem „délka“ u použitého tvaru pasivního prvku není doslovně výstižný. Jde v podstatě o dvojici direktorů spojených v místě shodné impedance. Zkrácením vnějších konců této dvojice je možné ovlivnit jejich elektrickou délku tak, aby se optimální směrové vlastnosti antény posunuly dále k vyššímu konci pásmá.

Na obr. 53 jsou naznačeny 2 varianty úprav:

1. varianta: direktory  $D_1$  až  $D_{11}$ , zkráťme o 4 mm; tj. odstraníme jen vnější oblouk až k hraničnímu prolisu; direktory  $D_{12}$  až  $D_{22}$  zkráťme o 6 mm; tj. odstraníme téměř celý oblouček vnitřního prolisu; ostré rohy poněkud zaoblíme.

- Vytvářet kádrové a věcné podmínky pro urychlenu aplikaci elektroniky a mikroelektroniky ve všech odvětvích národního hospodářství.
- Ve fyzikálních vědách prohloubovat základní poznatky a využívat jich pro řešení materiálových, technologických i součástkových problémů v oblasti elektroniky, výpočetní techniky a strojírenství a pro efektivnější získávání, přeměnu a využívání energie.



Obr. 53. Doporučená úprava direktorů antény KC91-BL

2. varianta:
- direktory  $D_1$  až  $D_5$  zkráťme o 4 mm (jako i 1. varianty),
  - direktory  $D_6$  až  $D_{11}$ , zkráťme o 6 mm,
  - direktory  $D_{12}$  až  $D_{22}$  zkráťme o 7 mm.

Na obr. 52 je vyznačen průběh zisku po úpravě délky podle druhé varianty. V porovnání s původním stavem se výrazně zvětší zisk, asi o 5 dB, projevuje zejména na úplném konci V. pásmu. Na 750 MHz se zisk zvětší o 1,5 dB. Téměř stejně zvětší zisk na 750 MHz úprava podle varianty 1. avšak navýšení kmitočtech se zisk zmenšuje, takže maximum zisku se neposunuje až na konec V. pásmu. Původní úprava konci skupinových direktorů umožňuje změnit velmi jednoduše rozměry podle varianty 1, bez použití měřítka - i přímo na střeše.

Dvě, popř. tři různé délky upravených direktorů působí větší potlačení postranních laloků (ve shodě s poznatky dříve uvedenými) než v původní úpravě, kdy byly všechny direktory stejně dlouhé. Popsaná úprava (II. varianta) je na 750 MHz, popř. na 790 MHz téměř ekvivalentní dvoučlenné, popř. čtyřčlenné soustavě, složené z původních antén. Na začátku pásmu se zisk nezmenší o více než 0,5 dB díky příznivému působení úhlového reflektoru, kterým lze u Yagiho antén zmírnit zmenšení zisku na nižších kmitočtech, tj. v oblasti, v níž direktory přestávají působit.

Obr. 54 je na 3. straně obálky.

V porovnání s jinými anténami tohoto druhu lze považovat původní i posunuté elektrické vlastnosti antény KC91-BL za příznivé,  $\text{CSV} = 1,6$  v celém pásmu. Méně spokojenosti je s konstrukčním řešením, které za celá léta nedoznalo změn. K se-stavění celé antény je třeba mnoho trpělivosti a někdy i mnoho mechanických úprav. Zvláštní pozornost je žádoucí věnovat rozměrové symetrii (rovnoběžnosti) skupinových direktorů. Konstrukční nevhodnost antény je šířka prvků, které kladou značný odpor větru, takže se časem uvolňují a odpadávají. Doporučuje se po-jistit upevnění prvků na izolační příchyty ceřrou M3 až M4 v místě, naznačeném na obr. 53.

Zbývá dodat, že jde o jedinou anténu tohoto druhu, která se u nás vyrábí.

Širokopásmovou anténu pro celé pásmo UKV je ovšem i soufázová soustava čtyř celovlnných dipólů (typ TVa – výrobek Kovopodniku Plzeň), tzv. „matrace“, nebo „sít“, která je co do elektrických vlastností s anténou KC91-BL srovnate-lná. V původní úpravě mají obě antény na začátku i konci pásmu UKV skoro stejný zisk, uprostřed pásmu UKV, kolem 660 MHz, je KC91-BL podstatně lepší (obr. 55). Má ovšem i větší nároky na homogenitu elektromagnetického pole v místě příjmu.

totí přispívají ke zvětšení zisku větší vzdálenosti ve svíslém směru (rozměr  $S_H$ ). Proto uvádíme její nejdůležitější rozměrové údaje, postačující zkušenějším experimenterům k realizaci.

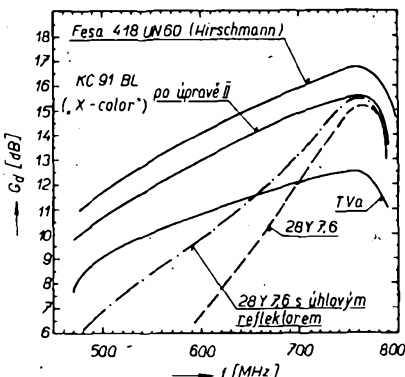
Základní rozměry jsou zřejmě z obr. 56. Rozteče prvků na ráhnu jsou:  $p_1$  (měřeno od vrcholu úhlového reflektoru, jehož ramena svírají úhel asi  $140^\circ$ ) = 200,  $p_2 = 45$ ,  $p_3 = 20$ ,  $p_4 = 50$ ,  $p_5 = 56$ ,  $p_6 = 50$ ,  $p_7 = 65$ ,  $p_8 = 75$ ,  $p_9 = 90$ ,  $p_{10} = 100$ ,  $p_{11} = 110$ ,  $p_{12} = 120$ ,  $p_{12-14} = 130$ ,  $p_{15-22} = 140$ ,  $p_{23} = 130$ .

Úhlový reflektor zpravidla podstatným způsobem ovlivní váhu antény. Proto se snažíme o jednoduché řešení. Jeho roz-měry nejsou kritické. Rozumné odchylky od původních rozměrů nemohou ovlivnit funkci a parametry antény.

Vlastní září je celovlnný dipól, tvarovaný jako širokopásmový. Jeho obě poloviny jsou sice galvanicky, přes vln tlumivky, spojeny navzájem a současně s kovovým nosným ráhnenem, ale z hlediska vln proudů jsou od nosné konstrukce antény a tedy i země izolovány. Galvanické spojení tlumivkami lze přerušit, aniž se tím ovlivní vln vlastnosti antény. Vln tlumivky mají 18 závitů lakovaného drátu o  $\varnothing 0,4$  mm, navinutých na  $\varnothing 4$  mm. Jsou samonosné, závit těsně vedle závitu. Jsou navrženy tak, aby vyhovely v celém UKV pásmu. Pokud by anténa měla pracovat jen na vyšších kmitočtech, je možné úměrně zmenšit počet závitů. V principu jde vlastně o čtvrtvlnně oddělovací členy. Vln tlumivky přispívají k ochraně vstupních obvodů vln zesilovačů před účinky atmosférické elektřiny při použití celovlnných zářic. U skládaných dipólů  $\lambda/2$  se nepoužívají, protože ty jsou uprostřed galvanicky spojeny s nosnou konstrukcí antény a tím uzemněny. Jak patrné z obr. 56, jsou napájené konce zářic upevněny v ochranném krytu, v němž je vestavěn symetrický člen nebo anténní zesilovač.

Kompenzační direktor  $D_1$  je upevněn přímo na ráhnu. Má největší vliv na impedanční průběh; je proto žádoucí dodržet přesně jeho rozměr a umístění na ráhnu.

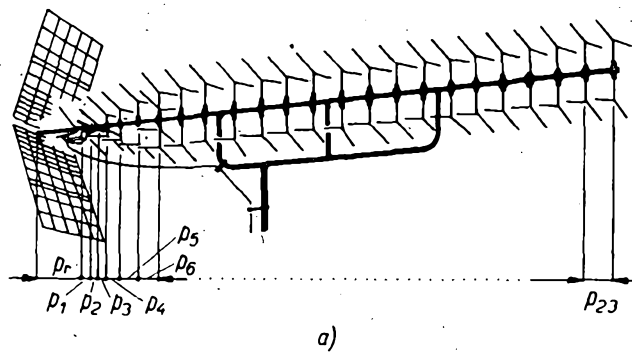
Ostatní direktory jsou již skupinové a jsou od ráhna izolovány. Lisované izolační příchytky (rozpěrky) je možno nahradit jednoduchými trubkami z vhodného a trvanlivého izolačního materiálu, např. laminátu, do nichž se zlepí konce direktorů. Tvarovaný profil původních, velmi lehkých prvků je vytvořen z pásků  $8 \times 0,5$  mm, jejich průřez je na obr. 56. Vhodným ekvivalentem je hliníkový drát o  $\varnothing 3$  až  $4$  mm. Svislé upevnovací tyčky skupinových direktorů jsou v původním provedení připevněny k ráhnu kloubovou izolační příchytkou, takže jsou uprostřed galvanicky přerušeny. Jejich galvanické spojení s ráhnenem podle obrázku nemůže ovlivnit elektrické vlastnosti antény.



Obr. 55. Porovnání zisků několika přijímacích TV antén (TVa – soufázová soustava se čtyřmi celovlnnými dipóly, tzv. matrace nebo síť, 28Y 7,3 – dlouhá Yagiho anténa H z tab. 2

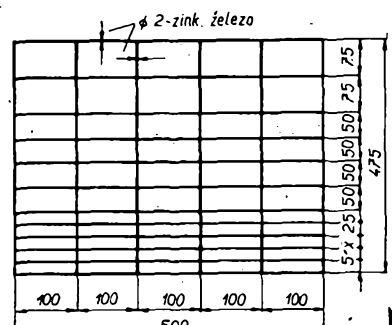
#### Širokopásmová anténa pro IV. a V. pásmo – FESA 418UN60 (Hirschmann)

Anténa je představitelem typu, který měl při kontrolním měření nejlepší směrové vlastnosti v porovnání s jinými anténa-mi tohoto druhu. Skupinové direktory u ní



Obr. 56. Rozměry antény FESA 418UN60

#### RAHENO ÚHLOVÉHO REFLEKTORU



b)

Odchylnka od přísně vodorovné orientace prvků u originální antény byla volena z důvodu konstrukčních a vzhledových.

Pro zachování původních elektrických parametrů je žádoucí dodržet přesně jen některé rozměry. Podle důležitosti následují asi v tomto pořadí: především  $L_{01}$ ,  $L_{02}$  a délky ostatních direktorů, jejich rozteče  $p_1$  až  $p_{22}$  a t. Dále pak rozměry záříče a ostatní rozměry ve skupinových direktorech, p a rozměry reflektoru.

Pokročilejší experimentátoři se mohou pokusit mírně zvětšit zisk antény přiměřený a plynulým zvětšením svíslých i vodorovných roztečí u skupinových direktorů. Při amatérské realizaci většinou odpadá požadavek na „skladatelnost“ antény, naprostot nutný u komerčního výrobku pro běžné spotřebitele, který zvětšování rozteče limituje.

Anténa má optimální směrové vlastnosti v pásmu kolem  $f_{opt} = 750$  MHz. Pokud by měla být optimalizována pro jiný (nižší) kmitočet  $f'$ , je třeba její nejdůležitější rozměry změnit (zvětšit) v poměru  $750/f'$ . Elektrické parametry ustanovené výrobcem jsou v tab. 8. Průběh zisku, jak byl změřen na našem pracovišti, je na obr. 55.

Mezi údaje výrobce a naším měřením je sice rozdíl asi 1 dB, nicméně pokud se týče zisku, *jde zatím o nejlepší komerční anténu typu Yagi se skupinovými direktory*. Maximální zisk jednoduché, stejně dlouhé Yagiho antény je asi o 2 dB menší podle našeho měření a o 3 dB menší podle údajů výrobce. Z tab. 9 odvozené z údajů výrobce vyplývá, že seskupením čtyř direktorových řad, buzených jedním zářičem, se u antény typu FESA zvětší maximální zisk v průměru o asi 2,5 dB proti jednoduché Yagiho anténě téže délky. Je tedy zhruba ekvivalentní klasické soustavě tvořené dvojicí optimálně uspořádaných jednoduchých antén.

Pro úplnost je třeba dodat, že uvedený typ byl ve výrobě až do roku 1979, kdy byl především z důvodu prodejních náhraden kompaktnějším provedením podle obr. 51g s údajně stejnými elektrickými parametry.

### Antennní soustava pro K28

Jako příklad praktické aplikace uvedených poznatků o Yagiho anténách a sou-

Tab. 8.

Kanál	21/22	23/27	28/31	32/36	37/41	42/45	46/50	51/59	60
Zisk [dB]	11	12	13	14	15	16	17	18	17
ČZP [dB]	24	28	32	32	30	31	27	28	25
$\Theta_{SE}$	39°	36°	33°	30°	26°	23°	22°	20°	18°
$\Theta_{SH}$	47°	42°	38°	34°	30°	26°	25°	23°	22°
Délka [m]							2,665		
El. délka							4,17 $\lambda_{max}$	až 7 $\lambda_{min}$	

Tab. 9.

Typ	$L_c/\lambda_{min}$	$G_d$ [dB]	$\frac{G_{d_{max}}}{L_c/\lambda_{min}}$	$G_{yagi}$ [dB] též délky	Přírůstek $G_d$ [dB]
413 UN 60	1,4	8,5 až 13	9,3	10,8	2,2
415 UN 60	2,4	9 až 15	6,2	12,5	2,5
417 UN 60	3,9	10 až 17	4,3	14,0	3,0
418 UN 60	7,0	11 až 18	2,7	15,2	2,8

stavách z nich sestavených je stručně popsána dvoučlenná antennní soustava, určená pro příjem na K28, ale vyhovující i na nižších kmitočtech. Zároveň bylo navrhnot a realizovat soustavu optimalizovanou pro experimentální příjem poměrně slabého signálu na K28, rušeného místním vysílačem na poměrně blízkém kanálu, K26. Rozdíl mezi azimuty obou vysílačů byl v místě příjmu 15°. Z grafu na obr. 44, popř. 46 je možno zjistit, že v tomto směru ( $\pm 15^\circ$ ) má minima každá dvoučlenná soustava, jejíž základní antény jsou od sebe vzdáleny  $2\lambda$  (rozměr  $S_E$ ). Vzhledem k tomu, že se současně jedná o příjem poměrně slabého signálu, je žádoucí, aby pro zvolenou základní anténu soustavy byla vzdálenost  $2\lambda$  i optimální vzdálenost z hlediska maximálního zisku celé soustavy. Podle grafu na obr. 45 vyhovují tomuto požadavku ( $S_E = 2\lambda$ ). Yagiho antény s úhlem příjmu asi 30° ( $\Theta_{SE}$ ). Jde tedy o antény o délce  $L_c = 3,5$  až 4,5λ – viz obr. 11. Z rozměrové tabulky (tab. 2) byla vybrána anténa G, typ 17Y 4,1–0,96. Rozměry pro  $G_{d_{max}}$  na  $f = 532$  MHz ( $\lambda = 564$  mm – viz tab. 13) získáme vynásobením této vlnové délky údaji z tab. 2 pro každý rozměrový parametr (tab. 10).

Tab. 10. Vypočtené rozměry (v mm) antennní soustavy pro K28

$L_R = 299$	$L_{08} = 228$	$p_1 = 100$
$L_Z = 294$	$L_{09} = 226$	$p_1 = 36$
$L_{01} = 260$	$L_{010} = 226$	$p_2 = 143$
$L_{02} = 244$	$L_{011} = 226$	$p_3 = 172$
$L_{03} = 244$	$L_{012} = 226$	$p_4 \text{ až } p_{14} = 172$
$L_{04} = 241$	$L_{013} = 226$	$h = 152$
$L_{05} = 234$	$L_{014} = 223$	$t = 6$
$L_{06} = 232$		$T = 16$
$L_{07} = 230$		$m = 28$

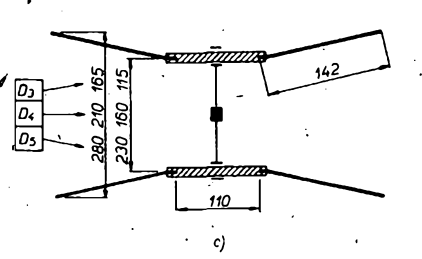
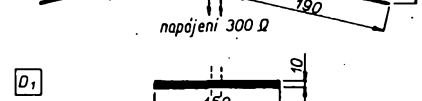
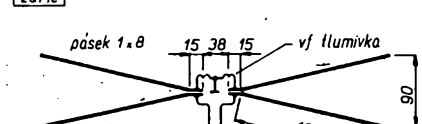
$S_E = 1165$  (tato vzdálenost,  $2\lambda$ , musí být nastavena pro rušivý signál na  $f = 515$  MHz, kmitočet obrazu na K26)

Obr. 57 je na 3. straně obálky

kovovými přechytkami. Je samozřejmě možné použít i jiné, jednodušší řešení, např. větknout prvky přímo do ráhna o  $\varnothing = 16$  až 18 mm. Pro lepší stabilitu soustavy jsou konce obou ráhnen za reflektory spojeny tenkostěnnou laminátovou trubkou. Při robustnější nosné konstrukci to však není nutné.

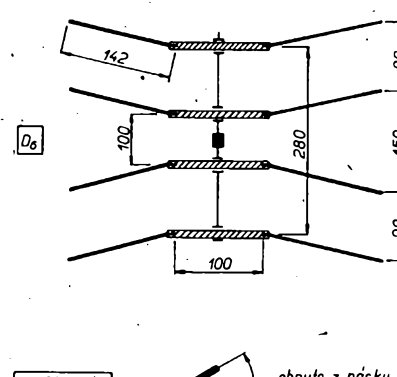
Antény jsou napájeny souosým kabelem (VFKV 630). Proto je uvnitř každého krytu stocena symetrická smyčka  $\lambda/2$  z miniaturního sousového kabelu (VFKT 50-1,5). Délka smyčky je pro kabel s plným polyetylénovým nebo teflonovým dielektrikem ( $\epsilon = 2,3$ ) 182 mm. Provedení je naznačeno na obr. 58. Není samozřejmě nutné, aby celá smyčka byla uschována uvnitř krytu; stačí chránit jen místo připojení k svorkám antény. Použít jiný typ

zářič



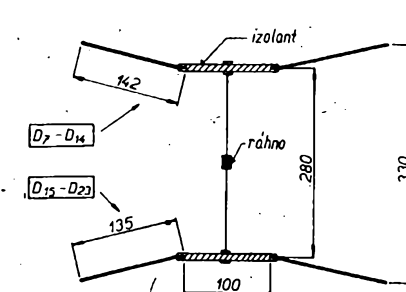
### Provedení antény

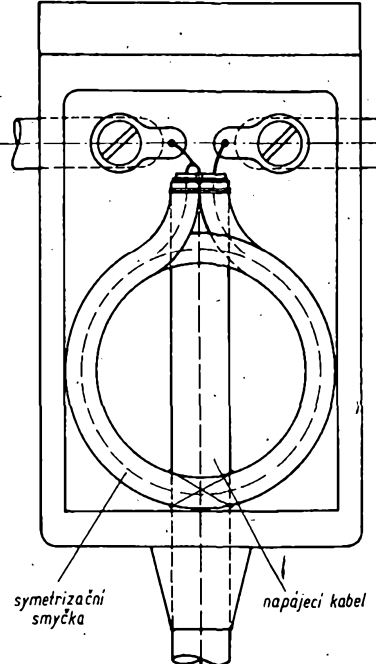
Pro nosnou konstrukci antény, včetně ráhna, byly použity převážně dílce z rozebraných antén pro IV. pásmo (výrobek KOVOPLAST – Chlumec n. C.) – viz foto na obr. 57. Prvky jsou však připevněny



~60°  
ohnutí z pásku  
8-1 mm

c)





Obr. 58. Uspořádání přívodů a symetrikační smyčky uvnitř ochranného krytu (ve skutečné velikosti).

symetrikačního a transformačního obvodu, např. známý elevátor na tělisku z organického skla je zbytečné, protože jde o příjem v úzkém pásmu. Symetrikační smyčka má mimoto jen velmi nepatrný útlum.

Veškeré mechanické i elektrické spoje jsou chráněny vrstvou vosku RESISTIN. Naměřené elektrické parametry na  $f = 530$  MHz:

$G_d = 16$  dB, ČZP = 20 dB, ČSV = 1,2,  $\Theta_{3E} = 13^\circ$ ,  $\Theta_{10E} = 25^\circ$ , ČPL<sub>E</sub> = 11,5 dB,  $\Theta_{3H} = 30^\circ$ ,  $\Theta_{10H} = 47,5^\circ$ , ČPL<sub>H</sub> = 13,0 dB. ČSV = 1,2 platí pro jednu anténu na 75 Ω. Výstupní impedance soustavy v místě spojení napájecího obou dílčích antén je 37,5 Ω. Na tutéž impedance je nastaven i vstupní filtr zesilovače [34], připojený v místě spojení obou antén. Pokud se z místa spojení obou antén pokračuje souosým kabelem 75 Ω ihned dále k přijimači (bez zesilovače), dochází k jistému nepřizpůsobení (ČSV = 2). To lze odstranit transformátorem  $\lambda/4$  ze souosého kabelu o impedanci 50 Ω. Proto je výhodnější vést signál dále k přijimači již jen kabelu 50 Ω bez transformace. ČSV na tomto kabelu pak nepřesahne 1,6.

**Směrování anténní soustavy určené pro potlačení nežádaného signálu na přijímaném kmitočtu je třeba věnovat větší pozornost.** Polohu a natočení antény optimalizujeme především na příjem žádaného signálu, kdy se snažíme dosáhnout příjemu s nejmenším rušením. V daném případě této poloze odpovídají i maximální signál žádané stanice. Pokud se nedosáhne předpokládaného výsledku a anténa je jinak v pořádku, bývá zpravidla příčinou vicesměrové šíření místního vysílače vlivem odrazů od vyšších budov a jiných překážek. Předpokládaný tvar směrového diagramu, zvláště pokud jde o úroveň minim, může nepřiznivě ovlivnit i nedostatečná výška nad zemí nebo rozumná plochá střecha.

Pokud by měl být při příjmu daného vysílače vůdčím hlediskem maximální zisk, bylo by lépe uspořádat tyto antény nad sebou, přibližně ve stejně vzdálenostech.

t, tj.  $S_H = 2\lambda$  na přijímaném kmitočtu. Umožnilo by to použít laděné spojovací vzdušné a bezetrátové vedení o libovolné impedanci a délce  $2 \times 1\lambda$ . Pro soufázové napájení obou antén by nebylo nutné vedení křížit (viz obr. 38a). Pro přechod z výstupní impedance 150 Ω na impedanci 75 Ω by bylo možno použít transformátor  $\lambda/4$  o impedanci 100 Ω, vytvořený např. souměrným stíněným vedením, sestaveným ze dvou úseků souosého kabelu o impedanci 50 Ω (VFKP 261).

### Anténní soustavy z antén KC91-BL (X-COLOR) a TVa („matrace“)

Víme, že základní zisk anténních soustav je podmíněn řadou činitelů, jimiž jsme se na předchozích stránkách podrobne zabývali. Anténní soustavy určené pro dálkový příjem, tedy s maximálním ziskem, jsou většinou sestaveny z úskopásmových antén, protože jde zpravidla o příjem v jediném kanálu. Toto řešení vyhoví i pro příjem několika stanic, pokud leží „v rozsahu“ použité základní anténní soustavy. *Jde-li o dálkový příjem několika stanic kmitočtové navázájem poměrně vzdálených, je lepší překrýt žádaný rozsah několika samostatnými soustavami.*

Jistým řešením je však i širokopásmová anténní soustava sestavená ze širokopásmových antén. Prakticky se k tomuto účelu využívají dvou prodávaných typů. Je to jednak již zmíněná a upravená KC91-BL a známá „matrace“ nebo „sít“ – TVa, výrobek plzeňského družstva KOVOPODNIK. Realizace anténních soustav z uvedených typů se opět řídí již zmíněnými zásadami.

Zajímá nás, jak je to s optimální vzdálostí jednotlivých antén soustavy v jejich celém pracovním pásmu, tj. v rozsahu kmitočtu 470 až 790 MHz, do jaké míry vyhovuje optimálně nastavená vzdálenost  $S$ , např. pro  $f = 750$  MHz i na počátku pásmu. Tuto vzdálenost odvozujeme z velikosti úhlu příjmu (nebo směru prvního minima) základní antény soustavy na uvažovaných kmitočtech (viz obr. 45).

Proto jsou v následujících tabulkách (tab. 11 a 12) pro každý z obou typů antény uvedeny tyto údaje: kmitočet  $f$ , změřené úhly příjmu  $\Theta_{3E}$  a  $\Theta_{3H}$ ,  $S_E/\lambda$ ,  $S_H/\lambda$  a jejich odpovídající rozměr v mm.

Tab. 11. Anténa KC91-BL, upravená podle popisu (varianta 2)

$f$ [MHz]	$\Theta_{3E}$	$S_E/\lambda$	$S_E$ [mm]	$\Theta_{3H}$	$S_H/\lambda$	$S_H$ [mm]
470	40°	1,56	996	42°	1,5	958
500	38,5°	2,1	1260	40°	1,56	934
600	30°	2,0	1000	31,5°	1,9	950
700	22°	2,66	1140	25°	2,33	1000
750	20,5°	2,9	1160	23°	2,56	1026
790	21°	2,76	1050	22°	2,66	1010

Tab. 12. Anténa TVa

$f$ [MHz]	$\Theta_{3E}$	$S_E/\lambda$	$S_E$ [mm]	$\Theta_{3H}$	$S_H/\lambda$	$S_H$ [mm]
470	66°	1,0	640	35°	1,73	1100
500	59°	1,17	698	33°	1,83	1100
600	50°	1,3	650	31°	1,93	964
700	43°	1,5	643	27°	2,2	943
750	41°	1,53	612	25°	2,33	930
790	39°	1,6	608	22°	2,66	1010

Je vidět, že v obou případech jsou optimální vzdálenosti  $S_E$  a  $S_H$ , vyjádřené v mm, prakticky stejné pro všechny kmitočty pracovního pásmu antény.

Pro anténu KCL91-BL jsou průměrné vzdálenosti  $S_H = 980$  mm = 1 m a  $S_E = 1100$  mm = 1,1 m. V praxi mohou být obě vzdálenosti shodné. Udaje uvedené v tabulce platí pro antény upravené podle varianty 2 (viz str. 26). V uvedených vzdálenostech je možné řadit antény v původním stavu. Při řazení nad sebou se pódstatně zlepší původní tvar směrového diagramu ve vertikální rovině na nejvyšších kmitočtech. Pro lepší zisk na konci pásmu je však vhodné zkrátit direktory alespoň podle varianty 1 (str. 25).

Vlastní realizace soustavy je jednoduchá, protože jde o hotové antény. Při řazení vedle sebe se použije výložných ramen. Při řazení nad sebou může nepříliš tlustý stožár procházet řadou skupinových direktorů, aniž se patrným způsobem zmenší zisk. Direktory jsou odděleny izolačními rozpěrkami, takže stožár nepůsobí významnější deformaci pole v prostoru direktorů.

Stabilitu soustavy, která představuje značnou „větrnou“ zátěž vlivem širokých direktorů, lze zlepšit výztuhou mezi vrcholy úhlových reflektorů. Napájení musí být širokopásmové, tj. neladěnými napáječi. Zvláštní pozornost je třeba věnovat upevnění a vedení napáječů (viz str. 23).

Pro anténu TVa jsou průměrné vzdálenosti  $S_H = 1000$  mm a  $S_E = 646$  mm. Protože rozměr plochého drátového reflektoru antény TVa je 600 × 1000 mm, můžeme skládat antény těsně k sobě (v libovolném počtu) při optimálním přizpůsobení v celém pásmu (viz obr. 59). Rozměry  $S_E$  a  $S_H$  totiž udávají vzdálenost mezi středy jednotlivých antén soustavy. Jsou-li tyto rozměry shodné s rozměry antén, antény se dotýkají. Při napájení je pochopitelně nutné respektovat impedanční hlediska.

Galvanické spojení reflektorů zlepší ještě poněkud ČZP, ostatní směrové vlastnosti však neovlivní. Mechanické spojení ovšem zlepší stabilitu soustavy při nepříznivých povětrnostních podmíinkách.

Obr. 59 je na 3. straně obálky

### Quagi-antény, Yagiho antény se smyčkovými prvky

Až dosud uvažované Yagiho antény byly sestaveny z přímých, poměrně tenkých prvků o délce asi  $\lambda/2$ . Záříče a pasivní prvky krátkých a dlouhých Yagiho antén však mohou mít i jiný tvar.

Může to být např. jednoduchá drátová smyčka (loop), jejíž obvod měří asi jednu vlnovou délku. Smyčka může mít pravidelný i nepravidelný tvar. Známá je zejména čtvercová smyčka orientovaná tak, že dvě její strany jsou se zemí rovnoběžné a dvě svislé. Jde o tzv. smyčku quad, popř. anténu quad. Tatáž čtvercová smyčka postavená kolmo k zemi úhlopříčkou se nazývá diamond, smyčka trojúhelníková – delta (obr. 60). Uzavřená smyčka může působit jako prvek parazitní – pasivní; otevřená smyčka, tj. v jednom místě přerušená a tam napájená, působí jako prvek aktivní. (Aktivním prvkem je však i uzavřená smyčka napájená bočníkem.) Smyčky lze sestavovat v řady podle stejných zásad, jako záříče přímé. V literatuře i praxi se setkáváme především s řadami podélne vyzařujícími, tzn. že jsou to řady ekvivalentní řadám Yagiho s jednou napájenou a několika parazitními smyčkami. Snadná konstrukce přispěla zvláště k rozšíření antén se smyčkami čtvercovými, jde tedy o tzv. antény quad. Pro jejich viceprvky-

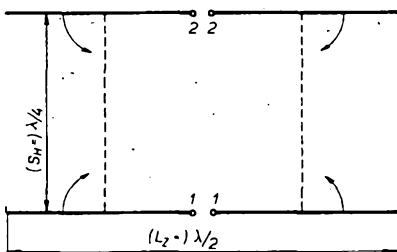


Obr. 60. Smyčkové záříče různých tvarů. Čtvercový (quad a diamond), trojúhelníkový (delta) a kruhový. Všechny smyčky jsou polarizovány horizontálně.

vou variantu se v zahraničí vžil název antény quagi.

Dvou až tříprvkové antény quad nalezly své uplatnění zejména na amatérských pásmech KV. Souvisí to s tím, že smyčkovými anténami byly nejdříve vybavovány některé profesionální vysílače KV (zvláště v horských oblastech). Při značných výkonech totiž u této antény nedochází ke vzniku korony, na rozdíl od sršicích konců antén dipolových. Na KV je pak vitané 50% zkrácení samonosných prvků, které lze nahradit konstrukcí drátových smyček. Nyní se antény quad objevují na pásmech VKV a UKV, a to i s větším počtem prvků. Rozporné informace o zisich antén quad však vnáší do této problematiky četné nejasnosti. Proto se v dalším textu pokusíme přistupným způsobem objasnit to podstatné pro tyto antény, zvláště pak z hlediska často diskutovaného zisku.

Základem pochopení činnosti antény quad, popř. smyčkové antény je vlastní smyčka a její vlastnosti. Uvažujeme dva dipoly  $\lambda/2$  nad sebou ve volném prostoru, ve vzájemné vzdálenosti  $\lambda/4$ . Oba jsou uprostřed na vstupech 11 a 22 (viz obr. 61).



Obr. 61. Vznik celovlnné smyčky z dvojice soufázově napájených dipólů  $\lambda/2$

buzený stejným napětím o stejně fázi. V obou dipolech tedy potečou stejně proudy a na jejich koncích bude stejně napětí o stejně fázi. Za této podmínky k sobě můžeme ohnout všechny čtyři konce dipólů v délce  $\lambda/8$ , takže vznikne čtverec o straně  $\lambda/4$ . Protože napětí na koncích dipólů jsou stejná (co do fáze i amplitudy), lze ohnuté konce navzájem spojit, aníž se změní proudy ve čtverci. Proudý zůstanou, stejně i v případě, že jeden ze vstupů zkratujeme (např. 22). Pak můžeme považovat spodní dipol za proudem buzený (na svorkách 11) a horní dipol, uprostřed zkratovaný, za napětím buzeným na jeho koncích. Shodné napětí ve společných bodech tak vede ke stejným proudům v napájené i nepájené části smyčky. Aby zůstal stejný i napájecí proud do této „soustavy“, zvýšuje se asi dvakrát vstupní impedance na svorkách 11 při zkratovaných svorkách 22. Proto se impedance smyček s obvodem asi  $1\lambda$  pohybuje kolem  $120\Omega$ . Jak je vidět (obr. 62), tečou horizontální úseky čtverce proudy stejným směrem jako v původních dipolech – neboli tyto úseky „přijímají a vysílají“. Vertikální úseky čtverců však nevyzařují, protože ve jejich horních a dolních polohách tečou stejné proudy opačných smě-

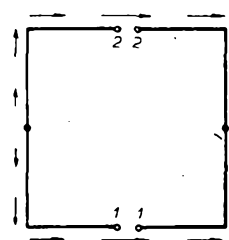
rů. Můžeme říci, že tyto úseky představují jen jistou kapacitní zátěž pro zkrácené horizontální dipoly. Vyzařovací vlastnosti čtvercové smyčky jsou tedy shodné s dvojicí horizontálních soufázově napájených zkrácených dipólů, tzn. že čtvercová smyčka napájená podle obr. 62. vysílá a přijímá jen horizontálně polarizované signály. Trochu složitěji, ale v principu stejným způsobem určíme polarizaci i u ostatních druhů smyček na obr. 60. Při vyznačeném způsobu napájení jsou všechny polarizovány horizontálně. Pro vertikální polarizaci je nutné přesunout buzení, popř. smyčky pootočit kolmo osy kolmě na rovinu smyčky o  $\pm 90^\circ$ .

Směrové vlastnosti smyčky a její zisk můžeme názorněji vysvetlit, uvažujeme-li původní dvojici dipólů  $\lambda/2$  (obr. 61) jako soufázově napájenou soustavu (nyní předpokládáme, že se čtenář s touto problematikou seznámil na str. 17 až 18). Dvě soufázově napájené dipoly  $\lambda/2$  ve vzájemné vzdálenosti  $S_h = \lambda/4$  vykazují proti jednoduchému dipolu již určitý zisk. Lze jej vypočítat z jejich vzájemné a vlastní impedanci (tab. 13).

Tab. 13. Vypočtené zisky soufázově napájených dipólů  $\lambda/2$

$S_h/\lambda$	G [dB]	$G_d$ [dB]
0	2,15	0
0,125	2,42	0,27
0,250	3,24	1,1
0,375	4,51	2,35
0,5	5,98	3,83
0,625	6,94	4,79
0,75	6,76	4,61
0,875	5,83	3,68
1,0	4,93	2,78

Jak patrné, přírůstek zisku je maximální při  $S_h = 0,625$  ( $5/8\lambda$ ). Stojí za to si tento údaj zapamatovat. Jde totiž o optimální vzdálenost dvou antén, které mají v rovině řazení všeobecný (kruhový) diagram. Je to tedy vůbec nejmenší vzdálenost, se kterou by se mělo při řazení antén počítat při požadovaném maximálním přírůstku zisku. Z jiných hledisek, např. při použití laděného napájení, však volíme vzdálenost menší – nejčastěji  $\lambda/2$  (např. u soufázových přijímacích antén typu TVa). Z tab. 13 je patrné, že se tím však připravujeme o zisk 0,96 dB. Požorný čtenář si jistě všiml, že maximální přírůstek zisku je u dvojice dipólů 4,79 dB a nikoli dříve uváděných 3 dB při zdrojování antény. Souvisí to s tím, že u všeobecných antén se zisk zvětšuje vlivem značné vzájemné vazby. U rozměrnějších, popř. směrovějších antén se vliv vzájemné vazby zmenšuje a maximální přírůstek je 3 dB. V případě smyčky quad je vzdálenost obou prvků pouhých  $0,25\lambda$ , takže přírůstek zisku je jen 1,1 dB. Oba prvky jsou však zkráceny (jejich vodorovná zářící část) na 50% původní délky, takže musíme ještě počítat s jistou redukcí zisku původních dipólů



Obr. 62. Rozložení proudů na celovlnné čtvercové smyčce

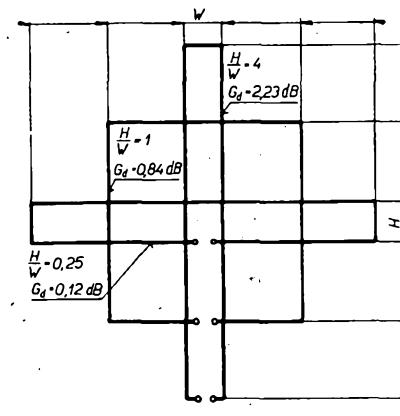
1/2. Jak se zmenšuje zisk a vyzařovací odpory zkrácených dipólů je vidět z výsledků uspořádaných v tab. 14.

Tab. 14.

$L_z/\lambda$	G [dB]	$G_d$ [dB]	$R$ [ $\Omega$ ]
0,05	1,77	-0,38	1,9
0,1	1,79	-0,36	7,6
0,2	1,87	-0,28	27,0
0,25	1,92	-0,23	38,5
0,3	1,98	-0,17	50,0
0,4	2,09	-0,06	67,0
0,5	2,15	0	73,0

Pro malá zkrácení, kdy je  $L_z$  o něco kratší než  $\lambda/2$ , nezmenšuje se výrazně směrovost – zisk ani vyzařovací odpory. Je to pochopitelné, protože krátkými koncovými úsekůmi, o které je dipol zkrácen, tečou malé proudy, které vlastnosti antény neovlivňují. Při značném zkrácení se zmenšuje zejména vyzařovací odpor a velmi krátká anténa se stává prakticky nepoužitelnou, popř. značně neúčinnou.

Aby bylo možno vypočítat vlastnosti celovlnné smyčky, je třeba znát vzájemnou impedanci dvou zkrácených dipólů. Komplexní výpočet směrových vlastností celovlnných smyček pro různý poměr výšky ( $H$ ) ku šířce ( $W$ ) dává údaje, sestavené v tab. 15 (obr. 63).



Obr. 63. Pravoúhlé celovlnné smyčky s různým poměrem výšky  $H$  ku šířce  $W$

Tab. 15.

$H/W$	$H/\lambda$	$W/\lambda$	$G$ [dB]	$G_d$ [dB]	$R$ [ $\Omega$ ]
0	0	0,5	2,15	0	292,5
0,12	0,1	0,4	2,27	0,12	257,5
0,66	0,2	0,3	2,67	0,52	169,8
1,0	0,25	0,25	2,99	0,84	120,5
1,5	0,3	0,2	3,39	1,24	76,0
4,0	0,4	0,1	4,38	2,23	16,7
9,0	0,45	0,05	4,93	2,78	3,8

Pro  $W = 0,5$  a  $H = 0$  dostáváme běžný skládaný dipol s nulovým ziskem, popř. se ziskem  $G = 2,15$  dB a odporem, přibližujícím se známé velikosti  $300\Omega$ . Se zvětšující se výškou  $H$  (nebo  $S_h$ , jak jsme označovali vzhledem vzdálenost jednotlivých antén v soustavě) se sice zisk teoreticky zvětšuje, vyzařovací odpory se však tak zmenšuje, že taková smyčka prakticky nevyzařuje. U jednoduché smyčky quad s poměrem  $H/W = 1$  tedy můžeme počítat jen se ziskem  $G = 3$  dB,

tj. s 0,84 dB proti jednoduchému dipólu. Je to zisk menší, než se v různé amatérské literatuře původně uvádělo. Poněkud větší zisk lze očekávat u smyčky kruhové (tab. 16).

Tab. 16.

Smyčka	Počet stran	G [dB]	G <sub>d</sub> [dB]	R [Ω]
delta	3	2,7	0,55	104
quad	4	2,99	0,84	120,5
pentagon	5	4,1	0,95	126
hexagon	6	3,16	1,01	129
octagon	8	3,22	1,07	132
kruh	∞	3,28	1,13	135

Je vidět, že zisk smyčky delta je asi o 0,3 dB menší, než u populární smyčky quad. Největší zisk G<sub>d</sub> má celovlnná smyčka kruhová, a to větší než 1 dB.

Pro odhad zisku několikaprvkových Yagiho antén se smyčkami si opět pomůžeme představou anténní soustavy, složené ze dvou klasických, horizontálně polarizovaných Yagiho antén, řazených nad sebou ve vzdálosti 0,25λ, a s redukovanou délkou prvků vytvářejících čtvercové smyčky. Z kapitoly o anténních soustavách si pamatujeme, že pro maximální přírůstek zisku je třeba řadit jednotlivé antény do optimální vzdálenosti, která je tím větší, čím jsou antény delší.

Aplikováno na smyčkové Yagiho antény to tedy znamená, že zisk víceprvkových smyčkových antén může být jen nepatrne větší, než zisk stejně dlouhých Yagiho antén s přímými prvky.

Rozdíl v zisku v závislosti na počtu prvků, popř. na délce antény u „klasické dvoupatrové“ anténní soustavy s S<sub>H</sub> = 0,25λ a anténu quad o stejném počtu prvků je nejmenší u tříprvkové antény s L<sub>c</sub> = 0,25λ, u níž je jen 0,23 dB (viz tab. 17). Lze to říci též tak, že ze všech antén quad je tříprvkový quad nejefektivnější. Jeho maximální zisk může být v úzkém pásmu něco přes 11 dB (G), popř. 8 až 8,2 dB (G<sub>d</sub>). Záměrou čtvercových smyček za kruhové se může zisk zvětšit ještě o až 0,5 dB. U jednoduché „klasické“ tříprvkové Yagiho antény můžeme ve stejném pásmu počítat se ziskem G<sub>d</sub> do 7 dB.

Tab. 17.

Počet prvků	$L_c$ λ	Přírůstek zisku	
		2 × Yagi	1 × quad
1	0	1,09	0,86
2	0,15	1,03	0,8
3	0,25	1,38	1,15
6	0,75	0,84	0,61
7	1,25	0,65	0,42

Není nezajímavé, že zmíněná nejefektivnější tříprvková anténa quad zabírá minimální prostor ve tvaru krychle o hraně 0,25λ.

Předchozí výklad o činnosti smyčkových antén můžeme opět shrnout do několika bodů:

- Jednoduchá smyčka s obvodem přibližně  $1\lambda$  má poněkud větší zisk než dipól  $\lambda/2$ . Jé to způsobeno především užším diagramem v rovině H (tam je diagram dipolu všeobecný). V rovině E je smyčkový diagram smyčky o něco širší než u dipolu  $\lambda/2$ , protože délka účinné zářící části je kratší než  $\lambda/2$ .

2. Zisk smyčky se mění s jejím tvarem. U pravoúhlých smyček, napájených uprostřed vodorovného vodiče (dolního nebo horního), závisí zisk na poměru výšky H/kušice W (viz obr. 63). Pro H/W = 1 (quad) je zisk G<sub>d</sub> = 0,84 dB. Pro H/W < 0,1, kdy jde vlastně o skládaný dipól, je G<sub>d</sub> = 0 dB, popř. G = 2,15 dB.

3. Směrové vlastnosti smyček nejsou závislé na místě napájení, takže smyčka quad i smyčka diamond mají stejný zisk i vyzařovací odpór.

4. Yagiho smyčková anténa má poněkud větší zisk než ekvivalentní klasická anténa Yagi. Výpočty ukazují, že rozdíly závisí na délce antény. U krátkých antén je přírůstek zisku smyčkových antén asi 1 dB, u delších se však zmenšuje pod 0,5 dB. Lze tedy říci, že výhoda nepatrného zvětšení zisku u několikaprvkové antény quagi prakticky mizí, a oba typy antén mají téměř stejný zisk.

5. Proti skládaným dipolům mají smyčky o polovinu menší impedanci. To komplikuje realizaci smyčkových antén se vstupní impedancí 300 Ω pro TV. Proto se impedance smyček zpravidla nastavuje na 50, popř. 75 Ω. Usnadňuje se tím jejich souosé napájení bez symetrikačního člena (obdoba souose napájeného skládaného dipolu).

6. Protože výpočet vzájemných impedancí smyček je obtížný a nevede k přesným výsledkům, je nastavení optimálních rozmerů smyčkových antén experimentální záležitostí.

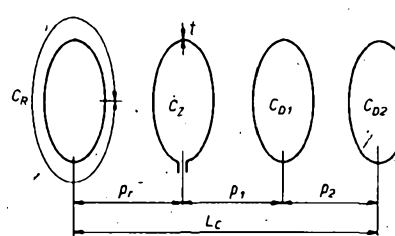
7. I při střízlivém hodnocení zisku jsou v některých případech smyčkové antény výhodné. Na KV ceníme jejich menší nároky na zabíraný prostor a snadnější konstrukci z hlediska amatérské realizace. Malá vzájemná vazba soustředných smyček umožňuje realizovat několikaprvkové smyčkové antény na jediné konstrukci, bez nároku na další prostor. Na pásmech VKV a UKV, kde není prostorová problematika zpravidla kritická, jsou antény použitelné s výhodou hlavně jako malé (tříprvkové) vnitřní TV přijímací antény v nehomogenním poli dostatečně silného signálu.

### Praktická realizace smyčkových antén

Protože jsme až dosud neměli dostatek příležitosti k ověření elektrických parametrů různě publikovaných antén, uvádíme v dalším jen stručné pokyny, které by měly spolu s předchozím souhrnem usnadnit amatérské experimentování v této oblasti. Shodné principy při řazení smyček a přímých prvků v řady Yagiho k tomu přispívají.

Na směrové vlastnosti smyčkových antén mají vliv především tyto rozmerové parametry (viz obr. 64):

- rozměry pasivních smyček, tj. délka jejich obvodu C<sub>R</sub> a C<sub>D</sub>,
- vzájemné vzdálenosti všech smyček p<sub>r</sub> a p<sub>1-2</sub>. Maximální použitelná rozteč u víceprvkových smyčkových antén je 0,4λ.



Obr. 64. Označení rozmerů několikaprvkové smyčkové antény

Průměry vodičů, tvořících smyčky nejsou příliš kritické. Směrové vlastnosti neovlivňuje rozměr smyčky napájené.

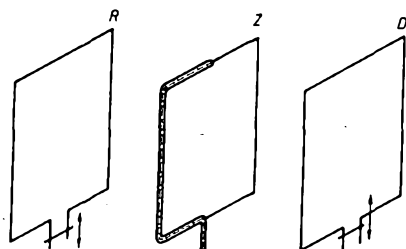
Každé délce antény odpovídá určitý optimální obvod direktorových smyček. Konkrétní údaje pro praktický návrh však nejsou publikovány. Např. pro anténu o L<sub>c</sub> = 2λ s konstantním p = 0,2λ bylo nalezeno optimální C<sub>d</sub> = 0,9λ. Anténa měla zisk G<sub>d</sub> = 11,5 dB. Větší C<sub>d</sub> způsobil výraznější zmenšení zisku, menší C<sub>d</sub> napak směrové vlastnosti příliš nezhoršil (C<sub>d</sub> = 0,8λ, G<sub>d</sub> = 10,5 dB). Tendence jsou tedy stejné jako u běžných antén Yagi.

U tříprvkových antén se dosahuje maximálního zisku s těmito rozmezí:

$$\begin{aligned} C_d &= 1,1\lambda, & p_1 &= 0,15 \text{ až } 0,25\lambda, \\ C_d &= 1,5 \text{ až } 1,3\lambda, & p_1 &= 0,1 \text{ až } 0,15\lambda, \\ C_d &= 0,95\lambda, & p_1 & \end{aligned}$$

Záříč se při tom navrhujeme tak, aby pracovalo mimo vlastní rezonanci (C<sub>d</sub> = 1,2 až 1,3λ), což zlepšuje impedanční širokopásmovost antény a zvětšuje její vstupní odpór.

Podobně jako u běžných antén Yagi zvětšuje se u těchto antén kritičnost nastavení se zmenšující se šírkou pásmá (malé rozdíly v obvodech smyčky reflektorevé a direktorové), tzn. především na úzkých amatérských pásmech KV. Antény lze doladit na maximální zisk, popř. ČZP posuvem zkrátka krátkých úseků vedení zařazených do proudového maxima poněkud zkrácených smyček (viz obr. 65). Každé doladování smyček má ovšem vliv na vstupní impedance antény. Kontrola reflektometrem je žádoucí.



Obr. 65. Doladování pasivních prvků smyčkové antény posuvními zkraty

Pro vlastní konstrukci antén quagi platí stejná hlediska jako u běžných antén Yagi. Samonosné smyčky (na VKV) se na společné kovové nosné ráhno upěvňí v místech nulového napětí. Na každé uzavřené smyčce jsou tato místa dvě. Přerušení smyček v místech maximálního napětí nemá vliv na elektrické vlastnosti antény. Proto je možné kombinovat čtvercové i. přímé prvky, např. před dvojicí smyčkového reflektoru a záříče umístit dvě řady přímých direktorů nad sebou (S<sub>H</sub> = 0,25λ) apod.

### Seznam a mapa TV vysílačů

Při experimentování s příjemem TV se neobejdeme bez informací o celkovém rozložení TV vysílačů. Mapa doplněná seznamem zachycuje stav základní sítě čs. TV vysílačů na konci roku 1981. Uzadnění orientaci na pásmech TV při dálkovém příjemu, proto jsou zakresleny i nejbližší vysílače zahraniční, a pomůže při výběru alternativních čs. vysílačů při rušení a nekvalitním příjmu vysílačů místních. Praxe ukazuje, že za jistých okolností není příjem místního vysílače vždy nejlepším

Tab. 18. Pásma, kanály, kmitočty a vlnové délky (podle OIRT)

Pásma	Kanál	Rozsah [MHz]	$f_{obr}$ , $f_v$ [MHz]	$\lambda_{obr}$ , $\lambda_v$ [cm]
I. pásmo	K1	48,5 až 56,5	49,75 56,25	603,0 533,3
	K2	58 až 66	59,25 65,75	506,3 456,3
VKV FM		67 až 73		447,8 až 411,0
II. pásmo	K3	76 až 84	77,25 83,75	388,3 358,2
	K4	84 až 92	85,25 91,75	351,9 327,0
	K5	92 až 100	93,25 99,75	321,7 300,7
Amatérů		144 až 146		208,3 až 205,5
III. pásmo	K6	174 až 182	175,25 181,75	171,2 165,1
	K7	182 až 190	183,25 189,75	163,7 158,1
	K8	190 až 198	191,25 197,25	156,8 151,7
	K9	198 až 206	199,25 205,75	150,6 145,8
	K10	206 až 214	207,25 213,75	144,7 140,3
	K11	214 až 222	215,25 221,75	139,4 135,3
	K12	222 až 230	223,25 229,75	134,4 130,6
Amatérů		432 až 438		69,4 až 68,5
IV. pásmo	K21	470 až 478	471,25 477,75	63,7 62,9
	K22	478 až 486	479,25 485,75	62,6 61,8
	K23	486 až 494	487,25 493,75	61,6 60,8
	K24	494 až 502	495,25 501,75	60,6 59,8
	K25	502 až 510	503,25 509,75	59,6 58,8
	K26	510 až 518	511,25 517,75	58,7 57,9
	K27	518 až 526	519,25 525,75	57,8 57,1
	K28	526 až 534	527,25 533,75	56,9 56,2
	K29	534 až 542	535,25 541,75	56,0 55,4
	K30	542 až 550	543,25 549,75	55,2 54,6
	K31	550 až 558	551,25 557,75	54,4 53,8
	K32	558 až 566	559,25 565,75	53,6 53,1
	K33	566 až 574	567,25 573,75	52,9 52,3
	K34	574 až 582	575,25 581,75	52,1 51,6
	K35	582 až 590	583,25 589,75	51,4 50,9
	K36	590 až 598	591,25 597,75	50,7 50,3
	K37	598 až 606	599,25 605,75	50,1 49,6
	K38	606 až 614	607,25 613,75	49,4 48,9
	K39	614 až 622	615,25 621,75	48,7 48,2
V. pásmo	K40	622 až 630	623,25 629,75	48,1 47,6
	K41	630 až 638	631,25 637,75	47,5 47,0
	K42	638 až 646	639,25 645,75	46,9 46,4
	K43	646 až 654	647,25 653,75	46,3 45,9
	K44	654 až 662	655,25 661,75	45,8 45,3
	K45	662 až 670	663,25 669,75	45,2 44,8
	K46	670 až 678	671,25 677,75	44,6 44,2
	K47	678 až 686	679,25 685,75	44,1 43,7
	K48	686 až 694	687,25 693,75	43,6 43,2
	K49	694 až 702	695,25 701,75	43,1 42,7
	K50	702 až 710	703,25 709,75	42,6 42,3
	K51	710 až 718	711,25 717,75	42,2 41,8
	K52	718 až 726	719,25 725,75	41,7 41,3
	K53	726 až 734	727,25 733,75	41,2 40,9
	K54	734 až 742	735,25 741,75	40,8 40,5
	K55	742 až 750	743,25 749,75	40,4 40,0
	K56	750 až 758	751,25 757,75	39,9 39,6
	K57	758 až 766	759,25 765,75	39,5 39,2
	K58	766 až 774	767,25 773,75	39,1 38,8
	K59	774 až 782	775,25 781,75	38,7 38,4
	K60	782 až 790	783,25 789,75	38,3 38,0

Pásma, kanály, kmitočty a vlnové délky (podle CCIR)

I. pásmo	K2	47 až 54	48,25 53,75	621,8 558,1
	K3	54 až 61	55,25 60,75	543,0 493,8
	K4	61 až 68	62,25 67,75	481,9 442,8
VKV FM		88 až 100		340,9 až 300,0
III. pásmo	K5	174 až 181	175,25 180,75	171,2 166,0
	K6	181 až 188	182,25 187,75	164,6 159,8
	K7	188 až 195	189,25 194,75	158,6 154,0
	K8	195 až 202	196,25 201,75	152,9 148,7
	K9	202 až 209	203,25 208,75	147,6 143,7
	K10	209 až 216	210,25 215,75	142,7 139,0
	K11	216 až 223	217,25 222,75	138,1 134,7
	K12	223 až 230	224,25 229,75	133,8 130,6

IV. pásmo  
V. pásmo Označení kanálů a kmitočty obrazu jsou shodné s rozdělením podle normy OIRT. Kmitočty zvuku jsou posunuty o 1 MHz níže.

řešením. V některých částech Prahy je např. výhodnější přijímat jeden z obou čs. programů (případně oba) z některého severočeského vysílače. Jiné oblasti jsou dobré zásobeny z několika směrů; např. severovýchodní část středočeského kraje. Tam pak zase nemusí být optimální příjem 1. a 2. programu z téhož vysílače.

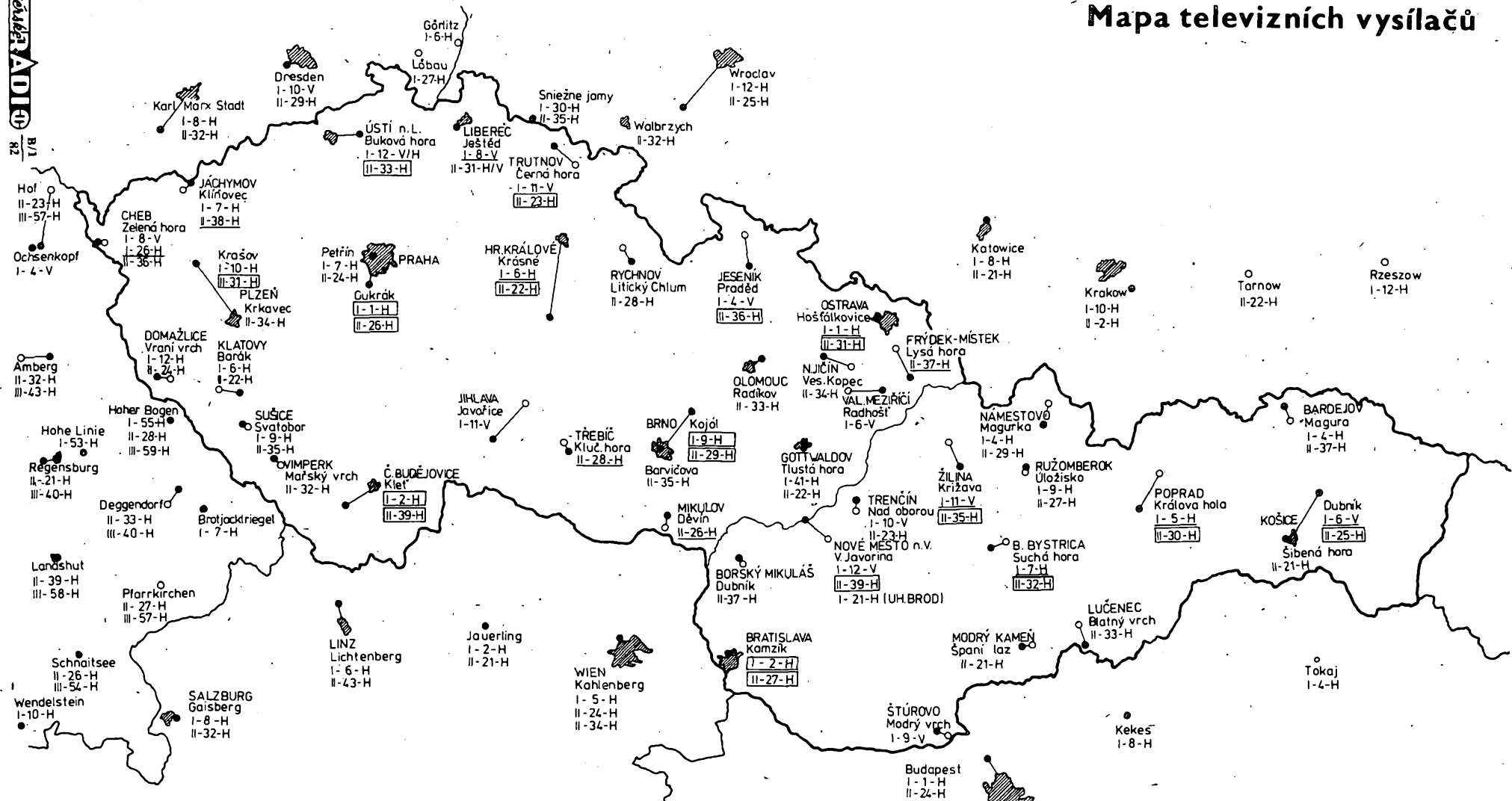
Kromě uvedených vysílačů základní síť je v současné době v provozu již přes 1000 (!) vysílačů místních, tzv. převáděčů, které ovšem mají vysloveně lokální význam. Většinou zajišťují příjem v místě neprázdnivém z hlediska šíření VKV, tj. v zastíněných oblastech, údolích apod.

Vysílače jsou v tabulce seřazeny podle krajů. Následuje jméno vysílače, tj. mezinárodně notifikované označení a název skutečného stanoviště, které se většinou neshoduje se jménem vysílače. Východočeský vysílač Hradec Králové je např. umístěn na vrchu Krásné, což je 40 km znázorněny. Vlastní stanoviště je vždy označeno černým bodem. Následuje označení kanálů a polarizace pro každý program. V několika případech je 1. program vysílán i na kanálech IV. a V. pásmata. Jde např. o K41 – Gottwaldov a další. K41 je též nejvyšší kanál obsazený vysílačem čs. základní sítě. U místních vysílačů – převáděčů jsou při jejich značném počtu obsazeny všechny kanály až do K51. V tabulce je dále uveden i výkon vysílače, který se však neshoduje s výkonem vyzářeným, protože nezahrnuje zisk antény. Cennou informací je údaj o vysílané polarizaci, která je u několika významných vysílačů 1. programu vertikální (Liberec K8, Trutnov K11, Cheb K8, Jihlava K11, Val. Meziříčí K6, Žilina K11, Košice K6). Tyto informace nejsou stále dostatečně rozšířeny, a tak se ještě setkáváme s nesprávně polarizovanými antény. Opačná polarizace zeslabuje přijímaný signál minimálně o 20 dB. Anténa vysílače Ústí n. L. na Bukové hoře na K12 pracuje s eliptickou polarizací. Jde o experiment, prováděný a vyhodnocovaný Výzkumným ústavem spojů – Praha. Při příjmu tohoto vysílače by v průměru neměl být rozdíl v síle signálu, přijatého libovolně polarizovanou anténou. Vliv polarizace přijímací antény by se měl projevit v místech, v nichž je přijímaný signál znehodnocen odrazy; jinými slovy eliptická (kruhová) polarizace vysílaci antény umožňuje v jistých místech potlačit vhodnou polarizaci přijímací antény ty odrazy, na které „nestačí“ přijímací anténa svými směrovými vlastnostmi.

## Literatura

- [1] Yagi, H.; Uda, S.: Proc. of the Imperial Academy, únor 1926.
- [2] Uda, S.: J. of the Inst. of Elec. Eng. of Japan, 1927–28.
- [3] Yagi, H.: Beam Transmission of Ultra Short Waves. Proc. Inst. of Radio Engrs. 1928.
- [4] Uda, S.; Mushiake, Y.: Yagi-Uda Antenna. Research Inst. of Elec. Comm. Tohoku University: Sendai 1954.
- [5] Kraus, J. D.: Antennas. McGraw-Hill: New York 1950.
- [6] King, R. W.: The Theory of Linear Antennas. Harvard Univers- Press: Massachusetts 1956.

## Mapa televizních vysílačů



Tab. 19. Čs. televizní vysílače základní síť

Kraj	Název vysílače	Stanoviště	1. program	2. program
Praha-město Středočeský	Praha-město Praha	Petrín Cukrák	K7 H 2,5 kW K1 H 30	K24 H 15 kW K26 H 50
Jihočeský	Č. Budějovice Vimperk	Kleť Mašský vrch	K2 H 10 —	K39 H 20 K32 H 5
Západočeský	Plzeň Plzeň-město Cheb Cheb Jáchymov Domažlice Klatovy Sušice	Krašov Krkavec Zelená hora Zelená hora Klínovec Vranní vrch Bárák Svatobor	K10 H 10 K8 V 0,1 K26 H 5 K7 H 0,3 K12 H 0,2 K6 H 0,3 K9 H 0,1	K34 H 5 K31 H 20 K36 H 5 K38 H 20 K24 H 5 K22 H 5 K35 H 5
Severočeský	Ústí n. L. Liberec	Buková hora Ještěd	K12 V/H 10 K8 V 2,5	K33 H 20 K31 V/H 5
Východočeský	Hradec Králové Trutnov Rychnov n. Kn.	Krásné Černá hora Litický chlum	K6 H 10 K11 V 0,2 —	K22 H 20 K23 H 20 K28 H 5
Jihomoravský	Brno Brno-město Jihlava Třebíč Gottwaldov Uherský Brod Mikulov	Kojál Barvíčova Javorice Klučovská hora Tlustá hora Velká Javorina Děvín	K9 H 20 K11 V 2,5 — K41 H 2 K21 H 0,8 —	K29 H 20 K35 H 2 — K28 H 10 K22 H 5 — K26 H 10
Severomoravský	Ostrava Jeseník Olomouc Nový Jičín Val. Mezíříčí Frydek-Místek	Hostálkovice Praděd Radíkov Veselský kopec Radhošť Lysá hora	K1 H 10 K4 H 2 — — K6 V 0,1 —	K31 H 20 K36 H 20 K33 H 2 K34 H 5 — K37 H 20
Západoslovenský	Bratislava Nové Mesto n. V. Nové Mesto n. V. Trenčín Štúrovo Borský Mikuláš	Kamzik Veľká Javorina Veľká Javorina Nad Oborou Modrý vrch Dubník	K2 H 10 K12 V 0,3 K21 H 10 K10 V 0,6 K9 V 0,1 —	K27 H 20 K39 H 20 — K23 H 5 — K37 H 5
Středoslovenský	B. Bystrica Žilina Ružomberok Námestovo Lučenec Modrý Kameň	Suchá hora Krížava Úložisko Magurka Blatný vrch Španí laz	K7 H 10 K11 V 5 K9 H 0,6 K4 H 0,6 — —	K32 H 50 K35 H 20 K27 H 2 K29 H 5 K33 H 5 K21 H 5
Úvodoslovenský	Košice Košice-město Poprad Bardejov	Dubník Šibená hora Kráľova Hola Magura	K6 V 10 — K5 H 10 K4 H 1	K25 H 50 K21 H 0,2 K30 H 20 K37 H 5

Tabulka zpracována podle Novotný, J.: Síť televizních vysílačů v závěru 6. pětiletky. Telekomunikace č. 9/1980.

- [7] Walkinshaw, W.: Treatment of Short Yagi Aerials. J. of the IEE, vol. 93, část 3a. Londýn: 1946.
- [8] Vysokovskij, D. M.: Amplitudofazový je soootnosheniya tokov v vibratorech anteny „volnovoj kanal“. Dokl. Akad. nauk SSSR **96**, č. 5/1954.
- [9] Reid, D. G.: The Gain of an Idealized Yagi Array. J. of the IEE, vol. 93, část 3a. Londýn: 1946.
- [10] Sengupta, D. L.: On the Phase Velocity of Wave Propagation Along an Infinite Yagi Structure. IRE Trans. AP-7, VII., č. 3/1959.
- [11] Fishenden, R. M.; Wiblin, E. R.: Design of Yagi Aerials. Proc. Inst. of Electr. Eng. **96**, III/1949.
- [12] Reynolds, D. K.: Broad Band Traveling Wave Antennas. IRE Nat. Conv. Rec. I, březen 1957.
- [13] Spector, J. O.: An Investigation of Periodic Structures for Yagi Aerials. Proc. Inst. of Electr. Eng., B **105**, leden 1958.
- [14] Sengupta, D. L.: On Uniform and Linearly Tapered Long Yagi Antennas. IRE Trans. AP-8, 1960.
- [15] Bojsen, J. H.; Jacobsen, H.; Nilsson, E.; Andersen, H. B.: Optimization of Yagi-Uda Arrays. Laboratory of Elmag. Theory TU of Denmark, Lyngby 1971.
- [16] Green, H. E.: Design Data for Short and Medium Length Yagi-Uda Arrays. Elec. Eng. Trans., březen 1966. The Inst. of Eng. Australia.
- [17] Cheng, D. K.: Optimization Techniques for Antenna Arrays. Proc. of IEEE, vol. 59, prosinec 1971.
- [18] Cheng, D. K.; Chen, C. A.: Optimum Element Spacings for Yagi-Uda Arrays. IEEE Trans. AP-21, září 1973.
- [19] Chen, C. A.: Perturbation Techniques for Directivity Optimization of Yagi-Uda Arrays. Ph. D. Dissertation, Syrac. Univers., N. Y. 1974.
- [20] Chen, C. A.; Cheng, D. K.: Optimum Element Lengths for Yagi-Uda Arrays. IEEE Trans. AP-23, leden 1975.
- [21] Ehrenspeck, H.; Poehler, H.: A New Method of Obtaining Maximum

- Gain from Yagi Antennas. IEE Trans. AP7, říjen 1959.
- [22] Lindsay, J.: Quads and Yagis. QST, květen 1969.
- [23] Greenblum, G.: Notes of the Development of Yagi Arrays. QST, č. 8 a 9/1956.
- [24] Kmosko, J. A.; Johnson, H. G.: Long Yagis. QST č. 1/1956.
- [25] Orr, W. I.; Johnson, H. G.: VHF Handbook 1957.
- [26] Wiezbicka, P.: Yagi Antenna Design. National Bureau of Standards, TN 688, US Dep. of Commerce, Washington, DC, prosinec 1976.
- [27] Lawson, J.: Yagi Antenna Design. HAM Radio: New York 1980.
- [28] Hansen, W. W.; Woodyard, J.: A New Principle in Directional Antenna Design. Proc. IRE **26**, březen 1938.
- [29] Zucker, F. J.; Thomas, A. S.: Radiation from Modulated Surface Wave Structures. IRE Nat. Conv. Rec. část I, 1957.
- [30] Jasik, H. G.: Antenna Engineering Handbook. McGraw-Hill: New York 1961.
- [31] Fiebranz, A.: Antennenanlagen für Rundfunk und Fernsehempfang. Verlag für Radio-Foto-Kinotechnik: Berlin 1961.
- [32] Rothe, G.: Antennenpraxis. VEB Verlag Technik: Berlin 1964.
- [33] Procházka, M.: Zvažte zisk své antény. ST č. 12/1979.
- [34] Krupka, Z.; Philipp, Z.: Příjem a rozvod televizních a rozhlasových signálů. AR-B, č. 5/1979.
- [35] Kolmačka, F.: Protiporuchové televizní přijímací antény. ST č. 5/1977.
- [36] Český, M.: Antény pro příjem rozhlasu a televize. SNTL: Praha 1976.
- [37] Vít, V.; Kočí, J.: Televizní příjem na IV. a V. pásmu. SNTL: Praha 1971.
- [38] Čaha, V.; Procházka, M.: Antény. SNTL: Praha 1956.
- [39] Český, M.; Procházka, M.: Radiotechnická příručka II, s. 8 až 96. SNTL: Praha: Praha 1978.
- [40] Prokop, J.; Vokurka, J.: Síreni elektromagnetických vln a antény. SNTL/ALFA: Praha/Bratislava 1980.
- [41] Firemní literatura (Hirschmann, Kathrein, Stolle, Fuba, Bosch, Kompass, RFT-VEB Bad Blankenburg, Kovoplast).
- [42] Čs. normy související s problematikou antén:  
ČSN 341380 Ochrana před nebezpečnými účinky statické elektřiny.  
ČSN 341390 Předpisy pro ochranu před bleskem.  
ČSN 342820 Předpisy pro antény.  
ČSN 342830 Předpisy pro společné přijímací televizní a rozhlasové antény a jejich rozvody.  
ČSN 367210 Televizní a VKV přijímací antény.

### OPRAVA

V AR řady B č. 5/1981 byla na třetí straně obálky otištěna deska s plošnými spoji bez uvedení jejího objednacího čísla. Deska má objednací číslo P232 a lze ji pod tímto číslem zakoupit v prodejně v Budečské ulici v Praze, nebo objednat na dobríku v Hradci Králové.

## Antény v podmírkách praktického příjmu

V praxi se sotva vyskytne ideální případ zcela homogenního rozložení elektromagnetického pole v místě příjmu. Rozdíly v rozložení pole jsou spíše velmi rozmanité a sotva se ve stejném konfiguraci opakují na jiném místě. Tato skutečnost podstatně ovlivňuje zvláštní problematiku při volbě vhodné přijímací antény a jejího umístění. Ve většině případů se při tom spoléháme na zkušenosti, které během doby každý experimentátor nebo montér antén získá, případně porovnáváme dosažené výsledky se současným stavem. Ne vždy však vedou tyto zjednodušené příslušnosti a kritéria k žádanému výsledku. Platí to zvláště při instalaci antén v zastavěném prostředí, za překážkami apod. Situace je tu obtížná a nepřehledná proto, že nejen amplitudy, ale i fázové plochy elektromagnetického pole podléhají silným změnám, jejichž příčiny nejsou často zjevné. V tom tkví zvláštní problematika použití přijímacích antén. Lze říci, že toto „komplexní“ elektromagnetické pole je velmi obtížné, či spíše sotva pochopitelné. Proto je třeba zkoušet, jak správně posoudit a vystihnut existující pole a z toho pak projektovat anténní soustavu. Ve výhodě je tu ten, kdo má dostatečné znalosti a zkušenosti, užitečné měřicí přístroje i dostatek času a trpělivosti.

### Zvláštnosti rozložení elmag. pole v místě příjmu

*V praxi máme v místě příjmu téměř vždy více méně nehomogenné rozložení elmag. pole. Příčinou jsou zejména odrazy od země, budov, terénních tvarů, takže se v místě příjmu objeví kromě přímého signálu i časově různě zpožděné signály odražené. Časové zpoždění znamená i změnu fáze.*

Prostorové rozložení elmag. pole se ovšem mění i v závislosti na kmitočtu, a to i v rozsahu jediného TV kanálu, takže poměry na obrazovém a zvukovém kmitočtu mohou být značně odlišné. *Při BTV jsou pak vlivy selektivního rozložení pole na kvalitu obrazu podstatně výraznější*, což je příčinou větších potíží při výběru místa pro anténu i výběru antény samé. Znamená to též, že ne v každém místě, kde byl dobré přijímán černobílý obrázek, musí být dobrý i příjem obrazu barevného. Příčinou je zpravidla umístění, popř. typ antény vzhledem k výše zmíněným vlivům (pokud ovšem přenosu BTV vyhovují svými parametry další části přenosové cesty od antény k přijímací, což zejména u starších společných televizních rozvodů nebývá).

Výstupní napětí antény umístěné v komplexním elektromagnetickém poli má rovněž komplexní charakter. Jednotlivé složky pole se vektorově sčítají v poměrech, ovlivněných směrovým diagramem antény na straně jedné, a směry, amplitudou i fázou dopadajících přímých i odražených signálů na straně druhé. Na černobílém obrazovém signálu se tyto poměry nejzřetelněji projevují jako pozitivní, či negativní „duchy“, na zvukovém signálu zkreslením. U barevného obrazu se mohou objevit barevné hrany, okraje i celkové zkreslení barev. Vzhledem k tomu, že výstupní napětí z antény je tvoreno vektorovým součtem všech složek, není v těchto případech možné stanovit kvalitu příj-

ukazuje, že právě v husté sídlištní zástavbě s výškovými budovami, bohaté na intenzívni odrazy, je použití antény s větší, až velkou směrovostí učinným krokem. Zbytečně silný signál, který se může blížit „maximálnímu užitečnému signálu“, je možné zeslabit útlumovým členem na přijatelnou hodnotu, popř. je možné se přibližovat až k „citlivosti omezené šumem“ (pro určitý odstup signál/šum), kdy s největší pravděpodobností dosáhne anténa zeslabený odraz tak nízké úrovně, že se již rušivé neprojeví. V podstatě jde o jednoduchou cestu ke zlepšení kvality obrazu.

Zde je vhodné připomenout, že výše uvedená metoda, využití velmi směrové antény k příjmu silného vysílače v nehomogeném poli, není v rozporu s poznatkem, uvedeným na str. 24, kde se použití antény s velkým ziskem v nehomogeném poli hodnotilo s ohledem na maximální dosažitelné napětí na výstupu z antény při příjmu poměrně slabých až velmi slabých signálů. V prvním případě jde v prvé řadě o kvalitu obrazu, nezáleží na případném menším napětí, kterého je spíše nadbytek. V druhém případě jde o maximální napěťový přenos, který anténa odevzdá jen v homogeném poli.

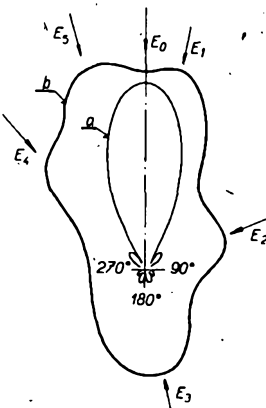
V druhém případě, při dálkovém příjmu TV, není zpravidla také bezpodmínečně nutné optimalizovat umístění antény pomocí televizoru. Je možné použít selektivní měřič signálu, popř. přijímač s indikátorem. Výjimkou jsou případy, kdy s žádaným signálem interferuje signál jiného vysílače, což se jinak než na televizoru nepozná. Použití televizoru je nutné i při optimalizaci polohy a směru antény opatřené anténním zesilovačem, který není dostatečně odolný proti intermodulaci s kmitočty blízkých vysílačů.

Rozdíl v příspuzech při řešení obou případů je dán i tím, že k dálkovému příjmu se zpravidla rozhodujeme jen v případech, kdy k tomu máme jisté předpoklady, kdežto příjem místních vysílačů musíme řešit za situace, jaká je. Dosud zmíněné metody doplňujeme v dalším informaci o poměrně jednoduchém postupu, který někdy může přispět ke zlepšení příjmu TV.

Potíže se zdvojenými či vícenásobnými obrazy, čili duchy má nemalá část poslučačů TV. Většina duchů je, jak již bylo řečeno, způsobena odraženými vlnami, které dopadají na přijímací anténu později než vlny přímé, tzn. přicházejí oklikou, odrazení od různých překážek. K jejich odstranění se užívá především směrových anten, které by mely příjem z nežádoucích směrů potlačit.

Duch se na stínítku obrazovky ztrácí, pokud je potlačen asi o 26 dB proti hlavnímu signálu. Odstup amplitud hlavního (žádaného) a odraženého (nežádaného) signálu není konstantní, zvláště v zastíněných oblastech může na krátkých úsecích značně kolísat. Nejmenší rozdíl v umístění antény mezi maximální a minimální velikostí odrazu činí  $\lambda/4$ . To je 33 až 43 cm na III. pásmu a 9 až 16 cm na IV. a V. pásmu. Běžně se doporučuje použít pro příjem anténu se značnou směrovostí a vyhledat pro ni takové místo, v němž je odstup obou signálů maximální. Navíc je pak možno v jistých případech využít některého z minim ve směrovém diagramu antény, a tam „umístit“ nežádaný odraz (jak je to ostatně podrobne popsáno na str. 22). Kromě těchto všeobecně známých metod k potlačení odražených vln existuje ještě jedno méně známé hledisko pro vyhledání optimálního umístění antény. Jde o zeslabení odrazu fázovým posuvem.

Vzdálenost odpovídajících hran hlavní-

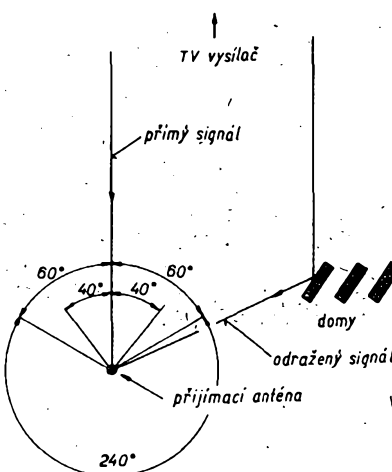


Obr. 66. Směrový diagram antény, měřeny na měřicím pracovišti (a) a diagram též antény v podmírkách praktického příjmu (b).

maného signálu jen pouhým měřením síly pole.

V souvislosti s tím je třeba připomenout, že v takovém místě vůbec není možné změřit skutečný směrový diagram antény. Prakticky to vypadá jako na obr. 66, kde je vyznačen směrový diagram antény, změřený v ideálních podmírkách měřicího pracoviště (a), a diagram též antény (b), jak se jeví v místě použití, uprostřed zastavěného prostoru, kde na anténu dopadají odražené signály z různých směrů. Je jasné, že vlastní diagram antény se bude tím méně lišit od skutečnosti na použitém místě, čím menší směrovost (zisk) bude anténa mít. Čím bude směrovost antény větší, tím hlbší budou minima mezi směry k jednotlivým odrazům a tím menší bude celková úroveň odrazů, a jim odpovídající vektorový součet napětí ( $E$ , až  $E_5$  na obr. 66) na celkovém výstupním napětí z antény. Znamená to, že směrovější anténa bude na takovém místě dodávat kvalitnější signál, i když možná nižší úroveň, než anténa o menším zisku. To proto, že na celkovém výstupním napětí antény s menší směrovostí se větší měrou podílí složky způsobené odrazy.

Jak již bylo řečeno, v nehomogeném poli může anténa s větším ziskem dodávat menší napětí, než anténa se ziskem menším. Kvalita obrazu, měřená potlačením rušivých odrazů, však bývá výrazně lepší. Proto se i při příjemu místních nebo silných vysílačů nemá na anténě šetřit. *Praxe*



Obr. 67. Prodloužení dráhy odraženého signálu závisí na poloze překážky vzhledem ke spojnicí vysílač – přijímač

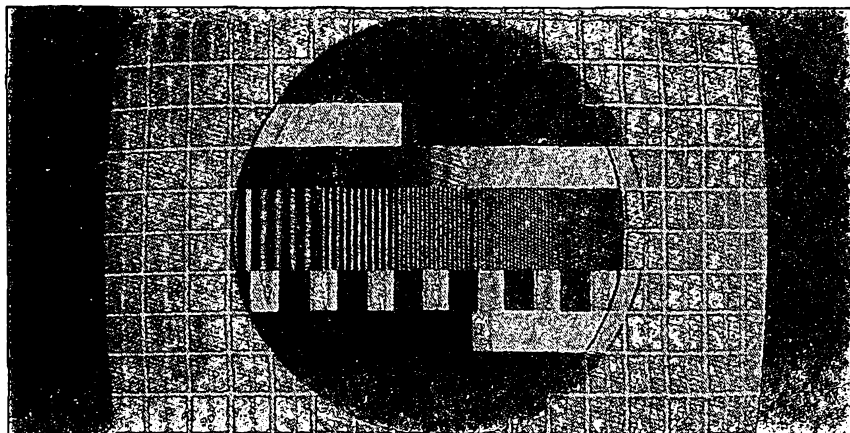
ho obrazu a jeho „ducha“ je dána rozdílem délky drah přímého a odraženého signálu. (viz tab. 19). Vyjádříme-li délku každé dráhy ve vlnových délkách příslušného obrazového kmitočtu, obdržíme dvě čísla, lišící se o rozdíl v délce obou drah, vyjádřený ve vlnové délce. Z velikosti tohoto rozdílu lze určit vzdálenost i fázi odraženého signálu. Celé číslo udává dostatečně přesné vzdálenost obou obrazů, jeho zlomek pak určuje jejich vzájemnou fazu. Je-li tedy rozdíl drah hlavního

a odraženého signálu (vyjádřený v  $\lambda$ , popř.  $\lambda/2$ ) celé číslo, popř. je-li sudý násobek  $\lambda/2$ , jsou obě napěti ve fázi a jejich kladná i záporná maxima včetně nulových hodnot se navzájem kryjí. Je-li rozdíl drah lichým násobkem  $\lambda/2$ , shodují se nulové hodnoty obou signálů, ale kladná maxima se kryjí se zápornými, takže odražený signál je se signálem přímým v protifázi. Je-li pak rozdíl drah obou signálů, zlomkem rozdílu mezi lichým a sudým násobkem  $\lambda/2$ , dochází k fázovému posunu mezi

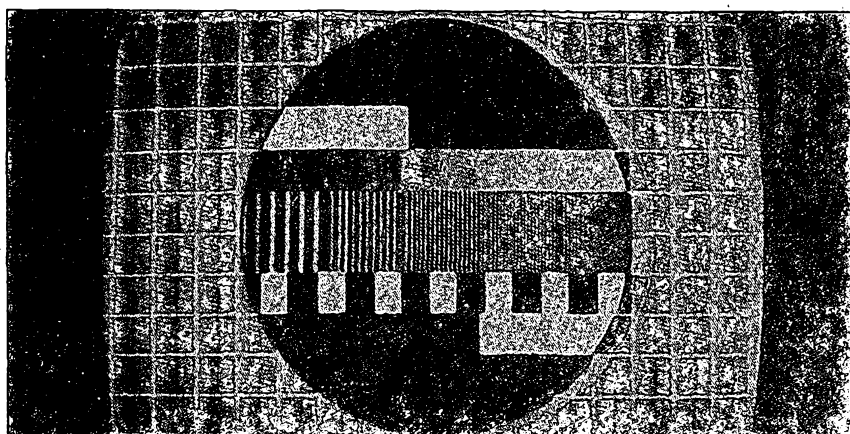
soufází a protifázi (tj. mezi  $0^\circ$  až  $180^\circ$ , popř. mezi  $180^\circ$  až  $360^\circ$ ). Soufázová napětí hlavního obrazu a nežádaného odrazu lze změnit v protifázovou takovou změnou umístění antény, při níž se změní rozdíl mezi drahami přímého a odraženého signálu přesně o  $\lambda/2$ .

Obr. 68 až 70 ukazují vliv uvedených fázových poměrů na obrazovce. Při shodné fázi ( $0^\circ$  nebo  $360^\circ$ ) na obr. 68 se posunuté černé a bílé obrazy čar-nebo ploch objevují ve stejné barvě. Naproti tomu při protifázi, obr. 69, došlo u odrazu k záměně černé za bílou. Podle fotografické terminologie hovoříme v prvním případě o pozitivním odrazu a v druhém o odrazu negativním. Při fázovém posunu kolem  $90^\circ$  (popř.  $270^\circ$ ), kterému odpovídá rozdíl drah, jenž je lichým násobkem  $\lambda/4$ , je odraz na obr. 70 ještě pozitivní, ale jeho kontrast vzhledem k hlavnímu obrazu je slabší než v obou předchozích případech, takže rušivý dojem je nejmenší. Všechny tři snímky znázorňují poměry při odstupu amplitud obou signálů 6 dB. Pokud se odstup zvětší na 14 až 20 dB, jsou soufázové i protifázové odrazy ještě zřetelně, ale odraz posunutý o  $90^\circ$  je již sotva patrný.

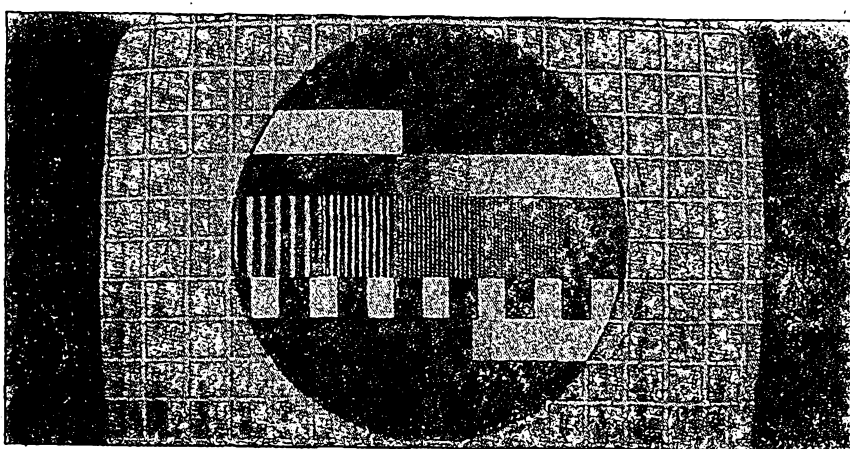
Výše uvedené poměry na obr. 68 až 70 se podařilo znázornit následujícím způsobem. Dvě stejné antény připojené k jednomu přijímači byly naměrovány na tentýž vysílač. Napáječ (souosý kabel) jedné z nich byl o 300 m delší, aby se dosáhlo zřetelného posunutí (asi o 1 cm) obrazu. Odstup úrovní obou signálů byl nastaven na 6 dB. Rozdíl délky obou kabelů byl nastaven na sudý násobek  $\lambda/2$ , tj. na soufázový odraz při shodné poloze obou antén. Pak byla jedna anténa postupně posunuta o  $\lambda/4$  a o  $\lambda/2$  směrem k vysílači.



Obr. 68. Soufázový odraz ( $0^\circ$  popř.  $360^\circ$ )



Obr. 69. Odraz v protifázi ( $180^\circ$ )



Obr. 70. Odraz s fázovým posuvem  $90^\circ$

### Praktická aplikace

Také v praxi může být někdy užitečné posunout přijímací anténu ve směru k vysílači (nebo od vysílače) pro dosažení výhodnějšího fázového posunu mezi hlavním a odraženým signálem. Pokud odražený signál dopadá na přijímací anténu ze směru zhruba kolmého na směr k vysílači (obr. 67), odpovídá posun antény ve směru k vysílači (nebo od vysílače) přímo rozdílu drah mezi oběma signály. (Při tom pochopitelně předpokládáme, že vzdálenost přijímací antény – místo odrazu je nepatrná proti vzdálenosti k vysílači).

Přichází-li odražený signál ze zadu, tj. z opačného směru než je směr k vysílači, je při stejném posunu antény rozdíl drah mezi oběma signály dvojnásobný. Tento rozdíl je ale zhruba poloviční, čini-li úhlový rozdíl azimutů mezi oběma signály  $60^\circ$ .

Při odrazech přicházejících v rozsahu úhlu  $240^\circ$  (viz obr. 67) činí tedy potřebný posun antény od soufázového nebo protifázového odrazu k posunu o  $90^\circ$  asi  $\lambda/8$  až  $\lambda/2$ . Tj. 16 až 86 cm na III. pásmu a 5 až 32 cm na IV. a V. pásmu.

V rozsahu azimutu  $\pm 60^\circ$  od směru k vysílači se potřebná posunutí antény velmi rychle zvětšují, až jsou nekonečně velká, popř. nerealizovatelná. A pro úplnost ještě dodejme, že v případě, odráží-li se nežádoucí signál v opačném směru za vysílači anténu, zůstává fázový rozdíl mezi oběma signály při každém posunu přijímací antény konstantní. V praktických případech se obvykle stává, že odrazy ze směrů do  $\pm 40^\circ$  dopadají na přijíma-

cí anténu se značnou úrovni a vytvářejí na stínítku obrazovky celou řadu duchů, které jsou způsobeny vícenásobnými odrazami. Směs odražených vln bývá tak „zmatená“, že lze těžko najít nějaký cílevědomý postup ke zlepšení situace. Taková situace je zpravidla těžko řešitelná. Většinou nezbývá nic jiného, než se pokusit vyhledat pro anténu jiné místo, a použít anténu s co největší směrovností.

V úvodu bylo vysvětleno, že se odstup amplitudy žádaného a rušivého signálu může podstatně zvětšit posunem antény. Pokud se tento efekt zároveň v příznivém smyslu setká s výhodným posuvem fáze odrazu, může být úspěch malého posunu antény překvapivě dobrý. Na druhé straně je však i možné, že oba vlivy budou působit proti sobě a situace se nijak nezlepší.

Vlastní laborování nebývá jednoduché, protože je třeba současně kontrolovat obraz na obrazovce. Anténu lze též těžko plynule posunovat, pokud anténní stožár prochází řadou direktorů. Proto je výhodnější upevnit anténu na výložném rameni a podpůrném ráhnu, po kterém je posunutí možné.

Likvidace nežádaných odrazů, připadně jiných rušivých vlivů je většinou zdlouhavá práce, která nevede vždycky k žádaným výsledkům. Nicméně stojí zato se jí věnovat a vyzkoušet alespoň ty nejjednodušší postupy a metody, zvláště když jde o „barvu“, za kterou jsme dali patnáct tisíc Kčs.

• • •

Pro lepší orientaci při identifikaci možných zdrojů odrazů připojujeme tabulku, která udává pro nejběžnější typy obrazovek rozdíly v drahách přímého a odraženého signálu pro čtyři vzdálenosti (30, 10, 3 a 1 mm) obraz – duch na obrazovce.

Vzdálenost odrazu	Úhlopříčka obrazovky/šířka obrazu [cm]			
	31/26	47/40	61/49	67/54
30 mm	1815 m	1180 m	964 m	875 m
10 mm	606 m	394 m	321 m	292 m
3 mm	181 m	118 m	96 m	87 m
1 mm	60 m	39 m	32 m	29 m
	Rozdíl v dráze přímého a odraženého signálu			

Dopadá-li odražený signál na přijímací anténu ze směru přibližně kolmého na směr k vysílači (tj. ze strany), je rozdíl v drahách obou signálů téměř shodný se vzdáleností k překážce, která je příčinou odrazu.

Při výpočtu vzdáleností, uvedených v tab. 19 se vychází ze známých parametrů obrazového signálu (625 řádků, 25 obrazů/s), takže na přenos informací jednoho řádku zbyvá 64 µs a po odečtení zpětného běhu se vlastní obrazová informace přeneše za 52, 48 µs.

## PŘÍKLADY KONSTRUKCÍ ANTÉNNÍCH SOUSTAV

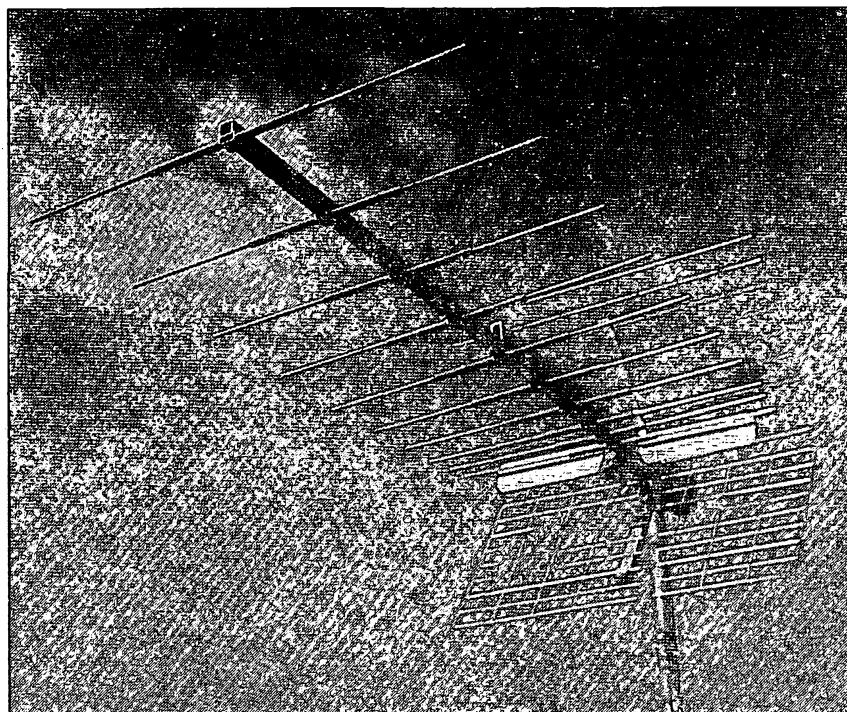
Fotografie, jimž chtěl autor doplnit některé kapitoly a oživit text, se na redakčním stole objevily pozdě. Proto jimi celé číslo uzavíráme. Věříme, že nebudou přehlédnutý.

Velká fotografie na protější straně představuje experimentální, rozberatelnou, lze říci „mobilní“ anténní soustavu, sestavenou z pěti základních antén, napájených laděným vedením. Princip laděného vedení byl vysvětlen na str. 17. Konstrukce antény je pozoruhodná tím, že laděné vedení je současně nosnou konstrukcí celé anténní soustavy. Vlastní na-

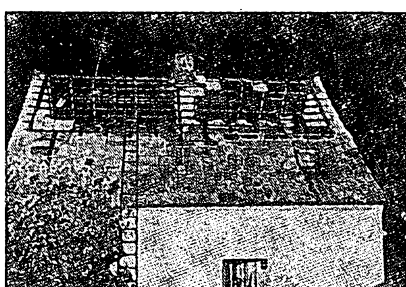
páječ – souosý kabel je protážen stožárem a jednou trubkou souměrného nosného vedení. V místě upevnění prostřední antény je střední vodič souosého napájecího vedení a galvanicky spojen s druhou trubkou laděného nosného vedení.

Pro dobrou mechanickou stabilitu nosného vedení jsou obě trubky nahoře a dole spojeny čtvrtvlnnými úsekami. Tyto čtvrtvlnné zkratované úseky jsou současně symetrickými členy.

Vzdálenost  $S_E$  (viz str. 14) mezi anténami je  $1\lambda$ . Této vzdálenosti odpovídá zvolený typ antény. Impedance soustavy, měře-



Anténa se skupinovými direktory a úhlovým reflektorem, určená pro příjem na K21 až K26. Celovlnný dipól budí dvě řady direktorů z antény typu 12Y 1,8-0,92. Direktory ( $t = 6$  mm) jsou větknuty do laminátových trubek, které je upevňují k nosnému ráhnu a navzájem galvanicky oddělují. Anténa se upevňuje na stožár za úhlovým reflektorem,  $G_d = 13,5$  dB

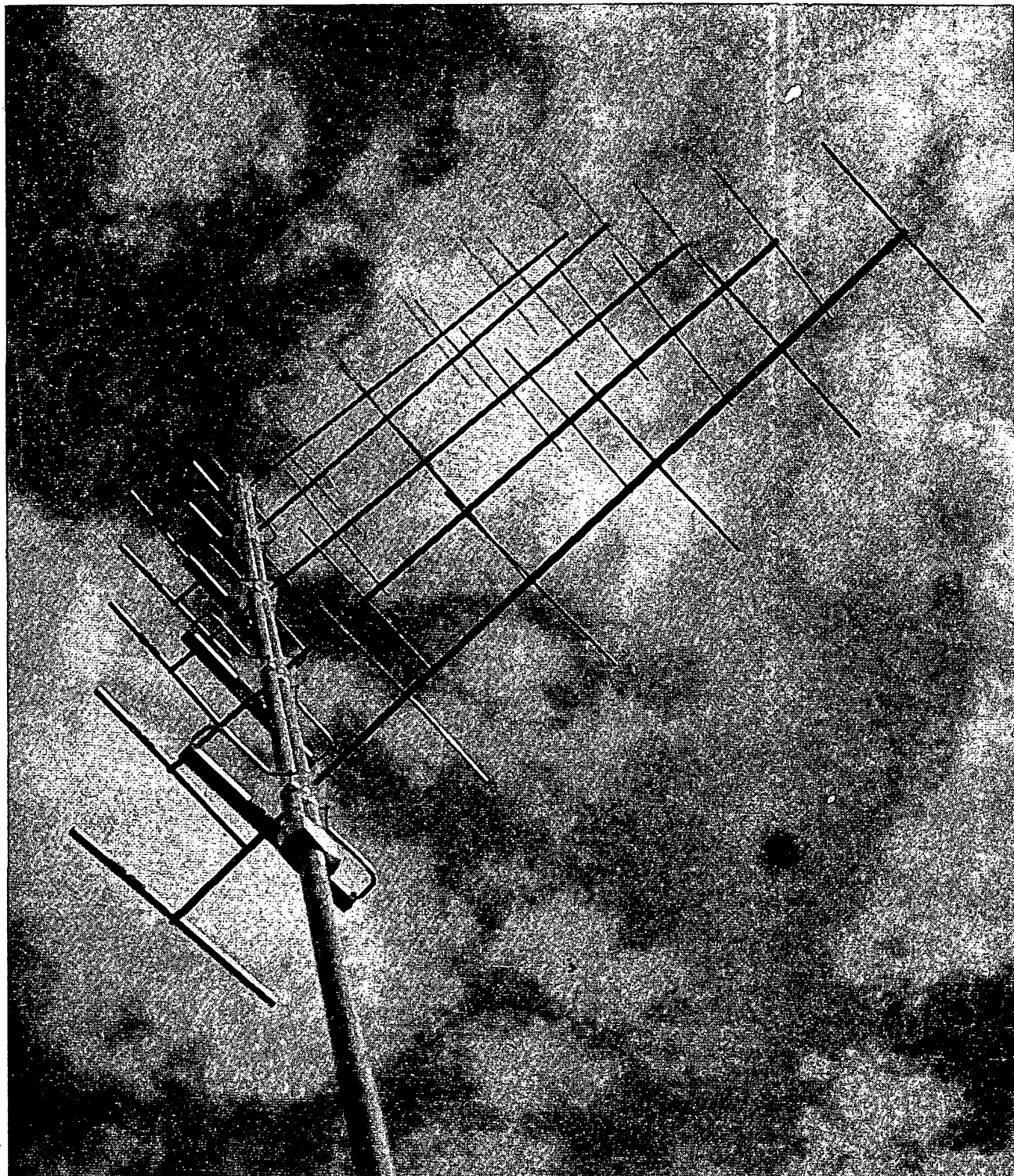


Požadavky příslušných norem na ochranu antén před úderem blesku a účinky atmosférické elektřiny nelze podceňovat. I když k přímému úderu blesku do antény dochází zřídka, bývá konečný „efekt“ zpravidla impozantní, především tehdy, není-li anténa vůbec uzemněna. Požadavky domků vznikly po úderech blesku do antén. Žádný z domků nebyl opatřen bleskosvodem, takže se jím stala v obou případech vnější anténa, která nebyla např. na levém obrázku vůbec uzemněna. Pod střechou (!) novostavby na pravém obrázku byl sice stožár spojen s vodovodním rozvodem, ovšem velmi nedokonale, takže výboj se rozvětil a zničil celý interiér.

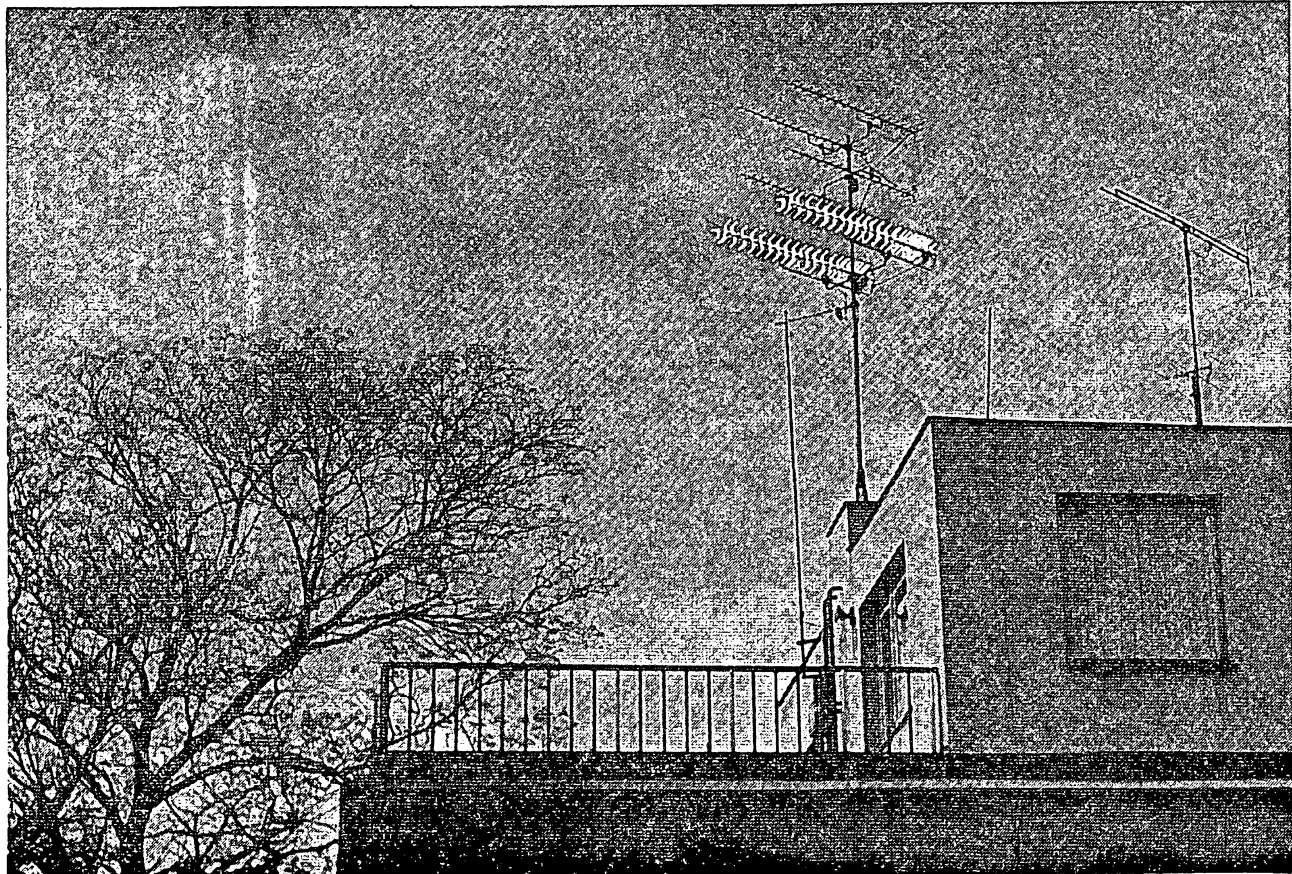
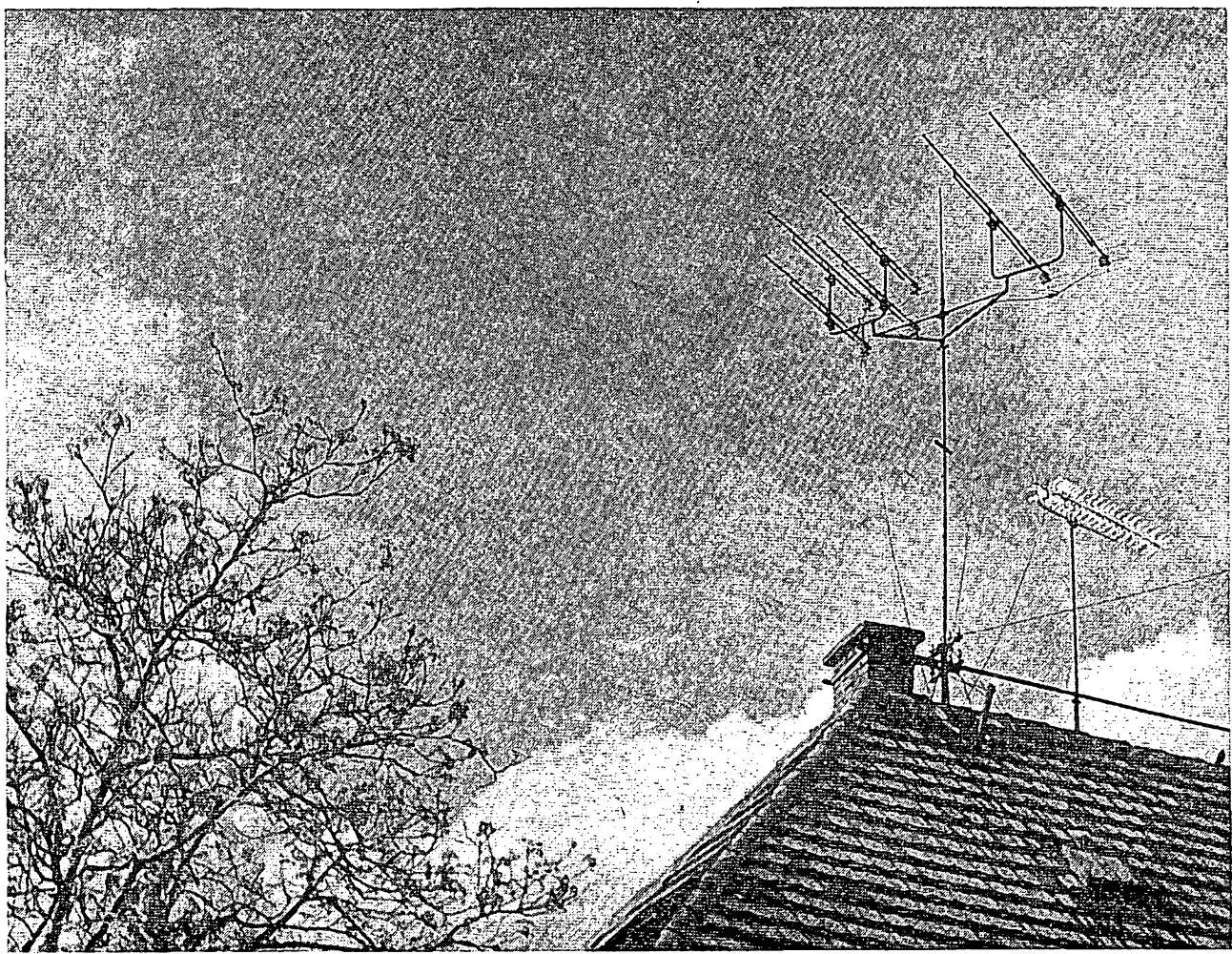
ná na výstupu, tj. u střední antény, je  $75 \Omega$ . Jednotlivé antény musí mít tedy impedanči  $375 \Omega$  ( $5 \times 75 \Omega$ ). Dosahuje se toho vhodným poměrem průměrů vodičů – trubek, tvorících skládaný dipól. Jde totiž o konstrukci staršího data, tj. z doby, v níž se ještě běžně nepoužívalo k úpravě impedance Yagiho antén uspořádání skládaný dipól-širokopásmový direktor. Mimoto dalším z požadavků je relativně značný transformační poměr.

Znázorněný konstrukční princip je

obecně použitelný pro všechny antény, kterým vyhovuje řazení do soustav nad sebou ve vzdálenosti  $1\lambda$ . Jsou to tedy nepříliš dlouhé Yagiho antény, takže celá soustava může být poměrně dobré mechanicky vyvážená. V zásadě však lze stejné konstrukce využít pro  $S_E = 2\lambda$ . Jednotlivé antény by však v tomto případě mely být delší, což by již patrně nebylo mechanicky únosné. Pro úplnost ještě dodejme, že jde o anténní soustavu pro poměrně úzké kmitočtové pásmo.



Anténní soustava pro UKV s laděným napájením základních antén. Napájecí vedení je současně nosnou konstrukcí celé soustavy. Vzdálenost  $S_E$  antén je  $1\lambda$ .



# 13. ROČNÍK KONKURSU AR

V posledním říjnovém týdnu loňského roku byl vyhodnocen 13. ročník konkursu AR. Jak jsme již naše čtenáře informovali v podmínkách konkursu, uveřejněných v AR A2/81, byly přihlášené konstrukce poprvé hodnoceny podle poněkud odlišných kritérií, než tomu bylo v předešlých letech.

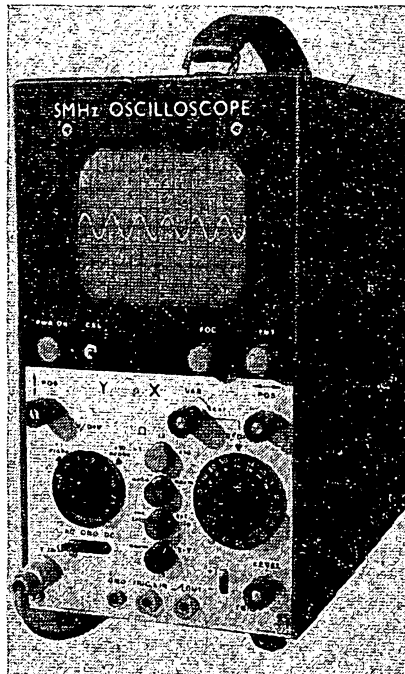
Do závěrečného kola bylo vybráno 30

nejzdařilejších konstrukcí z celkového počtu 46 konstrukcí přihlášených. Dne 20. října 1981 zasedla k závěrečnému hodnocení této příspěvků komise v tomto složení: doc. ing. Jiří Vackář, CSc. – předseda, ing. Jan Klabal – zástupce předsedy, dr. Antonín Glanc, ing. Jiří Zima, Luboš Kalousek a Adrien Hofhans – členové komise.

## Výsledky konkursu

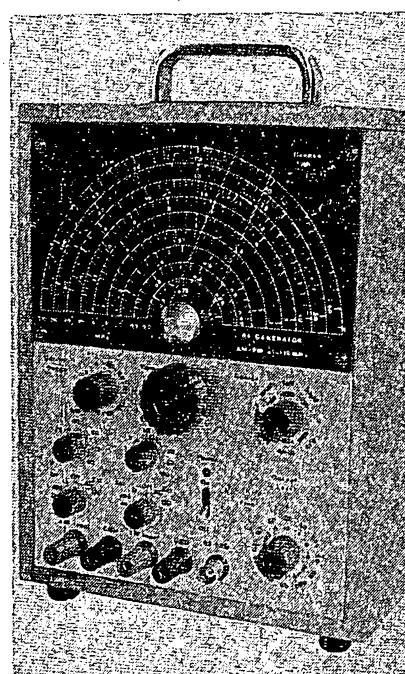
### I. ceny

Páječka s automatickou regulací teploty (J. Šlegr)	2000 Kčs
Osciloskop (ing. J. Doležílek, ing. M. Munzar)	2000 Kčs + vypsaná prémie 500 Kčs



### II. ceny

Signální generátor (ing. J. Doležílek, ing. M. Munzar)	1500 Kčs
	+ vypsaná prémie 500 Kčs
Optický synchronizátor elektronického blesku (M. Kolařík)	1500 Kčs
Čítač do 1000 MHz (ing. J. Doležílek, ing. M. Munzar)	1500 Kčs
Multigenerátor MG-81 (J. Drozd)	1500 Kčs
Anténaskop (J. Svrčina)	1500 Kčs



### III. ceny

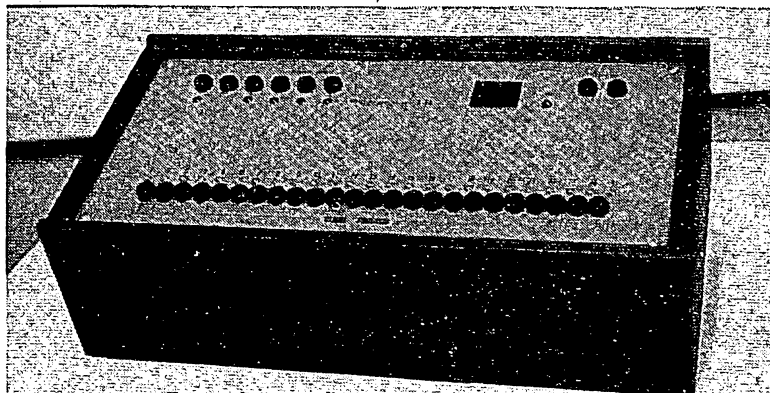
Generátor síťového kmitočtu (dr. L. Kellner)	1000 Kčs
Hlasitý telefon (J. Krocsek)	1000 Kčs
Měřicí tranzistorů (M. Skoták)	1000 Kčs
Stupnice s LED (ing. J. Pokorný)	1000 Kčs
Nouzové osvětlení kola (J. Kusala)	1000 Kčs

Kromě toho se komise rozhodla odměnit navíc tyto přihlášené konstrukce:

Digitaltest (I. Zajac)	500 Kčs
Prevodník A/D (P. Zuak)	500 Kčs
Inteligentní sonda (ing. P. Lachovič)	500 Kčs
Programovatelný čítač (ing. M. Hrdlička)	500 Kčs
Měřicí pH (O. Burger)	500 Kčs

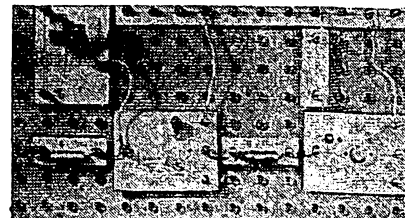
Jako tomu bylo v loňském roce, i letos budou všechny odměny i ceny vyplaceny autorům konstrukcí v hotovosti a obdrží je poštou.

Co říci na závěr? I když přihlášených konstrukcí bylo letos poněkud více, než loňského roku, přesto jsme postrádali větší výběr ve vtipných jednoduchých konstrukcích, které by byly pro zájemce účelné a především snadno realizovatelné. Zbyvá nám proto jen doufat, že v příštém ročníku konkursu, jehož podmínky jsou na další straně, uvidíme více jednoduchých a vtipných konstrukcí.



Programatik TTL ing. T. Pavlise a J. Losenického

Osciloskop a vf generátor AM-FM, 0,1 až 110 MHz autorů ing. J. Doležílka a ing. M. Munzara. Konstrukce této autorské dvojice patřily v loňském ročníku konkursu k nejpracovanějším



Zákovská elektronická stavebnice Otto Jandy ze 13. ročníku konkursu

# 14. ROČNÍK KONKURSU AR

Jako každoročně i letos vypisujeme další ročník konkursu na nejlepší a nejzajímavější amatérské konstrukce. Spolupráce, kterou jsme v souvislosti s vypisováním konkursu navázali v loňském roce s fakultní pobočkou Československé vědeckotechnické společnosti, se velmi osvědčila a proto pokračuje i v letošním roce. Osvědčila se i v loňském roce zavedená hodnotící kritéria a proto budou stejná kritéria použita i v letošním ročníku konkursu: všechny přihlášené konstrukce budou posuzovány především z hlediska jejich původnosti, nápaditosti, technického provedení, vtipnosti a především účelnosti a použitelnosti. Zdůrazňujeme, že složitost zařízení nebude v žádném případě rozhodujícím kritériem, které by konstrukci automaticky předurčilo k zařazení do nejvyšše odměňované skupiny konstrukcí. Jinými slovy: jednoduchá, vtipná a užitečná konstrukce může být odměněna stejně vysokou částkou, jako vtipná, složitá a užitečná konstrukce.

Konstrukce přihlášené do letošního konkursu budou tedy nejprve hodnoceny podle vyjmenovaných kritérií. Komise pak ty konstrukce, které budou vyhovovat, rozdělí do tří skupin na výborné, velmi dobré a dobré. Zjednodušeně řečeno, bude to obdoba způsobu, kterým se například uděluji medaile za nejlepší výrobky. Vybrané konstrukce budou tedy zařazeny do 1., 2. nebo 3. skupiny a v každé této skupině odměněny stanovenou paušální částkou.

Znovu opakujeme, že do konkursu budou přijímány libovolné konstrukce bez ohledu na to, zda jsou jednoduché či složitější, a hodnotícími ukazateli budou vlastnosti, které jsme v úvodu vyjmenovali. V této souvislosti prosíme naše čtenáře, aby však do konkursu nezasílali takové konstrukce, které se již na první pohled zcela vymykají z možností amatérské reprodukovatelnosti, aneb takové, jejichž pořizovací náklady dosahují desetitisícových částek.

## Podmínky konkursu

1. Konkurs je neanonymní a může se ho zúčastnit každý občan ČSSR. Dokumentace musí být označena jménem a adresou a případně i dalšími údaji, které umožní vejit v případě potřeby s přihlášeným účastníkem co nejrychleji do styku.
2. V přihlášených konstrukcích musí být použity výhradně součástky dostupné v naší obchodní síti.
3. Přihláška do konkursu musí být zaslána na adresu redakce AR nejpozději do 15. září 1982 a musí obsahovat:
  - a) technické údaje, podrobný popis zapojení a činnosti, popis mechanické konstrukce, uvádění do chodu, nastavování, výčet možných chyb a jejich odstranění, možnosti použití, seznam použité nebo doporučené literatury, případné možnosti dalšího rozšíření nebo zjednodušení atd.,
  - b) schéma zapojení,
  - c) nákresy desek (desk) s plošnými spoji (nejlépe v měřítku 2 : 1),
  - d) pokud možno fotografie vnějšího i vnitřního provedení (minimální rozměr 9 x 12 cm); nebude-li mít autor možnost pořídit fotografie, je třeba přiložit alespoň náčrt ovládacího panelu a celkové rozložení přístroje.
4. Textová část musí být napsána strojem

(30 řádků po 60 úderech po jedné straně listu A4), výkresy mohou být na obyčejném papíře a kresleny tužkou, kuličkovou tužkou nebo jinak, ale tak, aby byly přehledné (všechny výkresy jsou v redakci překreslovány).

Výkresy i fotografie musí být očíslovány (obr. 1 atd.) a v textu na ně musí být odkazy. Na konci textové části musí být uveden seznam použitých součástek a všechny texty pod jednotlivé obrázky.

5. Přihlášeny mohou být pouze takové konstrukce, které dosud nebyly v ČSSR publikovány – redakce si přitom vyhrazuje právo na jejich zveřejnění. Pokud bude konstrukce zveřejněna, bude hodnocena jako příspěvek bez ohledu na to, zda byla či nebyla v konkursu odměněna.
6. Neúplné či opožděně zaslávané příspěvky nemohou být zařazeny do hodnocení. Príspěvky bude hodnotit komise ustavená podle dohody pořadatele. V případě potřeby si komise vyžaduje posudky specializovaných výzkumných pracovišť. Členové komise jsou z účasti na konkursu vyloučeni.
7. Dokumentace konstrukcí, které nebudou ani odměněny, ani uveřejněny, budou na požadání vráceny.
8. Výsledek konkursu bude odměněným sdělen do 15. prosince 1982 a otištěn v AR A1/83.

## Odměny

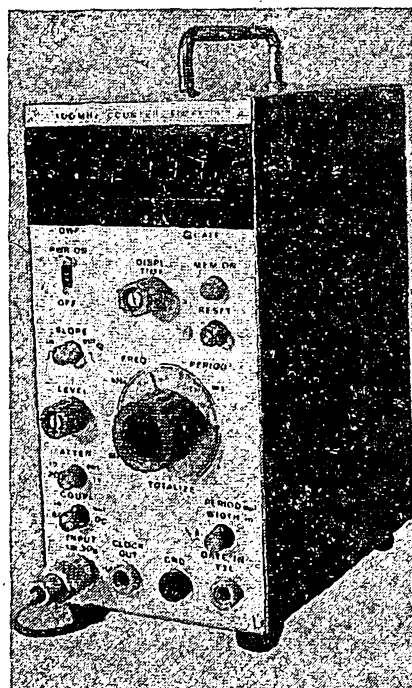
Konstrukce, které budou komisi zařazeny do jmenovaných tří skupin, budou odměněny:

- |            |            |
|------------|------------|
| 1. skupina | 2000,- Kčs |
| 2. skupina | 1500,- Kčs |
| 3. skupina | 1000,- Kčs |

Redakce vypisuje navíc tematické úkoly (tedy vlastní požadavky na určité konstrukce), které, pokud budou úspěšně splněny, budou kromě udělených cen odměněny ještě zvláštními jednorázovými přemími v rozmezí 300,- až 1000,- Kčs.

Stejnou prémii může komise udělit i takové konstrukci, která nebude předmětem tematických úkolů, bude však jakýmkoli způsobem mimořádně zajímavá nebo společensky prospěšná.

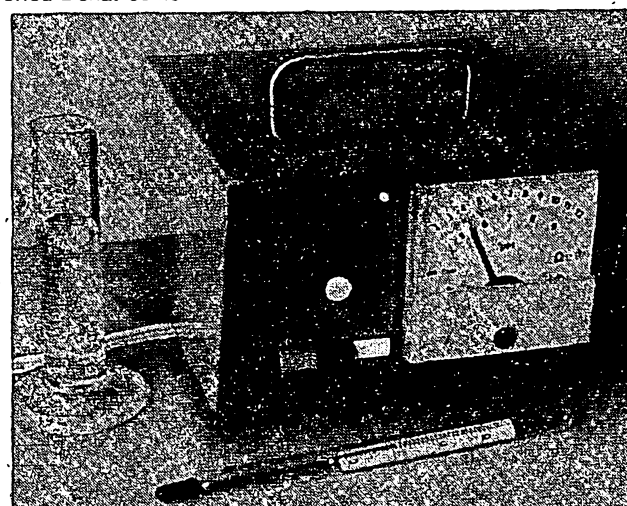
Z toho vyplývá, že nejlepší konstrukce anebo konstrukce, splňující požadavky tematických úkolů, mohou získat celkovou odměnu až 3000,- Kčs a tuto odměnu může pochopitelně získat nejen jedna, ale i několik konstrukcí.



Kmitočtový čítač do 100 MHz ing. J. Doždžík a ing. M. Munzara

## Tematické úkoly vypsáne AR pro konkurs 81

1. Zařízení, která budou jakýmkoli přispěvkem k řešení současné energetické krize, především zařízení k úspoře elektrické energie nebo taková zařízení, která při zachování požadovaných parametrů mají mnohem menší příkon energie, než zařízení dosud používaná.
2. Jednoduché konstrukce, v nichž se používají číslicové integrované obvody libovolného stupně integrace.
3. Aktivní reproduktory soustavy kombinované s napěťovým řídicím předzesilovačem. Předzesilovač by měl mít pokud možno malé rozměry. Výstupní výkon každého kanálu alespoň 10 W.
4. Špičkový přijímač VKV moderní konцепce. V tomto případě platí výjimka: v přijímači mohou být použity i součástky vyráběné v zemích RVHP, tedy běžně nedostupné v naší obchodní síti.



Měřič pH Oldřicha Burga